

10/75

UNIVERSITE D'ALGER

ECOLE NATIONALE POLYTECHNIQUE

DEPARTEMENT GENIE HYDRAULIQUE

26x

## THESE DE FIN D'ETUDES

المدرسة الوطنية للجودة  
— الماء —

ECOLE NATIONALE POLYTECHNIQUE

BIBLIOTHEQUE

## ETUDE D'UNE NAPPE AQUIFERE

- Caractéristiques
- Influences

Proposée par :

DEMRH

Dirigée par :

M. EMERY

Etudiée par :

M. M.T. SIDI-MAMMAR

PROMOTION 1975

المدرسة الوطنية للعلوم الهندسية  
— المكتبة —

ECOLE NATIONALE POLYTECHNIQUE  
BIBLIOTHÈQUE

*A mes parents.*

M.T.S.

### REMERCIEMENTS.

Ce projet de fin d'études consacrera cinq années passées à l'ENPA et ce ne sera que rendre justice à son corps enseignant et à son Administration que de prier ces derniers de trouver ici mes vifs remerciements pour l'enseignement qu'ils m'ont dispensé.

Je voudrais particulièrement adresser toute ma gratitude à monsieur G. DE LAPRAY pour la rare qualité de son cours et à monsieur EMERY pour m'avoir assisté durant l'élaboration de ce projet.

En dehors de l'ENPA je ne saurais oublier le grand nombre de personnes qui ont contribué à ma formation, en m'a aidant sous différentes formes. Ces personnes, ce sont les autres :

- C'est mes parents
- C'est mes anciens professeurs
- C'est mes amis

Et à tous ceux-là, je voudrais exprimer ma reconnaissance en leur disant simplement merci.

M. T. SIDI-MAMMAR

**TABLE DES MATIERES**

INTRODUCTION

PAGE  
1

<u>CHAPITRE I.</u> Rapports sur les forages SONIC	2.3
A. Introduction à l'études des forages SONIC	4.8
B. Rapport sur le forage SONIC N°1	9.16
C. Rapport sur le forage SONIC N°3	17.21
D. Rapport sur le forage SONIC N°4	22.34
E. Rapport sur le forage SONIC N°6	35.41
F. Rapport sur le forage SONIC N°7	42.51
G. Rapport sur le forage SONIC N°9	52.62
H. Caractéristiques moyennes de la nappe	61.62
<u>CHAPITRE II.</u> Influence des forages SONIC sur les forages SONADE	63
A. Approche théorique du problème.	64.72
B. Influence du forage SONIC N°1 sur le forage SONADE F	73.74
C. Influence du forage SONIC N°3 sur le forage SONADE F	75.76
D. Influence du forage SONIC N°4 sur le forage SONADE F	77.78
E. Influence du forage SONIC N°6 sur le forage SONADE F	79.80
F. Influence du forage SONIC N°7 sur le forage SONADE F	81.82
G. Influence du forage SONIC N°9 sur le forage SONADE F	83.84
H. Influence totale des forages SONIC sur les forages SONADE	85.86
<u>CONCLUSION</u>	87
<u>SYMOLOGIE</u>	88

.1.

**-INTRODUCTION GENERALE.**

Comme il est de coutume à l'E.N.P.A, chaque étudiant doit présenter au terme de ses cinq années d'études, un projet portant sur sa spécialité.

Ce projet traite de l'Hydraulique souterraine, - branche de l'Hydraulique générale-, qui s'occupe de l'étude des mouvements de l'eau dans le sous-sol, de l'évaluation des réserves d'eau dans une nappe, de l'exploitation de celle-ci etc...

Le problème qui nous est posé justement est de connaître le comportement d'une nappe en fonction des essais qui y ont été effectués.

Dans cette nappe, nous distinguons d'une part des forages SONIC et d'autre part, des forages SONADE.

Notre étude se compose de deux chapitres principaux:

Dans le premier, nous trouverons le comportement des forages SONIC en fonction du temps, ainsi que les caractéristiques de la nappe.

Dans le second, nous trouverons l'influence des forages SONIC sur le forage SONADE le plus influencé, pour un temps de pompage de un mois (30 jours), Soit 720 heures

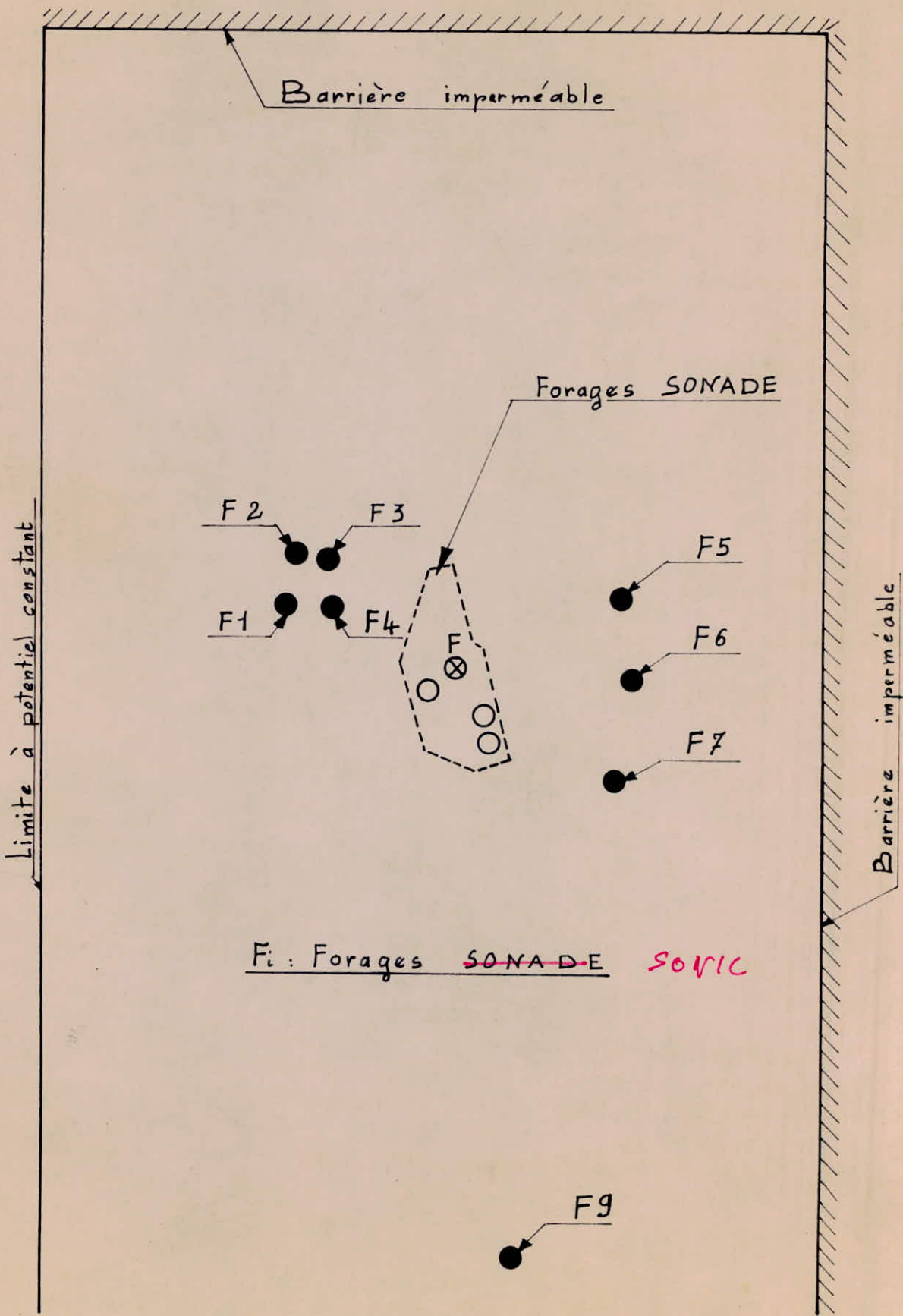
Dans les deux chapitres cités, les calculs numériques sont précédés d'une introduction théorique et d'un rappel du mode de résolutions des questions traitées.

De cette manière, une meilleure compréhension de cette étude devient possible, et un plus grand nombre de personnes intéressées par les problèmes d'exploitation d'une nappe aquifère, seront satisfaites.

CHAPITRE I

RAPPORTS SUR LES FORAGES  
SONIC

Emplacement des forages SONIC et des forages SONADE



A. INTRODUCTION A  
L'ETUDE DES FORAGES SONIC

## 1 PRESENTATION:

Ces forages, au nombre de huit (8), et situés principalement dans la région de BARAKI, appartiennent à la SONIC (Société Nationale des Industries Chimiques). Ils sont désignés symboliquement par F<sub>1</sub>; F<sub>2</sub>; F<sub>3</sub>; F<sub>4</sub>; F<sub>5</sub>; F<sub>6</sub>; F<sub>7</sub> et F<sub>9</sub>. Cependant, F<sub>2</sub> et F<sub>5</sub> n'ont servi que de piézomètres. Mais tous serviront à alimenter une usine de papier située sur la rive ouest de l'oued "EL-HARRACH", à un kilomètre environ de l'embouchure de ce dernier.

## 2 ESSAIS EFFECTUÉS:

Afin de déterminer le comportement des forages et de la nappe, plusieurs essais ont été faits.

Ceux-ci sont généralement au nombre de trois

- Un essai à blanc à débit variable
- Un essai de descente à débit constant ou variable
- Un essai de remontée.

## 3. CALCULS:

### 3.1 Introduction aux notions de transmissivité et de coefficient d'emmagasinement

les paramètres qui caractérisent une nappe sont :

- la transmissivité désignée par (T)
- le coefficient d'emmagasinement désigné par (S)

c'est pour cela qu'il est nécessaire de rappeler dès le début la signification des caractéristiques ci-dessus nommées.

#### 3.11 Transmissivité (T):

elle est définie pour une nappe captive et traduit une perméabilité relative à l'épaisseur de cette nappe. elle est exprimée par la formule:

$$T = k \cdot e$$

k: étant la perméabilité du sol.

e: étant l'épaisseur de la nappe captive.

#### 3.12 Coefficient d'emmagasinement (S):

Il est défini comme étant "le volume libéré par un prisme de section unité pour une baisse unité du niveau piézométrique".

Il dépend de la nature du sol et traduit la propriété du sol à restituer l'eau souterraine.

### 3.2 Expressions théoriques de (7) et (8):

#### 3.21 Rappel des formules de THEISS et de JACOB

La formule de THEISS donnant le rabattement est:

$$\Delta = \frac{Q}{4\pi T} \int_u^{+\infty} \frac{e^{-u}}{u} du \quad \text{où } u = \frac{x^2 S}{4Tt}$$

nous savons que:

$$\int \frac{e^{-u}}{u} du = \int \frac{du}{u} + \int \frac{e^{-u}-1}{u} du$$

en intégrant, nous obtenons:

$$\begin{aligned} \int \frac{du}{u} + \int \frac{e^{-u}-1}{u} du &= \log u + \int \left[ -1 + \frac{u}{2!} - \frac{u^2}{3!} + \frac{u^3}{4!} + \dots + (-1)^n \frac{u^{n-1}}{n!} \right] du \\ &= \log u + \left( -u + \frac{u^2}{2 \times 2!} - \frac{u^3}{3 \times 3!} + \frac{u^4}{4 \times 4!} + \dots + \frac{(-u)^n}{n \times n!} \right) \end{aligned}$$

Pour  $u$  tendant vers  $+\infty$ , on montre que la valeur de la primitive est: -0,5772. ce qui implique que:

$$\int_u^{+\infty} \frac{e^{-u}}{u} du = -0,5772 - (\log u) + u - \frac{u^2}{2 \times 2!} + \frac{u^3}{3 \times 3!} + \dots + \frac{(-u)^n}{n \times n!}$$

cette intégrale est désignée par  $w(u)$  et elle est appelée fonction caractéristique du forage:  
le rabattement devient:

$$\begin{aligned} \Delta &= \frac{Q}{4\pi T} \left[ -0,5772 - \log u + u - \frac{u^2}{2 \times 2!} + \frac{u^3}{3 \times 3!} + \dots + \frac{(-u)^n}{n \times n!} \right] \\ \rightarrow \Delta &= \frac{Q}{4\pi T} \left[ -0,5772 - \log \frac{x^2 S}{4Tt} + \frac{x^2 S}{4Tt} - \frac{1}{2 \times 2!} \left( \frac{x^2 S}{4Tt} \right)^2 + \frac{1}{3 \times 3!} \left( \frac{x^2 S}{4Tt} \right)^3 + \dots + \frac{1}{n \times n!} \left( \frac{x^2 S}{4Tt} \right)^n \right] \end{aligned}$$

Quand le temps de pompage augmente, la série

$$\left[ \frac{x^2 S}{4Tt} - \frac{1}{2 \times 2!} \left( \frac{x^2 S}{4Tt} \right)^2 + \dots \right] \text{ devient négligeable.}$$

nous obtenons alors la formule d'approximation logarithmique ou formule de non-équilibre:

$$\Delta = \frac{Q}{4\pi T} \log \frac{2,25 T \cdot t}{x^2 S} \quad \text{ou}$$

$$\Delta = \frac{0,183 Q}{T} \log \frac{2,25 T \cdot t}{x^2 S} \quad \text{Formule de JACOB}$$

Il faut préciser que cette expression n'est valable que pour un temps de pompage assez important ~~et~~ une distance faible du forage au point d'observation du rabattement.

Ainsi pour un forage où l'on fait un pompage, le rabattement est donné par la formule de JACOB où :

$Q$  est le débit de pompage.

$T$  est la transmissivité de la nappe.

$t$  est la durée du pompage.

$x$  est la distance du centre du forage à l'endroit où est déterminé le rabattement.

$s$  est le coefficient d'emmagasinement de la nappe.

### 3.22 Expression de la transmissivité:

$$\Delta = \frac{0,183 Q}{T} \log \frac{2,25 T \cdot t}{x^2 s}$$

$$\rightarrow \Delta = \frac{0,183 Q}{T} \log \frac{2,25 T}{x^2 s} + \frac{0,183 Q}{T} \log t$$

où  $Q$  est constant

$T$  est constant

$x$  est constant

$s$  est constant

nous pouvons donc écrire :

$$\Delta = B + A \log t \quad \text{avec } B = \frac{0,183 Q}{T} \log \frac{2,25 T}{x^2 s} \text{ et } A = \frac{0,183 Q}{T}$$

il apparaît donc que  $A$  est le coefficient directeur de la droite  $\Delta$ . Ainsi :

$$A = \frac{0,183 Q}{T}$$

Par ailleurs, si  $\alpha$  est l'angle formé par la droite  $\Delta$  et l'axe des abscisses, nous pouvons écrire aussi :

$$\operatorname{tg} \alpha = \frac{0,183 Q}{T} \Rightarrow T = \frac{0,183 Q}{\operatorname{tg} \alpha}$$

### 3.23. Expression du coefficient d'emmagasinement pour la descente:

Si  $t_0$  est le temps au bout duquel le rabattement dans un forage est  $\Delta_0 = 0$ , nous pouvons écrire :

$$\Delta_0 = \frac{0,183 Q}{T} \log \frac{2,25 T \cdot t_0}{x^2 s} = 0$$

où  $\frac{0,183 Q}{T}$  est différent de zéro (0)

Ceci donne :

$$\log \frac{2,25 T \cdot t_0}{x^2 \cdot s} = 0 \Rightarrow \frac{2,25 T \cdot t_0}{x^2 \cdot s} = 1$$

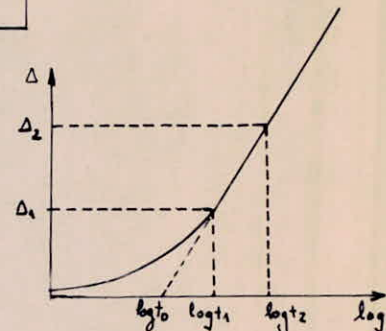
Détermination de  $s$ :

$$s = \frac{2,25 T \cdot t_0}{x^2}$$

### 3.24 Détermination de la transmissivité:

$$\operatorname{tg} \alpha = \frac{0,183 Q}{T} \text{ soit } T = \frac{0,183 Q}{c}$$

$c$  étant le coefficient angulaire de la droite.



### 3.25 Détermination du coefficient d'emmagasinement:

$$s = \frac{2,25 T \cdot t_0}{x^2} \text{ (où } x \text{ est relevé sur le terrain)}$$

3.251 Calcul de  $t_0$ :

$$\left. \begin{aligned} \frac{\Delta_2 - \Delta_0}{\log t_2 - \log t_0} &= \frac{\Delta_2}{\log t_2 - \log t_0} \\ c = \frac{0,183 Q}{T} &= \frac{\Delta_2 - \Delta_1}{\log t_2 - \log t_1} \end{aligned} \right\} \Rightarrow \Delta_2 - \Delta_1 = \frac{\Delta_2}{\log t_2 - \log t_0} = c$$

$$t_2 = 10 t_1$$

$$\log t_0 = \log t_2 - \frac{\Delta_2}{c}$$

Il faut cependant signaler que  $t_0$  ainsi déterminé est souvent faussé par les erreurs de construction et de lecture faites sur les courbes caractéristiques. C'est pour cela qu'à chaque fois que ce sera possible, nous prendrons en considération la valeur de  $t_0$ , trouvée directement par lecture.

3.252 Détermination de  $x$ :

Cette valeur est relevée directement sur la carte.

3.26 Remarque : le coefficient d'emmagasinement ne sera calculé que pour la descente, étant donné qu'il perd son sens pour la remontée.

B. RAPPORT SUR FORAGE SONIC N°1

Carte: 1/25000 ARBA 42 (1-2)

Date des travaux: Décembre 1971

Echelle de la coupe: 1/500

LONG:

$$X = 538,150$$

Z = .....  
.....

## LATIT:

Y = 379,350

100,000

Profondeur et cotes	Tubages et Cimentation	Plans d'eau	Échant.	Coupe	DESCRIPTION GEOLOGIQUE	Etage
0					Argile	
10					Gravier grossier + Argile	
18'					Argile + quelques graviers	
NS: -12m					Gravier grossier	
20						III
30	31				Argile bleue + gros graviers	
40	39				Gros graviers	
41						ALLUVIONS
44	45				Grès jaune friable ± argileux	
47					Grès jaune friable	
56					Grès jaune léger ± argileux	
63					Grès jaune friable	
74					Argile bleu gris ± gréseuse	
76					(Transition Astien - plaisancien)	
98					Microfaune abondante	
100	COMBLE				fin de forage	
					PLAISANCIEN SUPERIEUR	

-ESSAI A BLANC DANS F1-

$Q$ (l/s)	$Q$ ( $m^3/h$ )	N.S (m)	N.D (m)	$\Delta$ (m)	DURÉE
13	46,8	14,2	19,2	5	
27	97,2	14,2	21	6,8	
36	129,6	14,2	27	12,8	
29	104,4	14,2	27,75	13,55	
13	46,8	14,2	19,2	5	
27	97,2	14,2	23,6	9,4	
33	118,8	14,2	27,8	13,6	COMPRISE ENTRE 2h à 5h.
36	129,6	14,2	29,3	15,1	

ESSAI DE DESCENTE DANS F1.

-Observations faites dans F4

-Durée d'essai 72h = 4320 mn

-Débit de pompage  $Q = 35 \text{ L/s} = 126 \text{ m}^3/\text{h}$ .

$t$ (mn)	N.D (m)	N.S (m)	$\Delta$ (m)
1	9,84	9,74	0,1
15	10,09	9,74	0,35
30	10,34	9,74	0,62
45	10,67	9,74	0,93
50	10,71	9,74	0,97
55	10,75	9,74	1,01
60	10,80	9,74	1,06
65	10,87	9,74	1,13
70	10,93	9,74	1,19
75	11,02	9,74	1,28
80	11,10	9,74	1,36
90	11,16	9,74	1,42
100	11,25	9,74	1,51
110	11,34	9,74	1,60
120	11,42	9,74	1,68
130	11,54	9,74	1,80
140	11,58	9,74	1,84
150	11,64	9,74	1,90
160	11,73	9,74	1,99
180	11,80	9,74	2,06
195	11,94	9,74	2,20
210	12,01	9,74	2,27
225	12,07	9,74	2,33
240	12,11	9,74	2,37
260	12,20	9,74	2,48

$t$ (mn)	N.D (m)	N.S (m)	$\Delta$ (m)
280	12,32	9,74	2,58
300	12,38	9,74	2,64
330	12,41	9,74	2,67
360	12,44	9,74	2,70
420	12,60	9,74	2,76
480	12,68	9,74	2,94
540	12,77	9,74	3,03
600	12,83	9,74	3,09
720	12,95	9,74	3,21
780	13,00	9,74	3,26
840	13,02	9,74	3,28
900	13,05	9,74	3,31
1020	13,17	9,74	3,43
1380	13,30	9,74	3,56
1500	13,38	9,74	3,64
1620	13,46	9,74	3,72
1740	13,50	9,74	3,76
2100	13,54	9,74	3,80
2460	13,62	9,74	3,88
2820	13,70	9,74	3,96
3180	13,80	9,74	4,06
3540	13,84	9,74	4,10
3900	13,84	9,74	4,10
4260	13,86	9,74	4,12
4320	13,90	9,74	4,16

-ESSAI DE REMONTÉE DANS F1-

Les observations ont été faites dans F4

$t'$	N.D (m)	N.S (m)	$\Delta$ (m)	$\frac{t_1}{t'}$	$\frac{t}{t'}$
0	13,90	9,74	4,16		
1'	13,86	9,74	4,12	4320	4321
2'	13,83	9,74	4,09	2160	4161
3'	13,79	9,74	4,05	1440	1441
4'	13,75	9,74	4,01	1080	1081
5'	13,72	9,74	3,98	864	865
6'	13,70	9,74	3,96	720	721
7'	13,68	9,74	3,94	617,10	618,10
8'	13,66	9,74	3,92	540	541
9'	13,64	9,74	3,90	580	581
10'	13,62	9,74	3,88	432	433
11'	13,60	9,74	3,86	392,70	393,70
12'	13,60	9,74	3,86	360	361
13'	13,56	9,74	3,82	332,30	333,30
14'	13,52	9,74	3,78	308,60	309,60
15'	13,49	9,74	3,75	288	289
17'30"	13,47	9,74	3,73	246,90	247,90
20'	13,45	9,74	3,71	216	217
25'	13,32	9,74	3,58	172,8	173,8
30'	13,25	9,74	3,51	144	145
35'	13,20	9,74	3,46	123,40	124,40
40'	13,17	9,74	3,43	108	109
45'	13,12	9,74	3,38	96	97
50'	13,07	9,74	3,33	86,40	87,40
55'	13,03	9,74	3,29	78,60	79,60
1h 00'	13,00	9,74	3,26	72	73
1h 05'	12,98	9,74	3,24	66,7	67,7
1h 10'	12,96	9,74	3,22	61,7	62,7
1h 15'	12,91	9,74	3,17	57,6	58,6
1h 20'	12,89	9,74	3,15	54	55

$t'$	N.D (m)	N.S (m)	$\Delta$ (m)	$\frac{t_1}{t'}$	$\frac{t}{t'}$
1h 30'	12,80	9,74	3,06	48	49
1h 40'	12,74	9,74	3,00	43,2	44,2
1h 50'	12,71	9,74	2,97	39,30	40,3
2h	12,69	9,74	2,95	36	37
2h 10'	12,66	9,74	2,92	33,2	34,2
2h 20'	12,62	9,74	2,88	30,9	31,9
2h 30'	12,57	9,74	2,83	28,8	29,8
2h 40'	12,54	9,74	2,80	27	28
3h	12,52	9,74	2,78	24	25
3h 15'	12,42	9,74	2,68	22,2	23,2
3h 30'	12,46	9,74	2,72	20,6	21,6
3h 45'	12,43	9,74	2,69	19,2	20,2
4h	12,41	9,74	2,67	18	19
4h 20'	12,39	9,74	2,65	16,6	17,6
4h 40'	12,88	9,74	2,64	19,4	16,4
5h	12,39	9,74	2,63	14,4	15,4
5h 30'	12,36	9,74	2,62	13,1	14,1
6h	12,36	9,74	2,62	12	13
7h	12,02	9,74	2,28	10,3	11,3
8h	11,53	9,74	1,79	9	10
9h	11,42	9,74	1,68	8	9
10h	11,29	9,74	1,55	7,2	8,2
11h	11,17	9,74	1,43	6,6	7,6
12h	10,69	9,74	0,93	6	7
13h	10,73	9,74	0,99	5,5	6,5
14h	10,87	9,74	1,13	5,1	6,1
15h	10,82	9,74	1,08	4,8	5,8
17h	10,65	9,74	0,91	4,5	5,5
20h	10,54	9,74	0,80	4,2	5,2
24h	10,37	9,74	0,63	4	5

## 1. CARACTÉRISTIQUES GÉNÉRALES:

1.1. Coordonnées:       $X = 538,150 \text{ m}$   
                                 $Y = 379,350 \text{ m}$

## 1.2 Description et dimensions:

ce forage à une profondeur de 74m et comprend deux diamètres.

- le premier qui est de 18" et constant sur 44m.

- le second dit "chemisage" et constant sur toute la profondeur restante, soit sur 30m.

## 1.3 Constitution du sol: (voir coupe)

## 2. ESSAIS EFFECTUÉS: il ya :

- un essai montrant le rabattement en fonction du débit.

- un essai de descente montrant le rabattement en fonction du temps et pour un débit constant.

- un essai de remontée montrant le rabattement en fonction du temps.

## 3. TRACE DES COURBES CARACTÉRISTIQUES:

Sur les figures ci-après nous trouvons:

- une courbe  $\Delta = f(Q)$

- une courbe  $\Delta = f(\log t)$

- une courbe  $\Delta = f(\log t/f_1)$

## 4. EXPLOITATION DES COURBES CARACTÉRISTIQUES:

### 4.1. Courbe $\Delta = f(Q)$ :

elle donne:  $Q_{\max} = 100 \text{ m}^3/\text{h}$

et  $\Delta_{\max} = 7,8 \text{ m}$

Le débit de pompage au cours de l'essai de descente est de 35 l/s.

Si ce débit est égal au débit d'exploitation du forage, nous aurons

$Q_{\exp} = 35 \text{ l/s}$ . Ce qui donne:

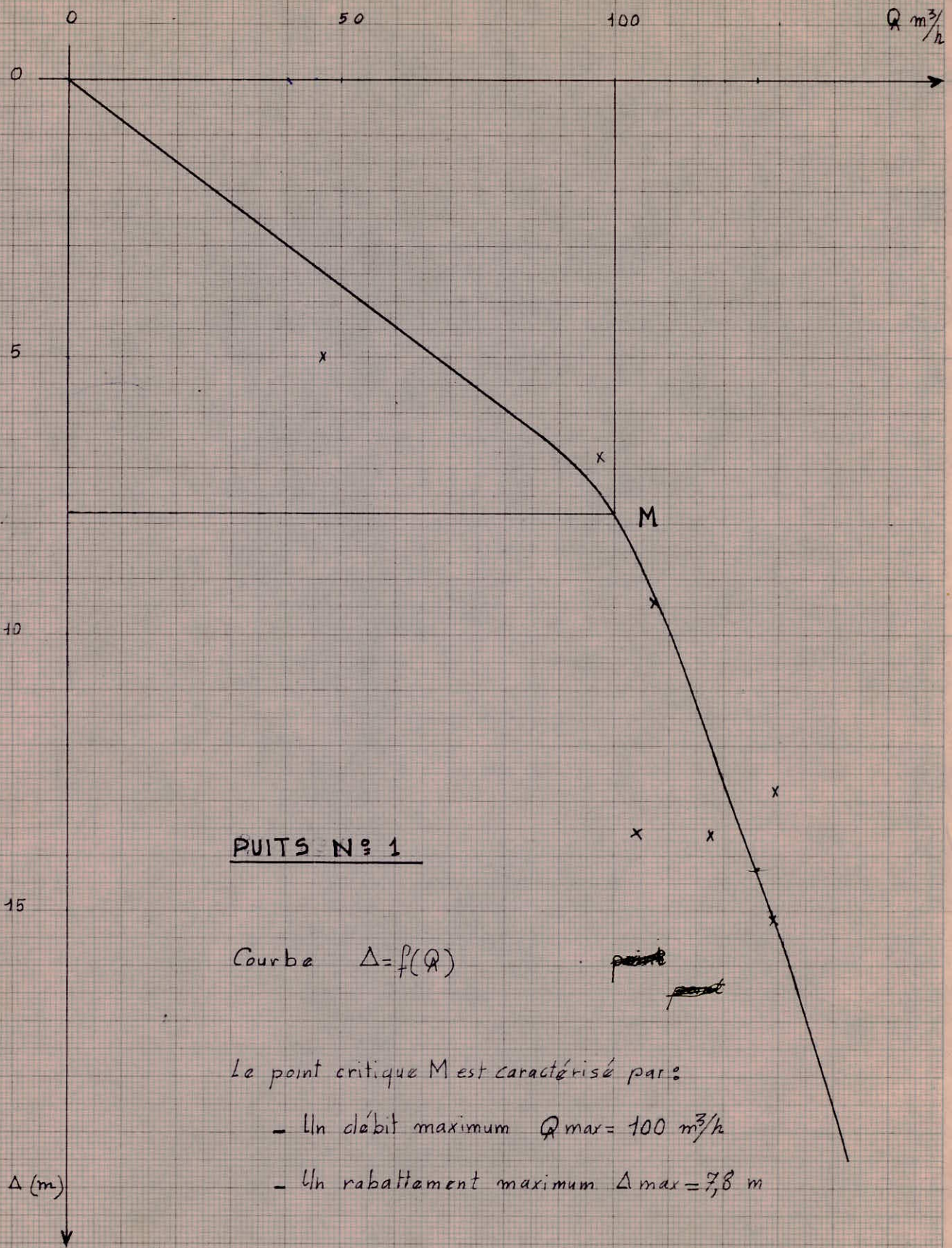
$$Q_{\exp} = \frac{35 \times 3600}{1000} = 126 \text{ m}^3/\text{h} \Rightarrow Q_{\exp} = 126 \text{ m}^3/\text{h}.$$

Cette dernière valeur trouvée montre que le débit d'exploitation est supérieur au débit maximum déterminé sur la courbe caractéristique.

### 4.2 Courbe $\Delta = f(\log t)$ :

elle se présente sous forme de deux droites de pente différente. Il faut donc calculer deux valeurs de la transmissivité et deux valeurs du coefficient d'emmagasinement.

Celles-ci nous donneront une valeur moyenne pour chacune de ces caractéristiques et pour cet essai.



4.3 courbe  $S = f(\log t/t')$ :

nous observons trois droites de pente différente : il faut donc faire un calcul aboutissant à une transmissivité et à un coefficient d'emmagasinement moyen pour cet essai.

5. CALCUL DE LA TRANSMISSIVITÉ ( $T$ ) ET DU COEFFICIENT D'EMMAGASINEMENT ( $S$ ) POUR  $F_1$  ET OBSERVATION DANS  $F_4$ :

5.1 Cas de la descente:

5.1.1 Calcul de la transmissivité:

$$T_1 = \frac{0,183 R}{C}$$

5.1.1 D'après la droite ①:

$$C'd = \Delta_2 - \Delta_1 = 3,750 - 1,550 = 2,200$$

$$R = 35 \text{ l/s}$$

d'où

$$T'd = \frac{0,183 \cdot 35 \cdot 10^{-3}}{2,200}$$

$$\rightarrow C'd = 2,200 \text{ m}$$

$$\rightarrow R = 35 \cdot 10^3 \text{ m}^3/\text{s}$$

$$\rightarrow T'd = 2,911 \cdot 10^{-3} \text{ m}^2/\text{s}$$

5.1.2 D'après la courbe ②

$$C''d = \Delta_2 - \Delta_1 = 3,425 - 2,150 = 1,275$$

$$R = 35 \text{ l/s}$$

d'où

$$T''d = \frac{0,183 \cdot 35 \cdot 10^{-3}}{1,275} = 5,02 \cdot 10^{-3}$$

$$\rightarrow C''d = 1,275 \text{ m}$$

$$\rightarrow R = 35 \cdot 10^3 \text{ m}^3/\text{s}$$

$$\rightarrow T''d = 5,024 \cdot 10^{-3} \text{ m}^2/\text{s}$$

5.1.3 valeur moyenne de la transmissivité pour la descente dans  $F_1$ :

$$Td = \frac{T'd + T''d}{2} = \frac{2,911 \cdot 10^{-3} + 5,024 \cdot 10^{-3}}{2} =$$

$$\rightarrow Td = 3,968 \cdot 10^{-3} \text{ m}^2/\text{s}$$

5.1.2 Calcul du coefficient d'emmagasinement:

$$S = \frac{2,25 T \cdot t_0}{x^2}$$

5.1.2 D'après la droite ①:

$$T'd = 2,911 \cdot 10^{-3} \text{ m}^2/\text{s}$$

$$t_0 = 20 \text{ mn} \text{ (obtenu par lecture).}$$

$$t'_0 = 20 \times 60 = 1200$$

$$\rightarrow t'_0 = 1200 \text{ s.}$$

$$x_{1-4} = 200 \text{ m} \text{ (relevé sur la carte)}$$

d'où

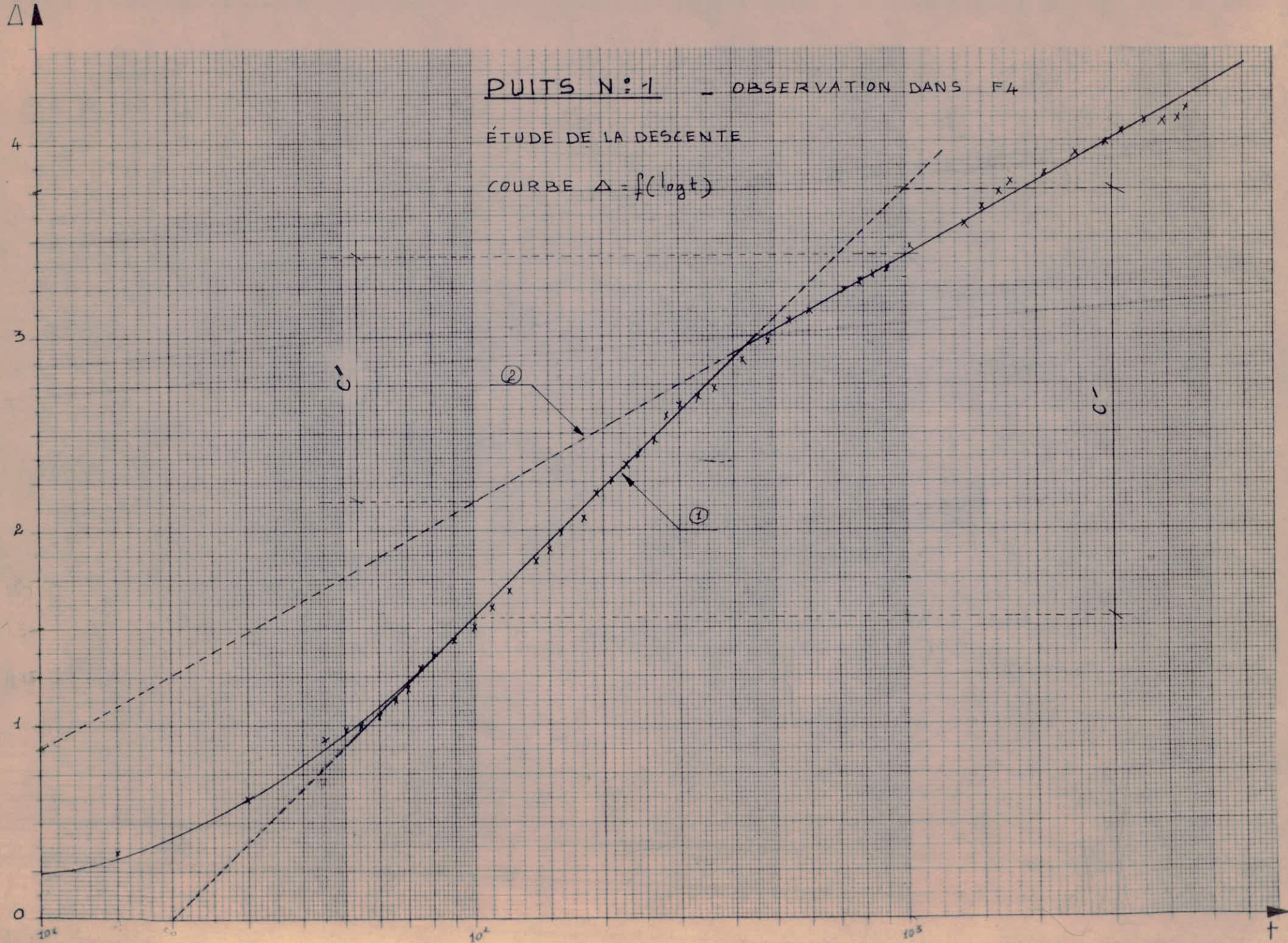
$$S'd = \frac{2,25 \cdot T'd \cdot t'_0}{(x_{1-4})^2} = \frac{2,25 \cdot 2,911 \cdot 10^{-3} \cdot 1200}{(200)^2}$$

$$\rightarrow S'd = 0,196 \cdot 10^{-3}$$

PUITS N°1 - OBSERVATION DANS F4

ÉTUDE DE LA DESCENTE

COURBE  $\Delta = f(\log t)$



5.122 D'après la droite ② :

$$T''_0 = 5,024 \cdot 10^{-3} \text{ m}^2/\text{s}$$

$t''_0$  :

$$\log t''_0 = \log t_2 - \frac{\Delta z}{C''d}$$

$$\log t_2 = \log 10^3 = 3$$

$$\Delta z = 3,425$$

$$C''d = 1,275$$

$$\left. \begin{array}{l} \log t''_0 = 3 - \frac{3,425}{1,275} = 0,850 \end{array} \right\}$$

$$\log t''_0 = 0,850 \rightarrow t''_0 = 7,08 \text{ mn}$$

$$\rightarrow t''_0 = 7,08 \times 60 = 424,8$$

$$\rightarrow t''_0 = 424,8 \text{ s}$$

$x_{1-4} = 200 \text{ m}$  (relevé sur la carte)

d'où

$$S''d = \frac{2,25 T''_0 \cdot t''_0}{(x_{1-4})^2} = \frac{2,25 \cdot 5,024 \cdot 10^{-3} \cdot 424,8}{(200)^2}$$

$$\rightarrow S''d = 0,120 \cdot 10^{-3}$$

5.123 Valeur moyenne du coefficient d'emmagasinement pour la descente dans F1.

$$sd = \frac{0,196 \cdot 10^{-3} + 0,120 \cdot 10^{-3}}{2}$$

$$\rightarrow sd = 0,157 \cdot 10^{-3}$$

5.2 Cas de la remontée :

5.21 Calcul de la transmissivité :

$$Tr = \frac{0,183 Q}{Cr}$$

5.211 D'après la droite ① :

$$Cr' = 3,625 - 0 = 3,625$$

$$Q = 35 \text{ l/s}$$

d'où

$$Tr' = \frac{0,183 \cdot 35 \cdot 10^{-3}}{3,625} = 1,767 \cdot 10^{-3}$$

$$\rightarrow Cr' = 3,625 \text{ m}$$

$$\rightarrow Q = 35 \cdot 10^{-3} \text{ m}^3/\text{s}$$

$$\rightarrow Tr' = 1,767 \cdot 10^{-3} \text{ m}^2/\text{s}$$

5.212 D'après la droite ②

$$Cr'' = 3,650 - 2,625 = 1,025$$

$$Q = 35 \text{ l/s}$$

d'où

$$Tr'' = \frac{0,183 \cdot 35 \cdot 10^{-3}}{1,025} = 6,249 \cdot 10^{-3}$$

$$\rightarrow Cr'' = 1,025 \text{ m}$$

$$\rightarrow Q = 35 \cdot 10^{-3} \text{ m}^3/\text{s}$$

$$\rightarrow Tr'' = 6,249 \cdot 10^{-3} \text{ m}^2/\text{s}$$

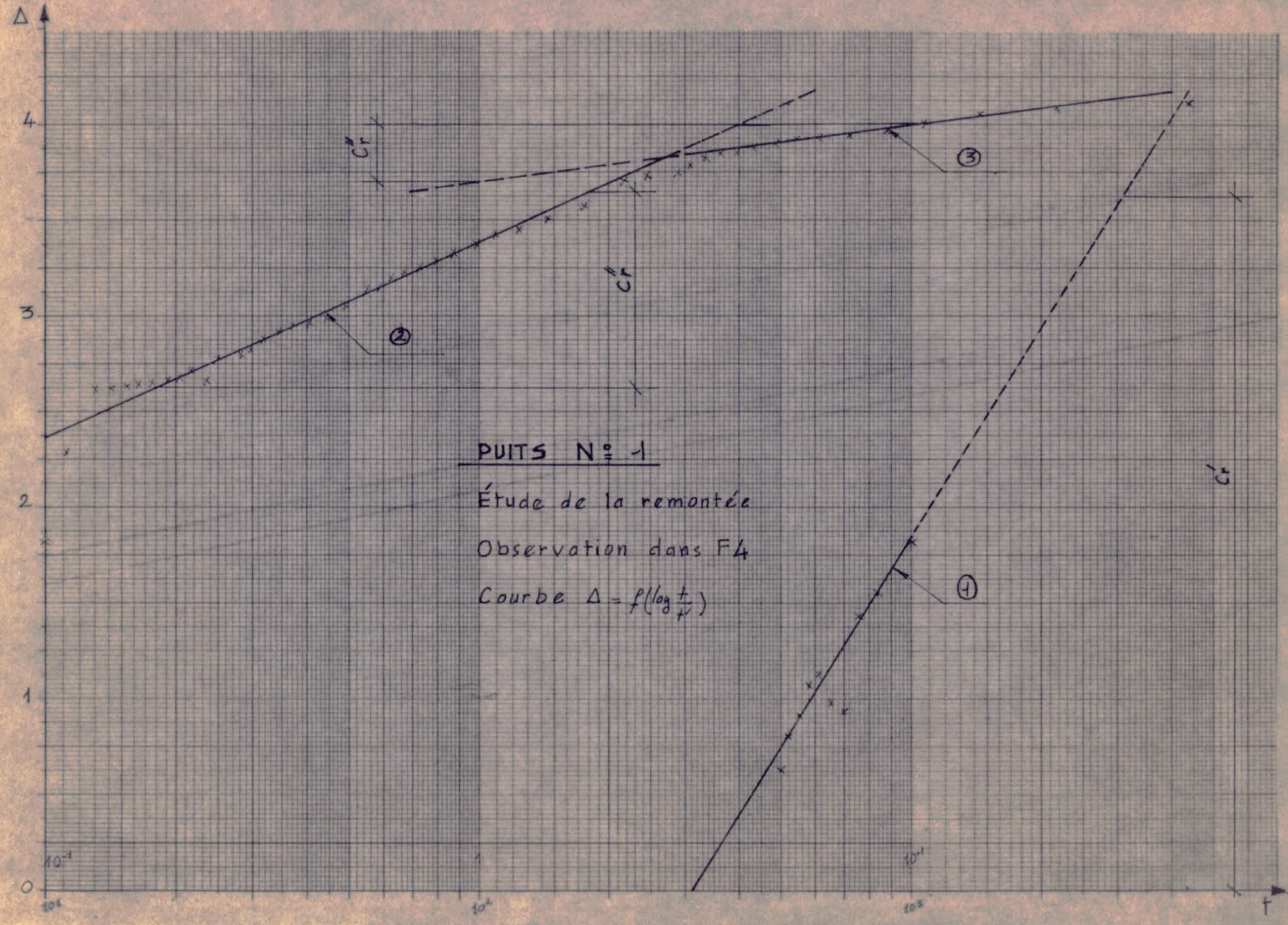
5.213 D'après la droite ③

$$Cr''' = 4 - 3,7 = 0,3$$

$$Q = 35 \text{ l/s}$$

$$\rightarrow Cr''' = 0,3 \text{ m}$$

$$\rightarrow Q = 35 \cdot 10^{-3} \text{ m}^3/\text{s}$$



d'où

$$Tr'' = \frac{0,183 \cdot 35 \cdot 10^{-3}}{0,3} = 21,350 \cdot 10^{-3}$$

$$\rightarrow Tr'' = 21,350 \cdot 10^{-3} \text{ m}^2/\text{s}$$

5.214 Valeur moyenne de la transmissivité pour la remontée dans F<sub>1</sub>:

$$Tr = \frac{Tr' + Tr'' + Tr'''}{3} = \frac{1,767 \cdot 10^{-3} + 6,249 \cdot 10^{-3} + 21,350 \cdot 10^{-3}}{3} \rightarrow Tr = 9,789 \cdot 10^{-3} \text{ m}^2/\text{s}$$

5.22 transmissivité moyenne pour le forage SONIC F<sub>1</sub>:

$$T_1 = \frac{Td + Tr}{2} = \frac{3,968 \cdot 10^{-3} + 9,789 \cdot 10^{-3}}{2}$$

$$\rightarrow T_1 = 6,88 \cdot 10^{-3} \text{ m}^2/\text{s}$$

5.23 Coefficient d'emmagasinement moyen pour le forage SONIC F<sub>1</sub>:

$$S_1 = Sd = 0,157 \cdot 10^{-3}$$

$$\rightarrow S_1 = 0,16 \cdot 10^{-3}$$

C. RAPPORT SUR FORAGE SONIC N°3

## SUNDAGE SONIC F3 (EL HARRACH)

Carte: 1/25.000 ARBA 42 (1-2)

Date des travaux: Décembre 1971

Echelle de la coupe: 1/500

Long:

X = 538,425

Z =

Latit:

Y = 379,475

Profondeurs et cotés	Tubages et Cimentation	Plans d'eau	Echant.	Coupe	DESCRIPTION GEOLOGIQUE	Etage
0					0	
10	17 1/2	NS: 13,4 M			3 limon sableux 7 gravier avec un peu d'argile 12 sable fin et gravier gris	
20						
30	35				28 gravier fin avec sable, gris	
40	48				38 gravier 2 à 8 mm avec zones faiblement cimentées 41 gravier grossier 5 à 15 mm	
46	49				46 Argile et gravier	
50						
60	59				60 grès	
68	17 3/8					
70	71				70 Sable fin argileux jaune avec passés grasseuses	
78					81 grès avec passés sableuses	
82						
90						
					95 marne grise sableuse fossilière	

-ESSAI A BLANC DANS F3-

$Q$ (l/s)	$Q$ ( $m^3/h$ )	N.S (m)	$\Delta$ (m)	DURÉE
13,4	48,24	11,42	12,6	68 h
16,5	59,04	11,42	15,6	2 h
19,8	71,28	11,42	16,4	2 h
16,3	58,68	11,42	16,6	26 h
19,94	71,78	11,42	17,3	4 h 30'
12,5	45	11,42	8,5	26 h

ESSAI DE DESCENTE DANS F3.

$t$ (mn)	N.D. (m)	N.S. (m)	$\Delta$ (m)	$\varphi$ (l/s)
10	17,10	11,40	5,70	13,4
15	18,24	11,40	6,84	13,4
25	18,12	11,40	6,72	13,4
30	18,25	11,40	6,85	13,4
40	18,70	11,40	7,30	13,4
50	18,55	11,40	7,15	13,4
65	19,50	11,40	8,10	13,4
80	19,92	11,40	8,92	13,4
95	19,76	11,40	8,36	13,4
110	19,80	11,40	8,40	13,4
125	19,92	11,40	8,92	13,4
140	20,00	11,40	8,60	13,4
155	20,13	11,40	8,73	13,4
170	20,19	11,40	8,79	13,4
230	20,40	11,40	9,00	13,4
290	20,63	11,40	9,23	13,4
350	20,82	11,40	9,42	13,4
410	21,00	11,40	9,60	13,4
470	21,20	11,40	9,80	13,4
530	21,19	11,40	9,79	13,4
590	21,20	11,40	9,80	13,4
650	21,30	11,40	9,90	13,4
710	21,36	11,40	9,96	12,50
770	21,30	11,40	9,90	12,50
830	21,20	11,40	9,80	12,50
890	20,80	11,40	9,40	12,50
950	20,12	11,40	8,72	12,50
1010	20,14	11,40	8,74	12,50
1070	20,52	11,40	9,12	12,50
1130	20,55	11,40	9,15	12,50
1190	20,50	11,40	9,10	12,50
1250	20,50	11,40	9,10	12,50
1280	20,96	11,40	9,16	12,50
1310	21,88	11,40	10,48	13,4
1340	21,90	11,40	10,50	13,4
1370	22,10	11,40	10,70	13,4
1400	22,10	11,40	10,70	13,4
1430	22,15	11,40	10,75	13,4
1490	22,08	11,40	10,68	13,4
1550	22,20	11,40	10,80	13,4

$t$ (mn)	N.D. (m)	N.S. (m)	$\Delta$ (m)	$\varphi$ (l/s)
1610	22,35	11,40	10,95	13,4
1670	22,45	11,40	11,05	13,4
1730	22,45	11,40	11,05	13,4
1790	22,30	11,40	10,90	13,4
1850	22,25	11,40	10,40	13,4
1910	22,35	11,40	10,95	13,4
2030	22,27	11,40	11,17	13,4
2090	22,99	11,40	11,19	13,4
2150	22,61	11,40	11,21	13,4
2210	22,57	11,40	11,17	13,4
2270	22,75	11,40	11,15	13,4
2330	22,52	11,40	11,12	13,4
2390	22,60	11,40	11,20	13,4
2450	22,60	11,40	11,20	13,4
2510	22,98	11,40	11,18	13,4
2570	22,54	11,40	11,14	13,4
2630	23,00	11,40	11,60	13,4
2690	23,04	11,40	11,64	13,4
2750	23,06	11,40	11,66	13,4
2810	23,02	11,40	11,62	13,4
2870	22,97	11,40	11,97	13,4
2930	23,90	11,40	12,10	13,4
2990	23,12	11,40	11,72	13,4
3050	23,03	11,40	11,63	13,4
3110	23,03	11,40	11,63	13,4
3170	23,02	11,40	11,62	13,4
3230	23,00	11,40	11,60	13,4
3290	23,01	11,40	11,61	13,4
3350	22,98	11,40	11,58	13,4
3410	23,01	11,40	11,61	13,4
3470	23,03	11,40	11,63	13,4
3530	23,02	11,40	11,62	13,4
3590	22,92	11,40	11,52	13,4
3710	22,94	11,40	11,54	13,4
3770	22,93	11,40	11,53	13,4
3830	22,92	11,40	11,52	13,4
3890	22,91	11,40	11,51	13,4
3950	23,00	11,40	11,60	13,4
4010	23,02	11,40	11,62	13,4
4070	22,98	11,40	11,58	13,4

ESSAI DE DESCENTE DANS F3.

t (mn)	N.D. (m)	N.S. (m)	$\Delta$ (m)	$\varphi$ (l/s)
10	17,10	11,40	5,70	13,4
15	18,24	11,40	6,84	13,4
25	18,12	11,40	6,72	13,4
30	18,25	11,40	6,85	13,4
40	18,70	11,40	7,30	13,4
50	18,55	11,40	7,15	13,4
65	19,50	11,40	8,10	13,4
80	19,92	11,40	8,92	13,4
95	19,76	11,40	8,36	13,4
110	19,80	11,40	8,40	13,4
125	19,92	11,40	8,52	13,4
140	20,00	11,40	8,60	13,4
155	20,13	11,40	8,73	13,4
170	20,19	11,40	8,79	13,4
230	20,40	11,40	9,00	13,4
290	20,63	11,40	9,23	13,4
350	20,82	11,40	9,42	13,4
410	21,00	11,40	9,60	13,4
470	21,20	11,40	9,80	13,4
530	21,19	11,40	9,79	13,4
590	21,20	11,40	9,80	13,4
650	21,30	11,40	9,90	13,4
710	21,36	11,40	9,96	12,50
770	21,30	11,40	9,90	12,50
830	21,20	11,40	9,80	12,50
890	20,80	11,40	9,40	12,50
950	20,12	11,40	8,72	12,50
1010	20,14	11,40	8,74	12,50
1070	20,52	11,40	9,12	12,50
1130	20,55	11,40	9,15	12,50
1190	20,50	11,40	9,10	12,50
1250	20,50	11,40	9,10	12,50
1280	20,96	11,40	9,16	12,50
1310	21,88	11,40	10,48	13,4
1340	21,90	11,40	10,50	13,4
1370	22,10	11,40	10,70	13,4
1400	22,10	11,40	10,70	13,4
1430	22,19	11,40	10,75	13,4
1490	22,08	11,40	10,68	13,4
1550	22,20	11,40	10,80	13,4

t (mn)	N.D. (m)	N.S. (m)	$\Delta$ (m)	$\varphi$ (l/s)
1610	22,35	11,40	10,95	13,4
1670	22,45	11,40	11,05	13,4
1730	22,45	11,40	11,05	13,4
1790	22,30	11,40	10,90	13,4
1850	22,25	11,40	10,40	13,4
1910	22,35	11,40	10,95	13,4
2030	22,27	11,40	11,17	13,4
2090	22,99	11,40	11,19	13,4
2150	22,61	11,40	11,21	13,4
2210	22,57	11,40	11,17	13,4
2270	22,55	11,40	11,15	13,4
2330	22,52	11,40	11,12	13,4
2390	22,60	11,40	11,20	13,4
2450	22,60	11,40	11,20	13,4
2510	22,98	11,40	11,18	13,4
2570	22,54	11,40	11,14	13,4
2630	23,00	11,40	11,60	13,4
2690	23,04	11,40	11,64	13,4
2750	23,06	11,40	11,66	13,4
2810	23,02	11,40	11,62	13,4
2870	22,97	11,40	11,97	13,4
2930	23,90	11,40	12,10	13,4
2990	23,12	11,40	11,72	13,4
3050	23,03	11,40	11,63	13,4
3110	23,03	11,40	11,63	13,4
3170	23,02	11,40	11,62	13,4
3230	23,00	11,40	11,60	13,4
3290	23,01	11,40	11,61	13,4
3350	22,98	11,40	11,58	13,4
3410	23,01	11,40	11,61	13,4
3470	23,03	11,40	11,63	13,4
3530	23,02	11,40	11,62	13,4
3590	22,92	11,40	11,52	13,4
3710	22,94	11,40	11,54	13,4
3770	22,93	11,40	11,53	13,4
3830	22,92	11,40	11,52	13,4
3890	22,91	11,40	11,51	13,4
3950	23,00	11,40	11,60	13,4
4010	23,02	11,40	11,62	13,4
4070	22,98	11,40	11,58	13,4

#### 1. CARACTERISTIQUES GENERALES DU FORAGE :

1.1 Coordonnées :       $x = 538,440 \text{ m}$   
                                 $y = 379,300 \text{ m}$   
                                 $z = 10 \text{ m}$

#### 1.2 Description et dimensions :

ce forage à une profondeur de 82 m. Nous distinguons deux chemisages de diamètre différent.

- le premier qui est de  $17\frac{1}{2}''$  et constant sur 46m
- le second qui est de  $17\frac{3}{8}''$  et constant sur la profondeur restante soit 36m

#### 1.3 Constitution du sol : (voir coupe).

#### 2. ESSAIS EFFECTUÉS :

les essais qui ont été effectués sur ce forage sont :

- Un essai à blanc où ont été notés les rabattements en fonction du débit.
- Un essai de descente à débit variable où l'on a relevé les variations du rabattement en fonction du temps.

#### 3. TRACÉ DES COURBES CARACTÉRISTIQUES :

Dans les figures ci-jointes nous trouvons :

- Une courbe caractéristique  $\Delta = f(Q)$
- Une courbe de descente  $\Delta = f(\log t)$

#### 4. EXPLOITATION DES COURBES CARACTÉRISTIQUES :

##### 4.1 Courbe $\Delta = f(Q)$ : elle donne

- Un débit maximum  $Q_{\maxi} = 35 \text{ m}^3/\text{h}$
- Un rabattement maximum  $\Delta_{\maxi} = 8,5 \text{ m}$

Si nous considérons que le débit d'exploitation de ce forage est  $Q_{\exp} = 13,4 \text{ l/s}$ , soit :

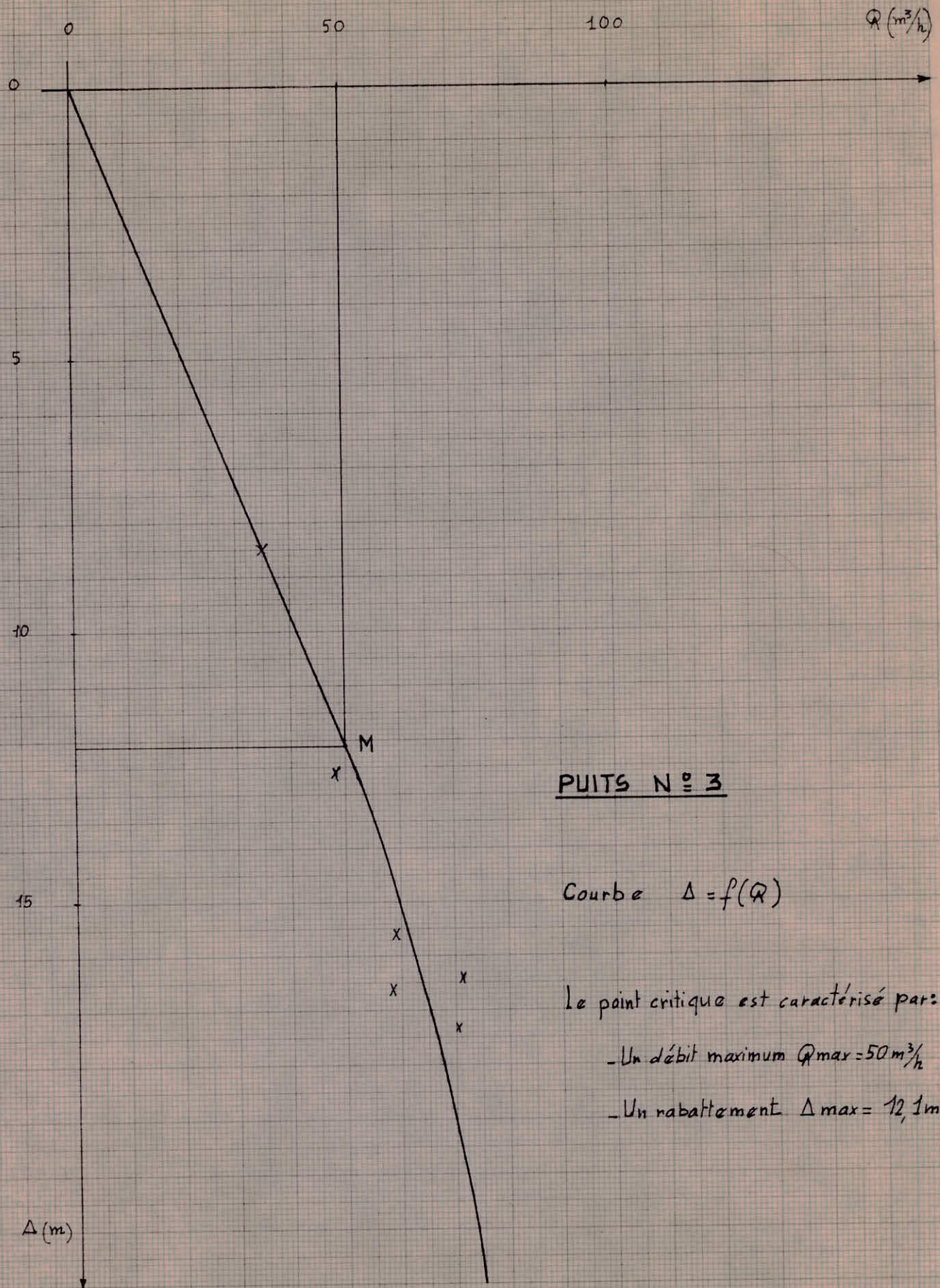
$$Q_{\exp} = \frac{13,4 \times 3600}{1000} = 48,24 \text{ m}^3/\text{h}.$$

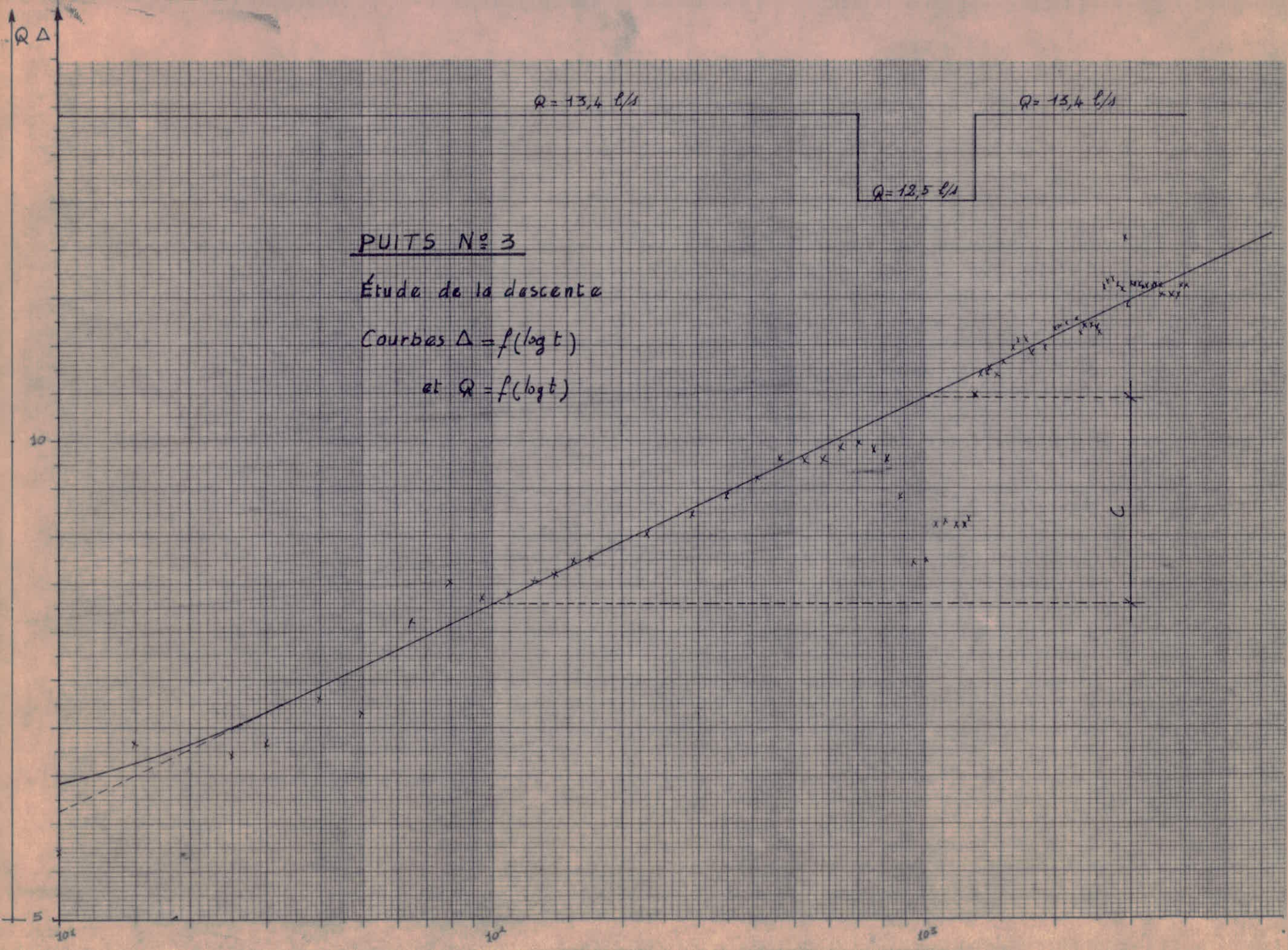
nous déduisons que ce forage est exploité à un débit élevé. Si nous comparons les débits maximum et d'exploitation nous avons en effet :

$$Q_{\exp} = 48,24 \text{ m}^3/\text{h} > Q_{\maxi} = 35 \text{ m}^3/\text{h}$$

##### 4.2 Courbe $\Delta = f(\log t)$ :

elle a une allure principalement linéaire. Cependant, nous constatons qu'au moment où il a été fait une diminution du débit, on note une diminution du rabattement qui traduit un apport d'eau dans le forage.





## 5 CALCUL DE LA TRANSMISSIVITÉ (T) ET DU COEFFICIENT D'EMMAGASINEMENT (S) :

### 5.1 Calcul de la transmissivité (T) pour F<sub>3</sub>

$$Td = \frac{0,183 Q}{cd}$$

$$- cd = D_2 - D_1 = 10,44 - 8,29 = 2,15$$

$$- Q = 13,4 \text{ l/s}$$

d'où

$$- Td = \frac{0,183 \times 13,4 \cdot 10^{-3}}{2,15} = 1,14 \cdot 10^{-3}$$

$$\rightarrow cd = 2,15 \text{ m}$$

$$\rightarrow Q = 13,4 \cdot 10^{-3} \text{ m}^3/\text{s}$$

$$\rightarrow Td = t_3 = 1,14 \cdot 10^{-3} \text{ m}^2/\text{s}$$

### 5.2. Calcul du coefficient d'emmagasinement (s) pour F<sub>3</sub>.

$$Sd = \frac{2,25 T \cdot t_0}{x_{3-3}^2}$$

$$- Td = 1,14 \cdot 10^{-3} \text{ m}^2/\text{s}$$

-  $x_{3-3}$  est le rayon du forage car les relevés ont été effectués dans F<sub>3</sub> même.

$$x_{3-3} = \frac{17 \frac{1}{2}''}{2} = 8 \frac{3}{4}'' = \frac{35}{4}''$$

$$x_{3-3} = \frac{35}{4}'' \times 25,4 = 222,25 \text{ mm}$$

$$\rightarrow x_{3-3} = 0,222 \text{ m}$$

-  $t_0$ : comme nous l'avons déjà vu, nous avons:

$$\log t_0 = \log t_2 - \frac{\Delta z}{cd}$$

$$\left. \begin{array}{l} \log t_2 = \log 10^3 = 3 \\ D_2 = 10,45 \\ cd = 2,15 \end{array} \right\} \log t_0 = 3 - \frac{10,45}{2,15} = - 1,86$$

$$\log t_0 = - 1,86$$

$$t_0 = 0,014 \times 60 =$$

$$\rightarrow t_0 = 0,014 \text{ mn}$$

$$\rightarrow t_0 = 0,83 \text{ s}$$

d'où

$$Sd = \frac{2,25 \times 1,14 \cdot 10^{-3} \times 0,83}{(0,222)^2} = 4,320 \cdot 10^{-2}$$

$$\rightarrow Sd = S_3 = 4,320 \cdot 10^{-2}$$

Ce coefficient d'emmagasinement est obtenu pour une valeur d'un temps faible. cela signifie que le rabattement n'est nul que durant un court instant. Par ailleurs nous avons vu que la formule de JACOB n'est valable que pour des temps élevés. Comme la formule du coefficient d'emmagasinement découle justement de la formule ci-dessus nommée, nous pouvons dire que la valeur trouvée n'est pas représentative pour la nappe. Par conséquent, nous n'en tiendrons pas compte dans les calculs futurs.

C. RAPPORT SUR FORAGE SONIC N°4

## SONDAGE

SONIC (EL HARRACH) N° 4

Carte: 1/25 000<sup>e</sup>

ARBA 42 (1-2)

Date des travaux: Avril - Mai 72

Echelle de la coupe: 1/500

Long: ..... X = 538,300

Z = 10<sup>m</sup> (env)

Latlt: ..... Y = 379,220

Profondeurs et cotes	Tubages et cimentation	Plans d'eau	Echant.	Coupe	DESCRIPTION GEOLOGIQUE	Etage
0					0 argile grise	
10	0 0 0 0 0 0 24" 16"			3	gravier gris bleu	
20	0 0 0 0 0 0	NS. vers 13 m		10 13	gravier moyen (5 mm) gris. bleu avec un peu d'argile	
30	0 0 28 crepine à persiennes 3mm 0 0 graviers sa 8mm			27	gravier moyen, gris Légèrement argileux	QUATERNNAIRE
40	0 0 38			32	gravier grossier (de 3 à 8 mm)	
50	0 0 46			38	gravier moyen (3 mm) gris bleu	
60	0 0 54 Johnson 0 0 56 acier inox 0 0 60 slot 20			45	gravier beige avec un peu d'argile sableuse	
70	0 0 68			53	grès	
80	0 0 74			55	grès avec passée léger sableuse	
				59	grès	
				67	Sable fin ocre, jaune léger argileux avec passages griseux (66-67 m) en particulier)	ASTIEN
				74	grès	
				75	sable légèrement argileux et grès	
				76	grès jaune -----	
				77	grès gris	
				80	Marnes grises fossilières fin de forage.	PLAISANCIEN

ESSAI A BLANC DANS F4 -

$\varphi$	$l/a$	$\varphi$ (m <sup>3</sup> /h)	N.S (m)	$\Delta$ (m)	DUREE
15	54	9,84	16,7	5 h	
20	72	9,84	21,6	5 h	

ESSAI DE DESCENTE DANS F4.

- Observations faites dans F3 (PIEZO)

- Durée d'essai 48h = 2880 mn

- Débit de pompage  $R = 22,2 \text{ l/s}$

t (mn)	N.D (m)	N.S (m)	Δ (m)
0'	8,71	8,71	0
5'	8,69	8,71	0,02
10'	8,71	8,71	0
15'	8,76	8,71	0,05
20'	8,81	8,71	0,10
25'	8,86	8,71	0,15
30'	8,93	8,71	0,22
35'	8,97	8,71	0,26
40'	9,00	8,71	0,29
45'	9,05	8,71	0,34
50'	9,10	8,71	0,39
55'	9,13	8,71	0,42
60'	9,15	8,71	0,44
65'	9,18	8,71	0,47
70'	9,21	8,71	0,50
75'	9,22	8,71	0,51
80'	9,30	8,71	0,59
85'	9,33	8,71	0,62
90'	9,35	8,71	0,64
95'	9,38	8,71	0,67
100'	9,42	8,71	0,71
105'	9,45	8,71	0,74
110'	9,47	8,71	0,76
115'	9,49	8,71	0,78
120'	9,49	8,71	0,78
130'	9,56	8,71	0,85
140'	9,63	8,71	0,92
160'	9,64	8,71	0,93
170'	9,64	8,71	0,93
180'	9,66	8,71	0,95
195'	9,74	8,71	1,03

t (mn)	N.D (m)	N.S (m)	Δ (m)
210'	9,78	8,71	1,07
225'	9,79	8,71	1,08
240'	9,81	8,71	1,10
260'	9,86	8,71	1,15
280'	9,93	8,71	1,22
300'	9,97	8,71	1,26
330'	10,01	8,71	1,30
360'	10,06	8,71	1,35
420'	10,12	8,71	1,41
480'	10,21	8,71	1,50
540'	10,27	8,71	1,56
600'	10,36	8,71	1,65
660'	10,40	8,71	1,69
720'	10,30	8,71	1,59
780'	10,33	8,71	1,62
840'	10,48	8,71	1,77
900'	10,57	8,71	1,86
1020'	10,63	8,71	1,92
1200'	10,82	8,71	2,11
1320'	11,37	8,71	2,66
1440'	11,32	8,71	2,61
1560'	11,08	8,71	2,37
1740'	11,19	8,71	2,48
1920'	11,16	8,71	2,45
2100'	11,15	8,71	2,44
2280'	11,11	8,71	2,40
2460'	11,17	8,71	2,46
2640'	11,13	8,71	2,52
2820'	11,14	8,71	2,53
2880'	11,16	8,71	2,55

ESSAI DE REMONTÉE DANS F<sub>4</sub>

- observations faites dans F<sub>4</sub>.

t'	N.D	N.S	Δ	$\frac{t_1}{t'}$	$\frac{t}{t'}$
0'	22,17	9,72	12,45	-	
1'	15,10	9,72	5,38	2880	2881
1'30"	14,58	9,72	4,86	1920	1921
2'	14,29	9,72	5,57	1440	1441
2'30"	14,17	9,72	4,45	1152	1153
3'	14,10	9,72	4,38	960	961
3'30"	14,08	9,72	4,36	822,9	823,9
4'	14,02	9,72	4,30	720	721
4'30"	13,94	9,72	4,22	640	641
5'	13,90	9,72	4,18	576	577
6'	13,81	9,72	4,09	480	481
7'	13,73	9,72	4,01	411,4	412,4
8'	13,60	9,72	3,88	360	361
9'	13,52	9,72	3,80	320	321
10'	13,41	9,72	3,69	288	289
11'	13,33	9,72	3,68	261,8	262,8
12'	13,25	9,72	3,60	240	241
13'	13,19	9,72	3,54	221,5	222,5
14'	13,15	9,72	3,50	205,7	206,7
15'	13,12	9,72	3,47	192	193
17'30"	13,00	9,72	3,35	164,5	165,5
20'	12,94	9,72	3,29	144	145
22'30"	12,85	9,72	3,20	128	129
25'	12,76	9,72	3,11	115,2	116,2
30'	12,66	9,72	3,01	96	97
35'	12,54	9,72	3,82	82,28	83,28
40'	12,46	9,72	2,72	72	73
45'	12,39	9,72	2,67	64	65
50'	12,31	9,72	2,59	57,4	58,6
55'	12,24	9,72	2,52	52,36	53,36
60'	12,19	9,72	2,47	48	49
65'	12,11	9,72	2,39	44,30	45,30
70'	12,06	9,72	2,34	41,14	42,14
75'	12,04	9,72	2,32	38,4	39,4
80'	11,96	9,72	2,24	36	37

t'	N.D	N.S	Δ	$\frac{t_1}{t'}$	$\frac{t}{t'}$
90'	11,88	9,72	2,16	32	33
100'	11,79	9,72	2,07	28,8	27,8
110'	11,71	9,72	1,99	26,18	27,2
120'	11,65	9,72	1,93	24	25
130'	11,56	9,72	1,84	22,15	23,15
140'	11,52	9,72	1,80	20,57	21,6
150'	11,48	9,72	1,76	19,2	20,2
160'	11,42	9,72	1,70	18	19
180'	11,34	9,72	1,62	16	17
195'	11,28	9,72	1,56	14,74	15,74
210'	11,23	9,72	1,51	13,71	14,71
225'	11,18	9,72	1,46	12,8	13,8
240'	11,13	9,72	1,41	12	13
260'	11,06	9,72	1,34	11,07	12,1
280'	11,00	9,72	1,28	10,28	11,3
300'	10,94	9,72	1,22	9,6	10,6
330'	10,90	9,72	1,18	8,72	9,7
360'	10,84	9,72	1,12	8,00	9,00
420'	10,70	9,72	0,98	6,85	7,9
480'	10,69	9,72	0,97	6	7
540'	10,62	9,72	0,90	5,33	6,3
600'	10,53	9,72	0,81	4,80	5,80
660'	10,49	9,72	0,77	4,36	5,40
720'	10,43	9,72	0,71	4,00	5,00
780'	10,40	9,72	0,68	3,69	4,7
840'	10,30	9,72	0,58	3,42	4,4
900'	10,33	9,72	0,61	3,20	4,20
1020'	10,25	9,72	0,53	2,82	3,82
1200'	10,19	9,72	0,47	2,40	3,40
1320'	10,41	9,72	0,69	2,18	3,20
1440'	10,33	9,72	0,61	2	3
1560'	10,34	9,72	0,62	1,84	2,8
1740'	10,41	9,72	0,69	1,655	2,7

ESSAI DE REMONTÉE DANS F4.

-Observations faites dans F3 (PIEZO)

$t'$	N.D	N.S	$\Delta$	$\frac{t_1}{t'}$	$\frac{t}{t'}$
0	11,16	8,71	2,45		
30"	11,15	8,71	2,44	5760	5761
1'	11,14	8,71	2,43	2880	2881
1'30"	11,13	8,71	2,42	1920	1921
2'	11,12	8,71	2,41	1440	1441
2'30"	11,11	8,71	2,40	1152	1153
3'	11,10	8,71	2,39	960	961
3'30"	11,09	8,71	2,38	822,9	823,9
4'	11,10	8,71	2,39	720	721
4'30"	11,10	8,71	2,39	640	641
5'	11,10	8,71	2,39	576	577
6'	11,10	8,71	2,39	480	481
7'	11,09	8,71	2,38	411,4	412,4
8'	11,08	8,71	2,37	360	361
9'	11,06	8,71	2,35	320	321
10'	11,05	8,71	2,34	288	289
11'	11,04	8,71	2,33	261,8	262,8
12'	11,03	8,71	2,32	240	241
13'	11,02	8,71	2,31	221,5	222,5
14'	11,00	8,71	2,29	205,7	206,7
15'	10,99	8,71	2,28	192	193
17'30"	10,96	8,71	2,25	164,6	164,6
20'	10,93	8,71	2,22	144	145
22'30"	10,90	8,71	2,19	128	129
25'	10,88	8,71	2,17	115,2	116,2
30'	10,83	8,71	2,12	96	97
35'	10,78	8,71	2,07	82,3	83,3
40'	10,74	8,71	2,03	72	73
45'	10,69	8,71	1,98	64	65
50'	10,66	8,71	1,95	57,6	58,6
55'	10,61	8,71	1,90	52,4	53,4
1h	10,58	8,71	1,87	48	49
1h05'	10,55	8,71	1,84	44,3	45,3
1h10'	10,51	8,71	1,80	41,1	42,1
1h15'	10,48	8,71	1,77	38,4	39,4
1h20'	10,45	8,71	1,74	36	37

$t'$	N.D	N.S	$\Delta$	$\frac{t_1}{t'}$	$\frac{t}{t'}$
1h30'	10,39	8,71	1,68	32	33
1h40'	10,33	8,71	1,62	28,8	28,8
1h50'	10,29	8,71	1,58	26,18	27,18
2h	10,23	8,71	1,52	24	25
2h10'	10,18	8,71	1,47	22,2	23,2
2h20'	10,14	8,71	1,43	20,6	21,6
2h30'	10,10	8,71	1,39	19,2	20,2
2h40'	10,06	8,71	1,35	18	19
3h	10,00	8,71	1,29	16	17
3h15'	9,95	8,71	1,24	14,7	15,7
3h30'	9,89	8,71	1,18	13,7	14,7
3h45'	9,85	8,71	1,14	12,8	13,8
4h	9,80	8,71	1,09	12	13
4h20'	9,75	8,71	1,04	11,1	12,1
4h40'	9,73	8,71	1,02	10,3	11,3
5h	9,67	8,71	0,96	9,6	10,6
5h30'	9,60	8,71	0,89	8,7	9,7
6h	9,54	8,71	0,83	8	9
7h	9,44	8,71	0,73	6,9	7,9
8h	9,40	8,71	0,68	6	7
9h	9,34	8,71	0,63	5,3	6,3
10h	9,26	8,71	0,55	4,8	5,8
11h	9,22	8,71	0,51	4,4	5,4
12h	9,20	8,71	0,49	4	5
13h	9,15	8,71	0,44	3,7	4,7
14h	9,10	8,71	0,39	3,4	4,4
15h	9,08	8,71	0,37	3,2	4,2
17h	9,04	8,71	0,33	2,8	3,8
20h	9,03	8,71	0,32	2,4	3,4
22h	9,00	8,71	0,29	2,2	3,2
24h	9,07	8,71	0,36	2	3
26h	9,12	8,71	0,41	1,8	2,8
29h	9,15	8,71	0,44	1,7	2,7

ESSAI DE DESCENTE DANS F4.

- Observations faites dans F4

- Durée de l'essai: 48 h = 2880 mn.

- Débit de pompage  $Q = 22,2 \frac{m^3}{s}$

t (mn)	N.D (m)	N.S (m)	Δ (m)
30"	10,21	9,72	0,49
1' 00"	13,20	9,72	3,48
1' 30"	14,82	9,72	5,10
2' 00"	14,79	9,72	5,07
2' 30"	15,05	9,72	5,33
3' 00"	15,40	9,72	5,68
3' 30"	15,62	9,72	5,90
4' 00"	15,86	9,72	6,14
4' 30"	16,03	9,72	6,31
5' 00"	16,18	9,72	6,46
6' 00"	16,34	9,72	6,62
7' 00"	16,52	9,72	6,80
8' 00"	16,62	9,72	6,90
9' 00"	16,67	9,72	6,95
10'	16,75	9,72	7,01
11'	16,88	9,72	7,16
12'	17,03	9,72	7,31
13'	17,09	9,72	7,37
14'	17,14	9,72	7,42
15'	17,19	9,72	7,47
20'	17,30	9,72	7,58
25'	17,58	9,72	7,86
30'	17,68	9,72	7,96
35'	17,81	9,72	8,09
40'	17,86	9,72	8,14
45'	18,04	9,72	8,32
50'	18,13	9,72	8,41
55'	18,24	9,72	8,52
1h	18,28	9,72	8,56
1h05'	18,33	9,72	8,61
1h10'	18,37	9,72	8,65
1h15'	18,43	9,72	8,71
80'	18,51	9,72	8,79
90'	18,60	9,72	8,88
100'	18,69	9,72	8,97
110'	18,74	9,72	9,02
120'	18,81	9,72	9,09

t (mn)	N.D (m)	N.S (m)	Δ (m)
130'	18,95	9,72	9,23
140'	18,97	9,72	9,25
150'	19,01	9,72	9,29
160'	19,06	9,72	9,34
180'	19,12	9,72	9,40
195'	20,36	9,72	10,64
210'	20,38	9,72	10,66
225'	20,44	9,72	10,72
240'	20,50	9,72	10,78
260'	20,62	9,72	10,90
280'	20,66	9,72	10,94
300'	20,72	9,72	11,00
330'	20,85	9,72	11,13
360'	20,88	9,72	11,16
420'	20,96	9,72	11,24
480'	21,05	9,72	11,33
540'	21,12	9,72	11,40
600'	21,20	9,72	11,48
660'	21,26	9,72	11,54
720'	21,46	9,72	11,74
780'	21,52	9,72	11,80
840'	21,55	9,72	11,83
900'	21,56	9,72	11,84
1020'	21,61	9,72	11,89
1200'	21,85	9,72	12,13
1320'	22,10	9,72	12,38
1440'	21,96	9,72	12,24
1560'	21,93	9,72	12,21
1740'	21,96	9,72	12,24
1920'	22,00	9,72	12,28
2100'	22,03	9,72	12,31
2280'	22,10	9,72	12,40
2460'	22,11	9,72	12,39
2640'	22,13	9,72	12,41
2820'	22,15	9,72	12,43
2880'	22,17	9,72	12,45

ESSAIS A PAIERS DIFFERENTS DANS F4-

HEURE	Δ	N.S	PITOT	DEBIT
10h 20'				
10h 25'	15,28	9,84	19	15
10h 30'	15,34	9,84	19	15
10h 35'	15,45	9,84	20	15
10h 40'	15,54	9,84	20	15
10h 45'	15,58	9,84	20	15
10h 50'	15,66	9,84	19	15
10h 55'	15,70	9,84	19	15
11h	15,75	9,84	19	15
11h 05'	15,79	9,84	19	15
11h 10'	15,79	9,84	19	15
11h 15'	15,84	9,84	19	15
11h 20'	15,87	9,84	19	15
11h 30'	15,90	9,84	19	15
11h 40'	15,94	9,84	18	15
11h 50'	15,95	9,84	18	15
12h	16,00	9,84	18	15
12h 10'	16,19	9,84	18	15
12h 20'	16,19	9,84	18	15
12h 30'	16,20	9,84	18	15
12h 40'	16,25	9,84	18	15
12h 50'	16,26	9,84	18	15
13h	16,29	9,84	18	15
13h 10'	16,29	9,84	18	15
13h 20'	16,27	9,84	18	15
13h 30'	16,27	9,84	18	15
13h 40'	16,27	9,84	18,5	15
13h 50'	16,28	9,84	18,5	15
14h	16,34	9,84	18	15
14h 15'	16,40	9,84	18	15
14h 30'	16,51	9,84	18	15
14h 45'	16,60	9,84	18	15
15h	16,69	9,84	18	15
15h 15'	16,69	9,84	18	15
15h 20'	16,69	9,84	18	20
15h 20'	16,69	9,84	34	20
15h 25'	18,57	9,84	34	20
15h 30'	18,97	9,84	34	20
15h 35'	19,15	9,84	34	20
15h 40'	19,67	9,84	34	20

HEURE	Δ	N.S	PITOT	DEBIT
15h 45'	19,76	9,84	34	20
15h 50'	19,96	9,84	34	20
15h 55'	20,07	9,84	34	20
16h	20,27	9,84	34	20
16h 05'	20,38	9,84	34	20
16h 10'	20,52	9,84	34	20
16h 15'	20,54	9,84	34	20
16h 20'	20,58	9,84	34	20
16h 30'	20,80	9,84	34	20
16h 40'	20,95	9,84	34	20
16h 50'	21,06	9,84	34	20
17h	21,09	9,84	34	20
17h 10'	21,15	9,84	34	20
17h 20'	21,17	9,84	34	20
17h 30'	21,22	9,84	34	20
17h 40'	21,30	9,84	34	20
17h 50'	21,33	9,84	34	20
18h	21,31	9,84	33	20
18h 15'	21,37	9,84	33	20
18h 30'	21,45	9,84	33	20
18h 45'	21,54	9,84	32	20
19h	21,48	9,84	32	20
19h 15'	21,49	9,84	32	20
19h 30'	21,57	9,84	32	20
19h 45'	21,58	9,84	31	20
20h	21,58	9,84	31	20
20h 15'	21,63	9,84	31	20
20h 20'	21,62	9,84	31	20
20h 25'	23,87	9,84	54	25
20h 30'	24,46	9,84	54	25
20h 35'	25,86	9,84	54	25
20h 40'	23,33	9,84	36	20
20h 45'	23,19	9,84	36	20
20h 50'	23,26	9,84	36	20
20h 55'	23,19	9,84	36	20
21h	23,21	9,84	36	20
21h 05'	23,15	9,84	36	20
21h 10'	23,13	9,84	36	20
21h 15'	23,14	9,84	36	20
21h 20'	23,12	9,84	36	20

ESSAIS A PALIERS DIFFERENTS DANS F4. (suite) 1

HEURE	Δ	N.S	PITOT	DEBIT
21h30	23,10	9,84	36	20
21h40	23,11	9,84	36	20
21h50	23,03	9,84	36	20
22h	23,13	9,84	36	20
22h10	23,10	9,84	36	20
22h20	23,09	9,84	36	20
22h30	23,10	9,84	36	20
22h40	23,09	9,84	35	20
23h	23,09	9,84	35	20
23h15	23,11	9,84	35	20
23h30	23,12	9,84	35	20
23h45	23,15	9,84	35	20
24h	23,13	9,84	35	20
24h15	23,17	9,84	35	20
24h30	23,21	9,84	35	20
24h45	23,28	9,84	35	20
01h00	23,43	9,84	34	20
1h15	23,43	9,84	34	20
1h30	23,99	9,84	34	20
1h45	23,17	9,84	36	20
2h	24,15	9,84	36	20
2h15	24,26	9,84	36	20
2h30	24,26	9,84	36	20
2h45	24,26	9,84	36	20
3h	24,26	9,84	36	20
3h15	24,24	9,84	36	20
3h30	24,25	9,84	36	20
3h45	24,24	9,84	36	20
4h	24,30	9,84	36	20
4h15	24,32	9,84	36	20
4h30	24,30	9,84	36	20
4h45	24,33	9,84	35	20
5h	24,33	9,84	35	20
5h15	24,29	9,84	35	20
5h30	24,24	9,84	37	20
5h45	24,37	9,84	35	20
6h	24,34	9,84	36	20
6h15	24,36	9,84	36	20
6h30	24,20	9,84	36	20
6h45	24,21	9,84	36	20

HEURE	Δ	N.S	PITOT	DEBIT
7h00	24,20	9,84	36	20
7h15	24,15	9,84	36	20
7h30	24,10	9,84	36	20
7h45	24,19	9,84	36	20
8h	24,10	9,84	36	20
8h15	24,01	9,84	36	20
8h30	23,93	9,84	36	20
8h45	23,92	9,84	38	20
9h	23,91	9,84	38	20
9h15	23,84	9,84	38	20
9h30	23,83	9,84	38	20
9h45	23,82	9,84	38	20
10h	23,81	9,84	38	20
10h15	23,80	9,84	38	20
10h30	23,72	9,84	37	20
10h45	23,70	9,84	37	20
11h	23,64	9,84	34	20
11h15	23,60	9,84	37	20
11h30	23,97	9,84	40	20
11h45	23,54	9,84	40	20
12h	23,98	9,84	40	20
12h15	23,97	9,84	39	20
12h30	23,97	9,84	39	20
12h45	23,97	9,84	40	20
13h	24,40	9,84	43	22
13h15	24,48	9,84	43	22
13h30	24,54	9,84	43	22
13h45	24,59	9,84	43	22
14h	24,57	9,84	43	22
14h15	24,64	9,84	43	22
14h30	24,71	9,84	43	22
14h45	24,71	9,84	43	22
15h	24,06	9,84	47	23
15h15	24,41	9,84	47	23
15h30	24,42	9,84	47	23
15h45	24,43	9,84	47	24
16h	24,54	9,84	48	24
16h15	24,58	9,84	48	24
16h30	24,60	9,84	48	24
16h45	24,63	9,84	48	24

ESSAIS A PALIERS DIFFERENTS DANS F4. Suite 2

HEURE	Δ	N.S	PITOT	DEBIT
17h	24,42	9,84	49	24
17h30'	25,26	9,84	49	24
18h	25,25	9,84	51	24
18h30'	24,88	9,84	51	24
19h	24,78	9,84	50	24
19h30'	24,70	9,84	50	24
20h	24,77	9,84	50	24
20h30'	24,91	9,84	50	24
21h	24,84	9,84	50	24
21h30'	24,91	9,84	50	24
22h	24,86	9,84	50	24
22h30'	24,77	9,84	50	24
23h	24,73	9,84	50	24
23h30'	24,74	9,84	50	24
24h	24,75	9,84	50	24
24h30'	24,73	9,84	50	24
1h	24,75	9,84	50	24
1h30'	24,77	9,84	50	24
2h	24,76	9,84	50	24
2h30'	24,76	9,84	50	24
3h	24,80	9,84	50	24
3h30'	24,84	9,84	50	24
4h	24,77	9,84	50	24
4h30'	24,83	9,84	50	24
5h	24,97	9,84	50	24
5h30'	24,99	9,84	50	24
6h	24,84	9,84	50	24
6h30'	24,85	9,84	50	24
7h	24,80	9,84	50	24
7h30'	24,82	9,84	50	24
8h	24,72	9,84	50	24

## 1. PRESENTATION

1.1 coordonnées:  
 $x = 538,300 \text{ m}$   
 $y = 379,220 \text{ m}$   
 $z = 10 \text{ m}$

## 1.2 Description et dimensions:

- ce forage a une profondeur de 80m et comprend:
- un diamètre de 24" constant sur toute la profondeur
  - deux crépines à persiennes ou chemisages dont:
    - une de 16"
    - une de 12"

## 1.3 Constitution du sol (voir coupe)

## 2. ESSAIS EFFECTUÉS: il ya :

- un essai à blanc où on a relevé les rabattements en fonction du débit
- un essai de descente avec observations dans  $F_4$ .
- un essai de remontée avec observations dans  $F_4$ .
- un essai de descente avec observations dans  $F_3$
- un essai de remontée avec observations dans  $F_3$
- un essai à différents paliers.

## 3. TRACE DES COURBES CARACTÉRISTIQUES:

Sur les figures ci-après nous trouvons:

- une courbe  $\Delta = f(Q)$
- une courbe de descente  $\Delta = f(\log t)$  avec observations dans  $F_4$
- une courbe de remontée  $\Delta = f(\log t_f)$  avec observations dans  $F_4$
- une courbe de descente  $\Delta = f(\log t)$  avec observations dans  $F_3$
- une courbe de remontée  $\Delta = f(\log t_f)$  avec observations dans  $F_3$
- une courbe  $\Delta = f(\log t)$  à paliers différents ( $Q$  variable).

## 4. EXPLOITATION DES COURBES CARACTÉRISTIQUES:

### 4.1 courbe $\Delta = f(Q)$ : elle donne:

- un débit maximum  $Q_{\max} = 35 \text{ m}^3/\text{h}$
- un rabattement maximum  $\Delta_{\max} = 8,5 \text{ m}$

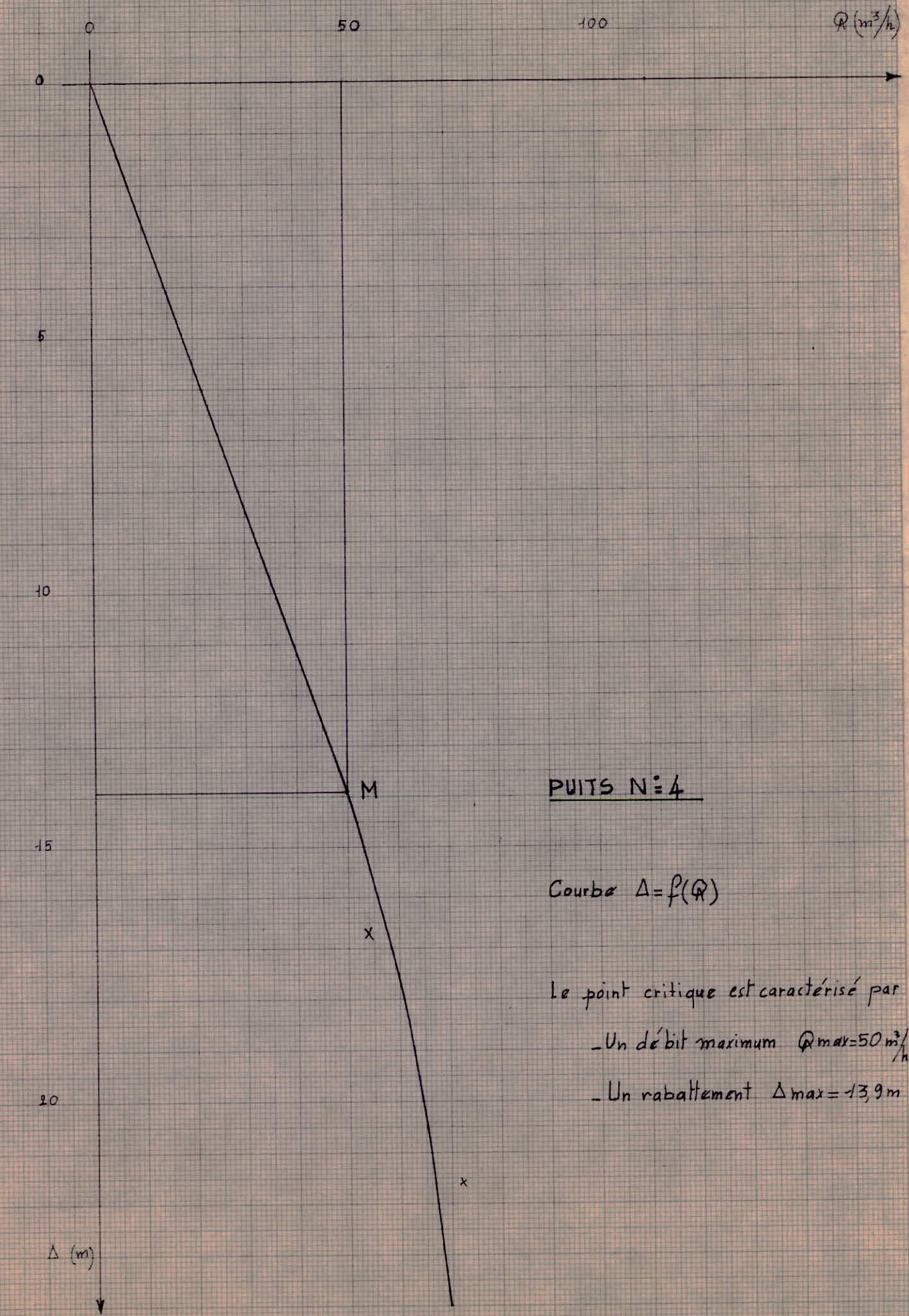
le débit de pompage au cours de l'essai de descente est  $22,2 \text{ l/s}$ .  
Si ce débit est égal au débit d'exploitation du forage, nous avons  
 $Q_{\exp} = 22,2 \text{ l/s}$ . ce qui donne.

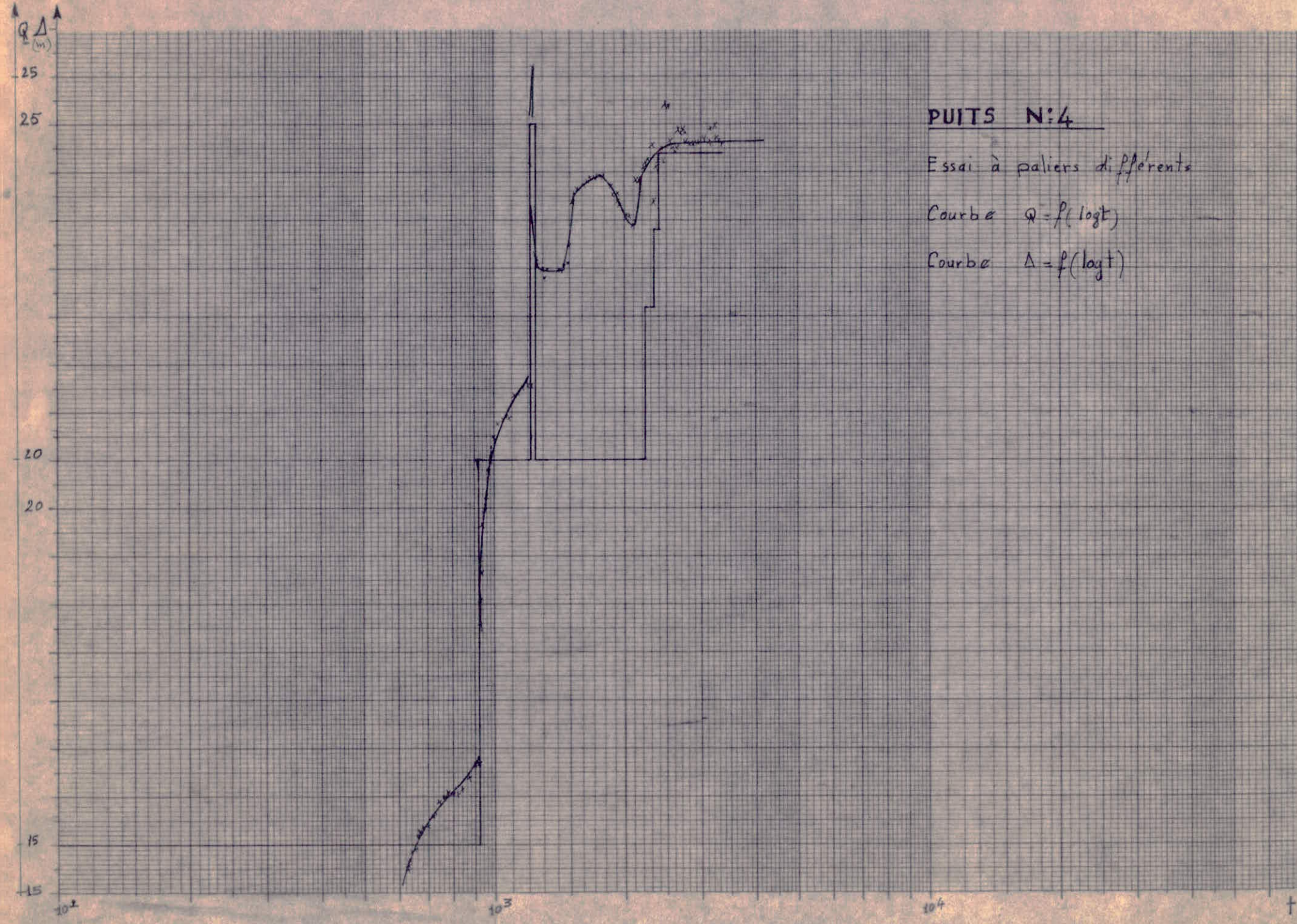
$$Q_{\exp} = \frac{22,2 \times 3600}{10^3} = 79,92$$

$$\rightarrow Q_{\exp} = 80 \text{ m}^3/\text{h}$$

nous déduisons que ce forage est exploité à un débit supérieur au débit maximum<sup>donné</sup> par la courbe caractéristique. En effet:

$$Q_{\exp} = 80 \text{ m}^3/\text{h} \geq Q_{\max} = 35 \text{ m}^3/\text{h}$$





cependant, il faut préciser que la courbe  $A = f(Q)$  est quelque peu imprécise vu le nombre restreint des points qui la constituent.

#### 4.2 Courbe de descente $S = f(\log t)$ avec observation dans $F_4$ :

elle présente une pente unique. On remarque cependant un saut qui traduit une augmentation brusque du rabattement, ainsi qu'un début de courbe assez irrégulier et dont il est impossible de tenir compte dans les calculs.

#### 4.3 Courbe $S = f(\log t/t')$ avec observation dans $F_4$ :

elle se présente sous la forme d'une droite et justifie la forme linéaire de son équation.

#### 4.4 Courbe de descente $S = f(\log t)$ avec observation dans $F_3$ :

là aussi, nous observons une forme linéaire, ce qui justifie donc la forme linéaire de son équation.

#### 4.5 Courbe de remontée $S = f(\log t/t')$ avec observation dans $F_3$ :

nous pouvons dissocier cette courbe en deux droites de différente pente. au début de pompage, nous distinguons une diminution du rabattement qui traduit un apport d'eau.

### 5. CALCUL DE LA TRANSMISSIVITÉ ( $T$ ) ET DU COEFFICIENT D'EMMAGASINEMENT ( $s$ ):

#### 5.1 Cas de la descente avec observation dans $F_4$ :

##### 5.1.1 Calcul de la transmissivité ( $T$ )

$$Td = \frac{0,183 Q}{cd}$$

$$cd = 8,9 - 7,1 = 1,8$$

$$Q = 22,2 \text{ l/s}$$

d'où

$$Td = \frac{0,183 \cdot 22,2 \cdot 10^{-3}}{1,8} = 2,26 \cdot 10^{-3}$$

$$\rightarrow cd = 1,8 \text{ m}$$

$$\rightarrow Q = 22,2 \cdot 10^{-3} \text{ m}^3/\text{s}$$

$$\rightarrow Td = 2,26 \cdot 10^{-3} \text{ m}^2/\text{s}$$

##### 5.1.2 Calcul du coefficient d'emmagasinement ( $s$ )

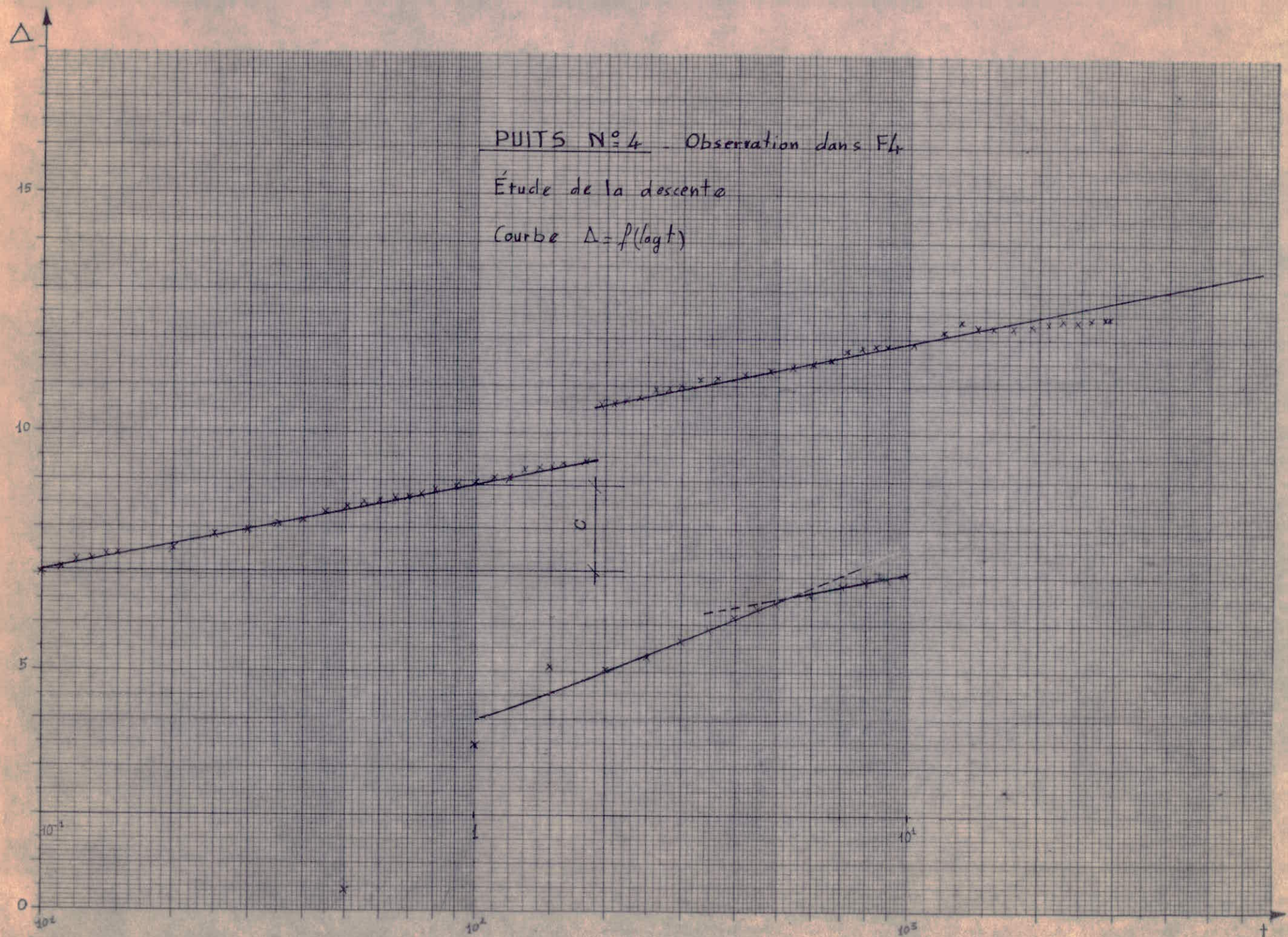
$$sd = \frac{2,25 T \cdot t_0}{(x_{4-4})^2}$$

$$- Td = 2,26 \cdot 10^{-3} \text{ m}^2/\text{s}$$

-  $t_0$ :

comme nous l'avons vu plus haut, on a:

$$\log t_0 = \log t_2 - \frac{\Delta z}{cd}$$

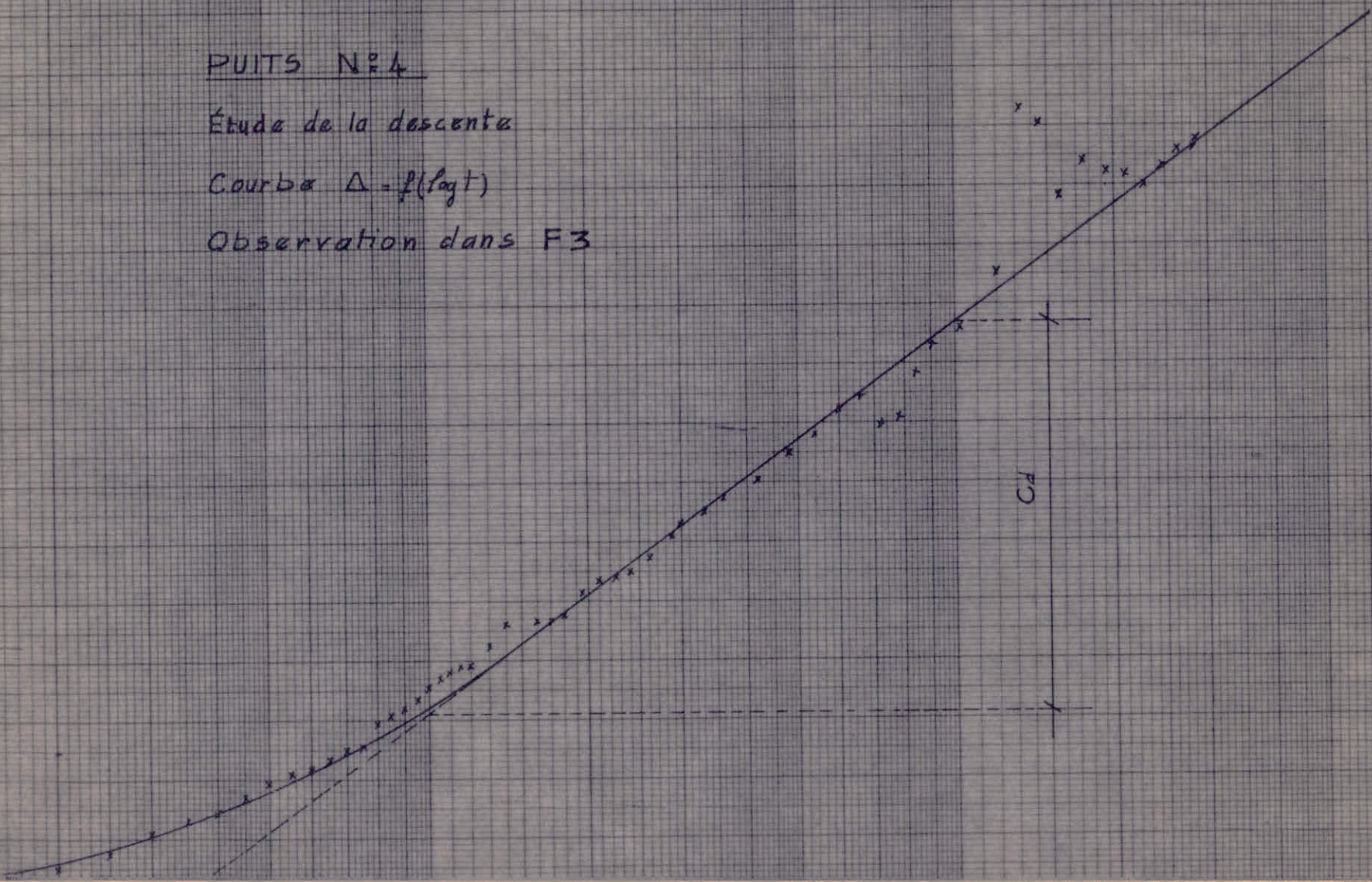


PUITS N°4

Étude de la descente

Courbe  $\Delta = f(\log t)$

Observation dans F3



$$\left. \begin{array}{l} \log t_2 = \log 10^2 = 2 \\ d_2 = 8,9 \text{ m} \\ cd = 1,8 \text{ m} \end{array} \right\} \log t_0 = 2 - \frac{8,9}{1,8} = -2,944$$

$$\log t_0 = -2,944 \rightarrow t_0 = 0,0011 \text{ mn}$$

$$t_0 = 0,0011 \times 60 = 0,066 \rightarrow t_0 = 0,066 \text{ s}$$

$x_{4-4}$  est le rayon du forage car les relevés ont été effectués dans  $F_4$  même.

$$x_{4-4} = \frac{24''}{2} = 12'' = 12 \times 25,4 \cdot 10^{-3} \text{ m} \rightarrow x_{4-4} = 0,305 \text{ m}$$

$$Sd = \frac{2,25 \cdot 2,26 \cdot 10^{-3} \cdot 0,066}{(0,305)^2} = \underline{\underline{Sd = 3,61 \cdot 10^{-3}}}$$

### 5.2 Cas de remontée avec observation dans $F_4$ :

#### 5.2.1 Calcul de la transmissivité:

$$Tr = \frac{0,183 Q}{cr}$$

$$Cr = 4,700 - 2,966 = 1,734$$

$$\rightarrow Cr = 1,734 \text{ m}$$

$$Q = 22,2 \text{ l/s}$$

$$\rightarrow Q = 22,2 \cdot 10^{-3} \text{ m}^3/\text{s}$$

d'où

$$Tr = \frac{0,183 \cdot 22,2 \cdot 10^{-3}}{1,734} = 2,34 \cdot 10^{-3}$$

$$\rightarrow Tr = 2,34 \cdot 10^{-3} \text{ m}^2/\text{s}$$

#### 5.2.2 Transmissivité moyenne pour $F_4$ avec observations dans $F_4$ :

$$T_{4-4} = \frac{Tr + Td}{2} = \frac{2,26 \cdot 10^{-3} + 2,34 \cdot 10^{-3}}{2} = 2,3 \cdot 10^{-3}$$

$$\rightarrow T_{4-4} = 2,3 \cdot 10^{-3} \text{ m}^2/\text{s}$$

#### 5.2.3 Coefficient d'emmagasinement moyen pour $F_4$ avec observation dans $F_4$ :

$$S_{4-4} = Sd = 3,61 \cdot 10^{-3}$$

$$\rightarrow Sd = 3,61 \cdot 10^{-3}$$

### 5.3 Cas de la descente avec observation dans $F_3$ :

#### 5.3.1 Calcul de la transmissivité:

$$Td = \frac{0,183 Q}{cd}$$

$$cd = 1,940 - 0,620 = 1,320$$

$$\rightarrow cd = 1,320 \text{ m}$$

$$Q = 22,2 \text{ l/s}$$

$$\rightarrow Q = 22,2 \cdot 10^{-3} \text{ m}^3/\text{s}$$

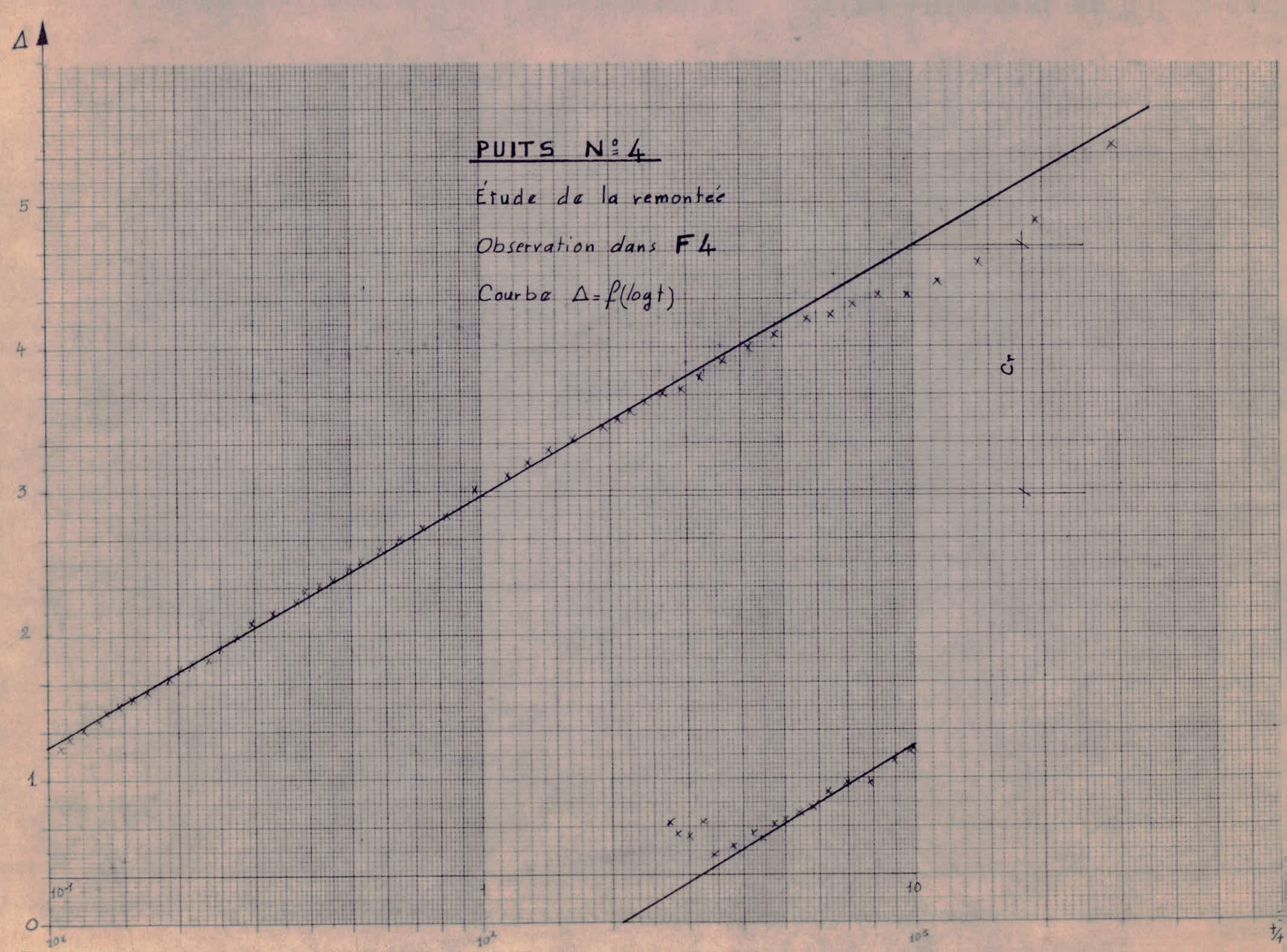
d'où

$$Td = \frac{0,183 \cdot 22,2 \cdot 10^{-3}}{1,320}$$

$$\rightarrow Td = 3,08 \cdot 10^{-3} \text{ m}^2/\text{s}$$

#### 5.3.2 Calcul du coefficient d'emmagasinement:

$$Sd = \frac{3,25 Td \cdot t_0}{(x_{4-4})^2}$$

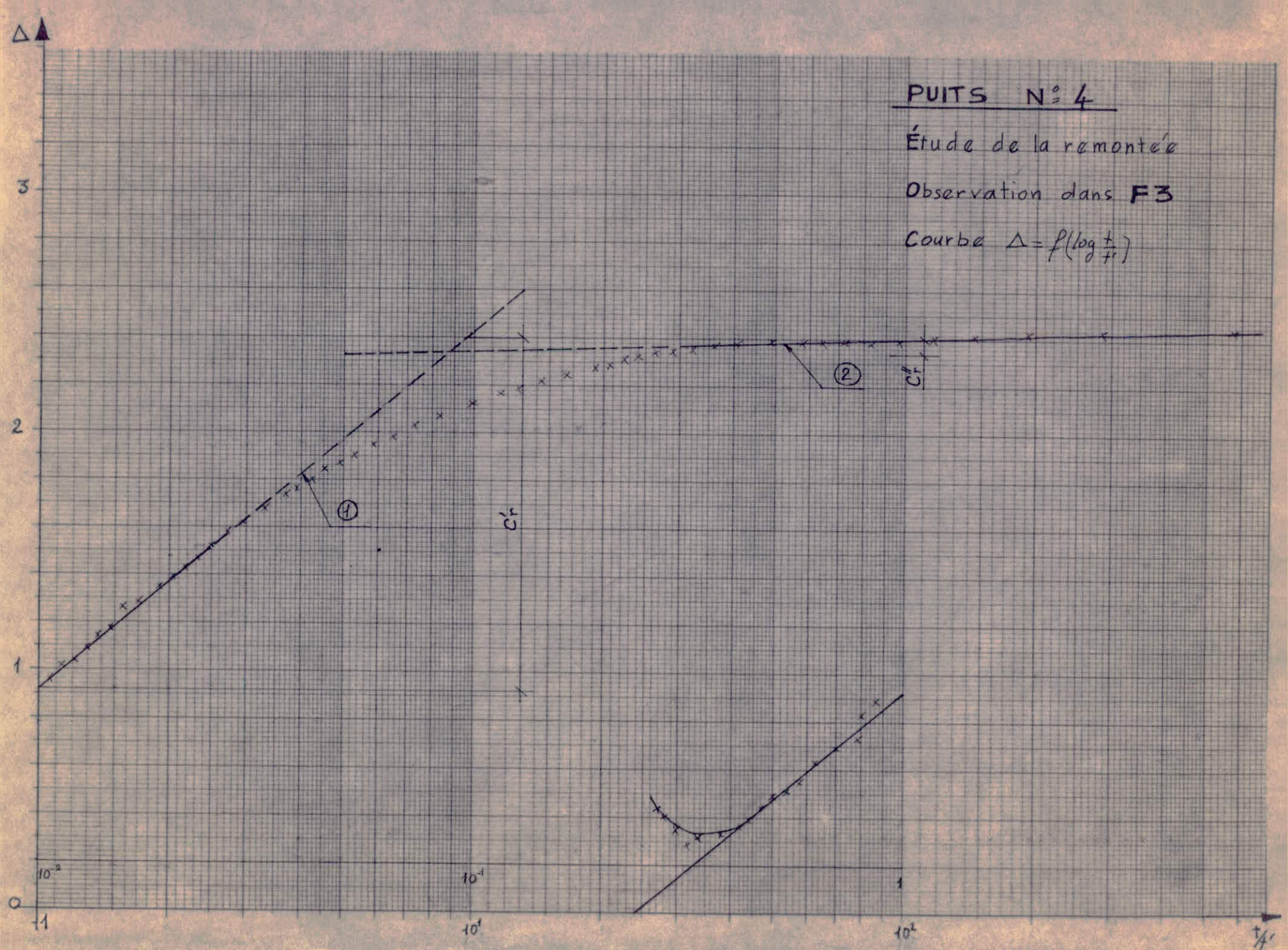


PUITS N° 4

Étude de la remontée

Observation dans F3

$$\text{Courbe } \Delta = f(\log \frac{t}{T_r})$$



$$T_d = 3,08 \cdot 10^{-3} \text{ m}^2/\text{s}$$

$x_{43} = 215,5 \text{ m}$  ( relevé sur la courbe)

$t_0 = 34 \text{ mn}$  (obtenu par lecture)

$$t_0 = 34 \times 60 = 2040 \text{ s}$$

d'où,

$$S_d = \frac{2,25 \cdot 3,08 \cdot 10^{-3} \cdot 2040}{(215,5)^2} = 3 \cdot 10^{-4}$$

$$\rightarrow t_0 = 2040 \text{ s}$$

$$\rightarrow S_d = 3 \cdot 10^{-4}$$

#### 5.4 Cas de la remontée avec observations dans F3 :

##### 5.41 Calcul de la transmissivité :

$$Tr = \frac{0,183 Q}{Cr}$$

##### 5.411 d'après la droite ①

$$Cr' = 2,40 - 0,92 = 1,48$$

$$Q = 22,2 \text{ l/s}$$

d'où

$$Tr' = \frac{0,183 \times 22,2 \cdot 10^{-3}}{1,48} = 2,75 \cdot 10^{-3}$$

$$\rightarrow Cr' = 1,48 \text{ m}$$

$$\rightarrow Q = 22,2 \cdot 10^{-3} \text{ m}^3/\text{s}$$

$$\rightarrow Tr' = 2,75 \cdot 10^{-3} \text{ m}^2/\text{s}$$

##### 5.412 d'après la droite ②

$$Cr'' = 2,4 - 2,34 = 0,06$$

$$Q = 22,2 \text{ l/s}$$

d'où

$$Tr'' = \frac{0,183 \times 22,2 \cdot 10^{-3}}{0,06} = 67,71 \cdot 10^{-3}$$

$$\rightarrow Cr'' = 0,06 \text{ m}$$

$$\rightarrow Q = 22,2 \cdot 10^{-3} \text{ m}^3/\text{s}$$

$$\rightarrow Tr'' = 67,71 \cdot 10^{-3} \text{ m}^2/\text{s}$$

##### 5.413 Transmissivité moyenne pour cette remontée dans F4 :

$$Tr = \frac{Tr' + Tr''}{2} = \frac{2,75 \cdot 10^{-3} + 67,71 \cdot 10^{-3}}{2} = 35,23 \cdot 10^{-3}$$

$$\rightarrow Tr = 35,23 \cdot 10^{-3} \text{ m}^2/\text{s}$$

##### 5.42 Transmissivité moyenne pour F4 avec observation dans F3 :

$$T_{4-3} = \frac{T_d + Tr}{2} = \frac{3,08 \cdot 10^{-3} + 35,23 \cdot 10^{-3}}{2} = 19,16 \cdot 10^{-3}$$

$$\rightarrow T_{4-3} = 19,16 \cdot 10^{-3} \text{ m}^2/\text{s}$$

##### 5.43 Coefficient d'emmagasinement moyen pour F4 avec observation dans F3 :

$$S_{4-3} = S_d = 3 \cdot 10^{-4}$$

$$\rightarrow S_{4-3} = 3 \cdot 10^{-4}$$

##### 5.5 Transmissivité moyenne pour le forage SONIC F4 :

$$T_4 = \frac{T_{4-4} + T_{4-3}}{2} = \frac{2,30 \cdot 10^{-3} + 19,16 \cdot 10^{-3}}{2} = 10,73 \cdot 10^{-3}$$

$$\rightarrow T_4 = 10,73 \cdot 10^{-3} \text{ m}^2/\text{s}$$

##### 5.6 Coefficient d'emmagasinement moyen pour le forage SONIC F4 :

$$S_4 = \frac{S_{4-4} + S_{4-3}}{2} = \frac{3,61 \cdot 10^{-3} + 3 \cdot 10^{-4}}{2} =$$

$$\rightarrow S_4 = 1,69 \cdot 10^{-3}$$

E. RAPPORT SUR FORAGE SONIC N°6.

## SONDAGE

SONIC F6 (EL HARRACH)

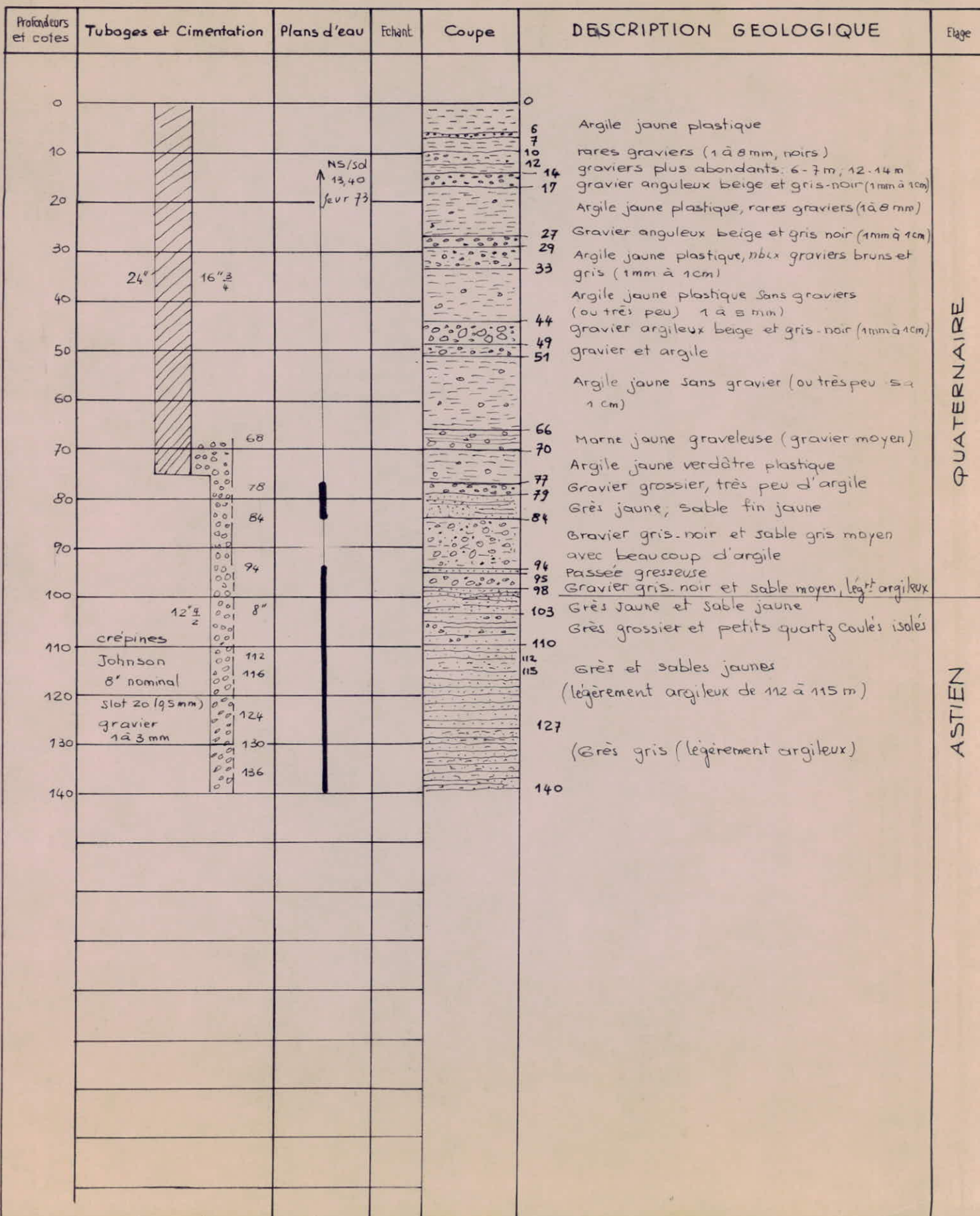
Carte:

EL ARBA 1-2 1/25 000<sup>e</sup>

Date des travaux: 15 Déc. 72 - 10 fevr. 1973

Echelle de la coupe: 1/1000

Long.: ..... X = 538,850

Latit.: ..... Y = 378,000 Z = 12 m  
(carte)

ESSAI A BLANC DANS F6.

$Q \text{ l/s}$	$\varphi \text{ m}^3/\text{h}$	$\Delta \text{ (m)}$	DURÉE
10 à 11	36 à 39,6	9,4	4 h
15 à 16,6	54 à 59,76	23,5	4 h
18	64,8	33,5	1 h

ESSAI DE DESCENTE DANS F6.

TEMPS (mn)	$\Delta$ DANS FORAGE F6	$\Delta$ DANS PIEZO F5	DEBIT QL/A
30"	4,70	0,00	15,9
1'	8,08	0,00	15,9
1'30"	11,69	0,00	15,9
2'	14,08	0,00	15,9
2'30"	15,75	0,00	15,9
3'	17,12	0,00	15,9
3'30"	17,76	0,00	15,9
4'	18,38	0,00	15,9
4'30"	19,00	0,00	15,9
5'	19,19	0,00	15,9
6'	19,57	0,00	15,9
7'	19,80	0,00	15,9
8'	20,02	0,00	15,9
9'	20,28	0,00	15,9
10'	20,58	0,00	15,9
11'	20,51	0,00	15,9
12'	20,70	0,00	15,9
13'	20,74	0,01	15,9
14'	21,20	0,01	15,9
15'	21,32	0,01	15,9
17'30"	22,64	0,015	15,9
20'	24,85	0,015	15,9
22'30"	26,36	0,02	15,9
25'	29,72	0,02	15,9
30'	31,00	0,02	21,1
35'	31,34	0,03	21,1
40'	31,50	0,035	20,7
45'	31,78	0,04	20,7
50'	31,87	0,045	20,7
55'	32,01	0,05	20,7
60'	32,46	0,055	20,7
65'	31,90	0,06	20,7
70'	31,91	0,07	20,7

TEMPS (mn)	$\Delta$ DANS FORAGE F6	$\Delta$ DANS PIEZO F5	DEBIT QL/A
75	32,08	0,08	20,7
80	32,33	0,085	20,7
90	32,45	0,095	20,7
100	32,25	0,115	20,7
110	32,07	0,13	20,7
120	32,82	0,145	20,7
130	32,78	0,155	20,7
140	32,74	0,165	20,7
150	32,77	0,185	20,7
160	32,88	0,205	20,7
180	32,41	0,21	20,7
195	32,62	0,225	20,7
210	32,74	0,28	20,7
225	32,45	0,30	20,7
240	32,12	0,34	20,7
260	32,62	0,36	20,7
280	31,33	0,41	20
300	31,69	0,44	20
330	31,51	0,505	20
360	32,02	0,52	20
420	31,85	0,60	20
480	32,01	0,70	20
540	33,14	0,73	20
600	32,70	0,80	20,7
660	33,50	0,86	21,2
720	32,67	0,875	21,7
780	32,36	0,91	22,2
840	33,15	0,95	21,9
900	34,12	1,03	21,5
1020	34,33	1,10	20,7
1180	34,83	1,16	20,7

ESSAI DE REMONTÉE DANS F6.

L'arrêt de pompage s'est fait au temps  $t_1 = 1180$  mn

TEMPS (mn)	$\Delta$ DANS FORAGE F6	$\Delta$ DANS PIEZO F5	$\frac{t_1}{t'}$	$\frac{t}{t'}$
0''	34,83	1,16		
30''	26,10	1,16	2560	2361
1'	20,94	1,16	1180	1181
1'30''	15,29	1,16	786,7	787,7
2'	13,63	1,16	590	591
2'30''	12,35	1,16	472	473
3'	10,04	1,16	393,3	394,3
3'30''	9,15	1,16	337,1	338,1
4'	8,37	1,16	295	296
4'30''	7,50	1,16	262,2	263,2
5'	6,83	1,16	236	237
6'	5,93	1,16	196,7	197,7
7'	5,46	1,16	168,6	169,6
8'	5,07	1,16	147,5	148,5
9'	4,80	1,16	130,1	131,1
10'	4,63	1,16	118	119
11'	4,48	1,16	107,3	108,3
12'	4,38	1,16	98,3	99,3
13'	4,28	1,16	90,8	91,8
14'	4,20	1,16	83,3	84,3
15'	4,12	1,16	77,7	78,7
17'30''	3,96	1,16	67,4	68,4
20'	3,87	1,16	59	60
22'30''	3,70	1,16	52,4	53,4
25'	3,61	1,16	47,2	48,2
30'	3,36	1,15	39,3	40,3
35'	2,99	1,15	33,8	34,8
40'	2,99	1,15	29,5	30,5
45'	2,86	1,10	26,2	27,2
50'	2,84	1,10	23,6	24,6
55'	2,72	1,09	21,5	22,5
60'	2,65	1,09	14,7	15,7

TEMPS (mn)	$\Delta$ DANS FORAGE F6	$\Delta$ DANS PIEZO F5	$\frac{t_1}{t'}$	$\frac{t}{t'}$
65'	2,57	1,09	18,2	19,2
70'	2,50	1,08	16,9	17,9
75'	2,47	1,07	15,7	16,7
80'	2,40	1,06	14,8	15,8
90'	2,25	1,05	13,1	14,1
100'	2,15	0,98	13,8	14,8
110'	2,02	0,96	10,7	11,7
120'	1,91	0,92	9,8	10,8
130'	1,81	0,89	9,1	10,1
140'	1,79	0,885	8,4	9,4
150'	1,70	0,87	7,9	8,9
160'	1,62	0,86	7,4	8,4
180'	1,63	0,86	6,6	7,6
195'	1,43	0,83	6,1	7,1
210'	1,37	0,79	5,6	6,6
225'	1,29	0,76	5,2	6,2
240'	1,25	0,72	4,9	5,9
260'	1,15	0,705	4,5	5,5
280'	1,09	0,68	4,2	5,2
300'	1,02	0,59	3,9	4,9
330'	0,90	0,56	3,6	4,6
360'	0,85	0,52	3,3	4,3
420'	0,65	0,41	2,8	3,8
480'	0,52	0,33	2,5	3,5
540'	0,39	0,28	2,2	3,2
600'	0,29	0,26	2	3
660'	0,20	0,22	1,8	2,8
720'	0,13	0,19	1,7	2,7
780'	0,08	0,145	1,5	2,5
840'	0,05	0,09	1,4	2,4
900'	0,03	0,075	1,3	2,3
1020'				
1180'				

## 1. PRESENTATION

1.1 coordonnées:  
 $x = 538,850 \text{ m}$   
 $y = 378,000 \text{ m}$   
 $z = 12,000 \text{ m}$

## 1.2 Description et dimensions:

Ce forage est profond de 140m et comprend:

- un diamètre de 24" avec un chemisage de 18  $\frac{3}{4}$ " constant sur 75m
- un diamètre de 12  $\frac{1}{2}$ " avec un chemisage de 8" constant sur le restant de la profondeur, soit 65m.

## 1.3 Constitution du sol: (voir coupe du forage)

## 2. ESSAIS EFFECTUÉS: il ya...

- un essai à blanc où ont été notés les rabattements en fonction du débit.
- un essai de descente à débit variable avec observations dans F6 et F5.
- un essai de remontée avec observations dans F6 et F5.

## 3. TRACE DES COURBES CARACTÉRISTIQUES:

Sur les figures ci-après nous trouvons:

- une courbe  $D = f(Q)$
- une courbe de descente  $D = f(\log t)$  avec observations dans F6
- une courbe de descente avec observations dans F5
- une courbe de remontée avec observations dans F6
- une courbe de remontée avec observations dans F5

## 4. EXPLOITATION DES COURBES CARACTÉRISTIQUES:

### 4.1 Courbe $D = f(Q)$ elle donne:

- un débit maximum  $Q_{\max} = 40 \text{ m}^3/\text{h}$
- un rabattement maximum  $D_{\max} = 10 \text{ m}$

Le débit pris dans les essais varie de 15,9 l/s à 22,2 l/s ( $57,24 \text{ m}^3/\text{h}$  à  $79,92 \text{ m}^3/\text{h}$ )

Cela signifie que tout au long des essais, le débit maximum déterminé sur la courbe caractéristique a été dépassé.

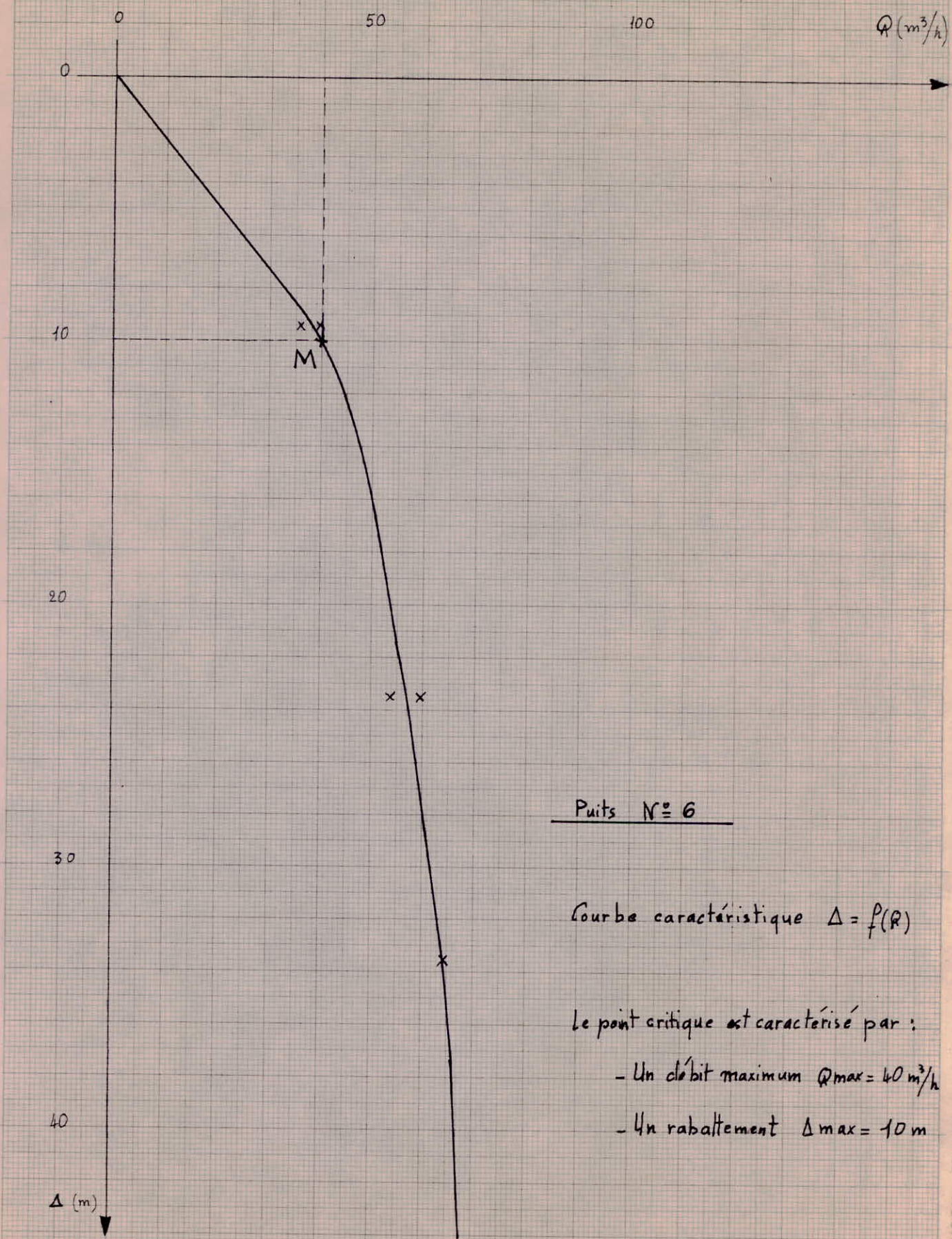
### 4.2 Courbe de descente avec observation dans F6:

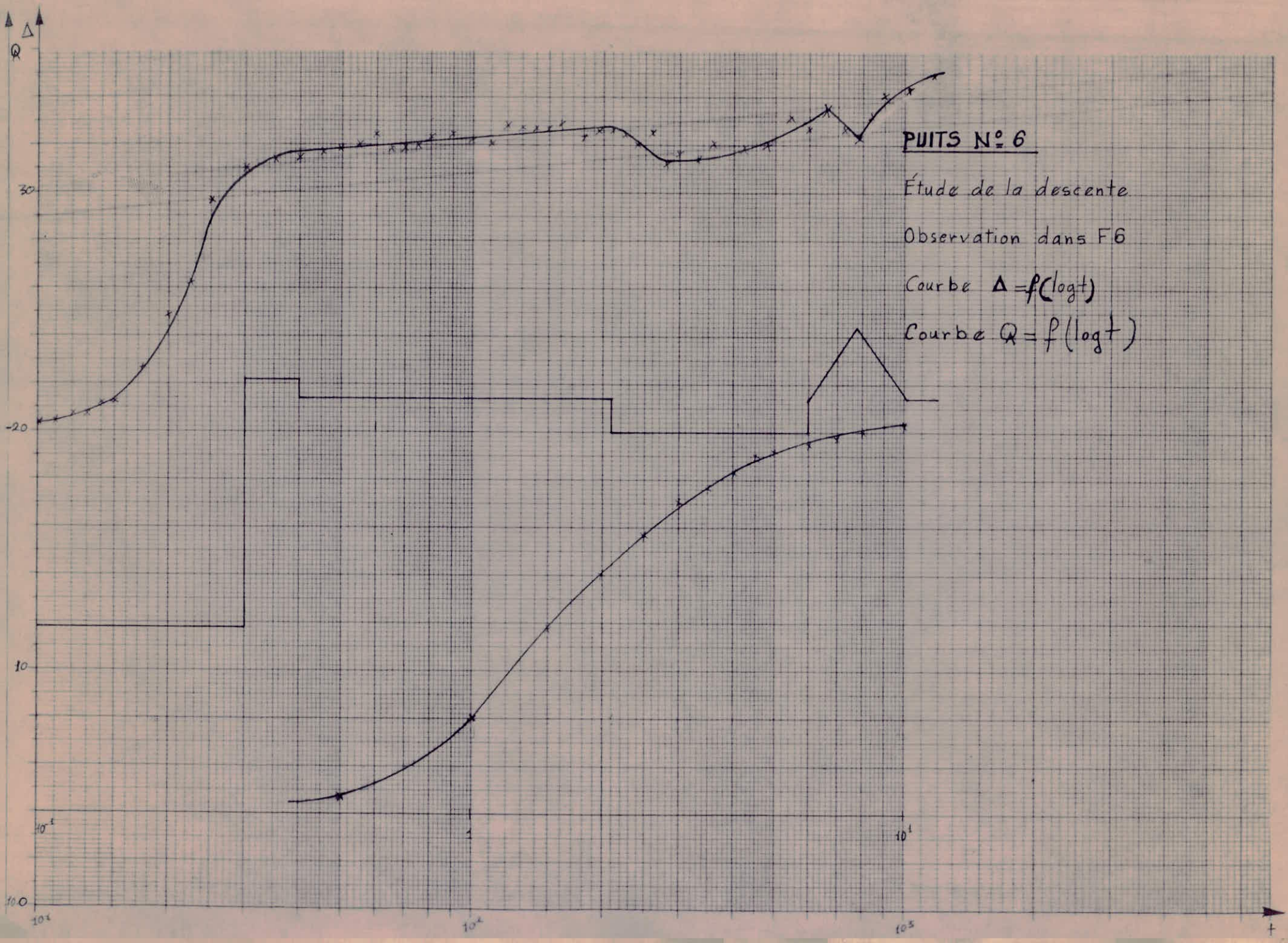
Cette courbe montre la variation du rabattement en fonction du temps, quand on fait varier le débit.

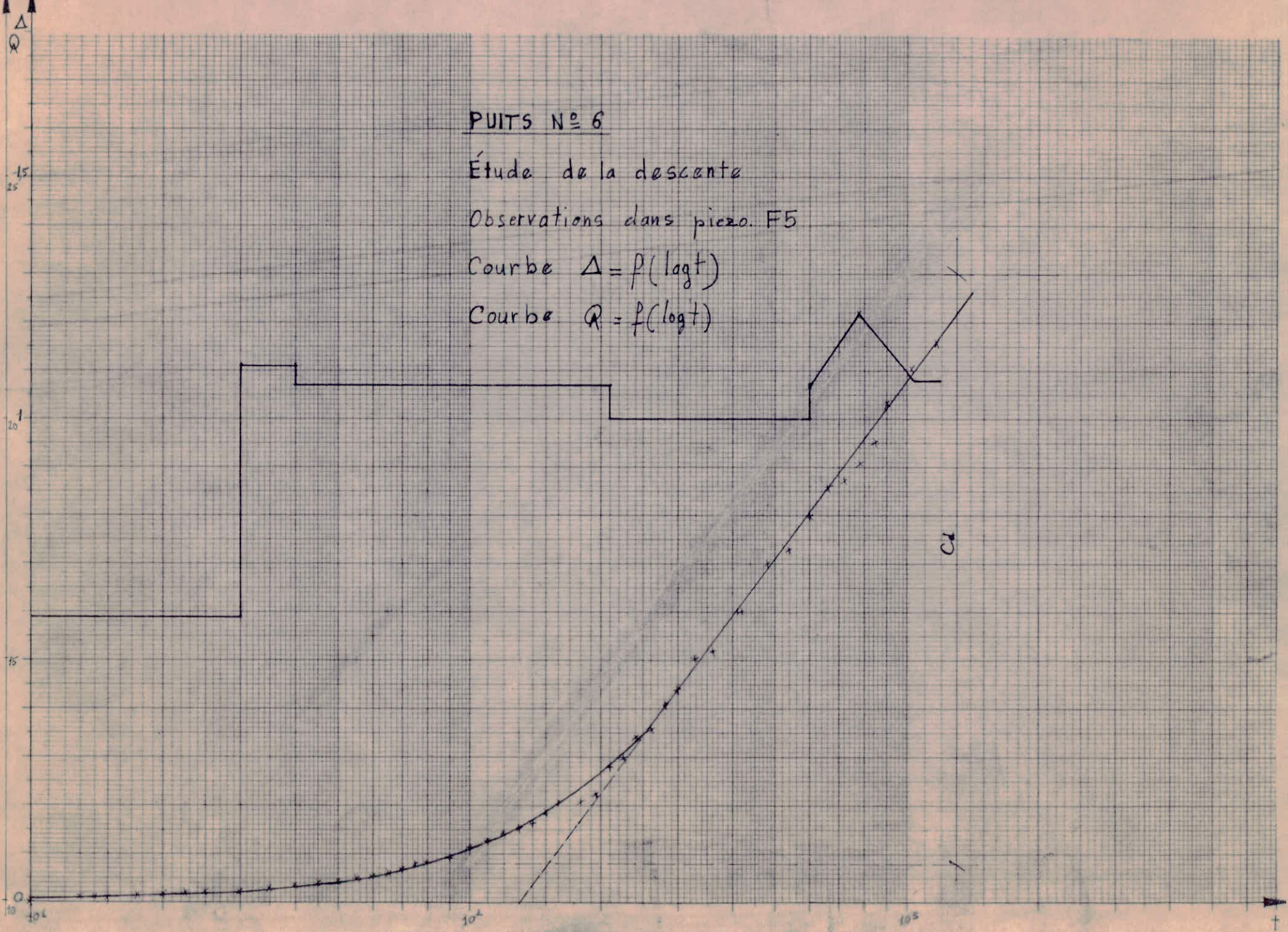
Nous remarquons que nous n'obtenons pas une forme linéaire. Et la raison est que le débit changeant trop rapidement, la nappe n'atteint pas son équilibre. Ainsi nous ne prendrons pas en considération cet essai pour les calculs qui suivront.

### 4.3 Courbe de remontée dans F6 avec observations dans F6:

Celle-ci se présente sous forme de deux droites de pente différente, et c'est à partir d'elle que nous calculerons les caractéristiques de ce forage et dans le cas présent où les observations ont été faites dans F6.







#### 4.4 courbe de descente dans F6 . observation dans F5 :

Ici, nous nous trouvons devant une forme régulière. Elle correspond donc à la forme théorique de son équation et les calculs qui en dépendent seront significatifs.

#### 4.5 courbe de remontée dans F6 avec observations dans F5 .

Elle se présente sous forme de deux droites de pente différente. Vers la fin de l'essai, nous constatons que le rabattement devient constant. Cela signifie que la nappe tend vers son équilibre jusqu'à atteindre le niveau statique.

### 5. CALCUL DE LA TRANSMISSIVITÉ (T) ET DU COEFFICIENT D'EMMAGASINEMENT (S) :

#### 5.1 Cas de la remontée avec observation dans F6 .

##### 5.1.1 Calcul de la transmissivité (T)

$$Tr = \frac{0,183 Q}{Cr}$$

###### 5.1.1.1 D'après la droite ①

$$\begin{aligned} Cr' &= 4,350 - 1,850 = 2,500 \\ Q &= 20,7 \text{ l/s} \\ \text{d'où} \\ Tr' &= \frac{0,183 \times 20,7 \cdot 10^{-3}}{2,5} = \end{aligned}$$

$$\begin{aligned} \rightarrow Cr' &= 2,5 \text{ m} \\ \rightarrow Q &= 20,7 \cdot 10^{-3} \text{ m}^3/\text{s} \\ \rightarrow Tr' &= 1,52 \cdot 10^{-3} \text{ m}^2/\text{s} \end{aligned}$$

###### 5.1.1.2 D'après la droite ②

$$\begin{aligned} Cr'' &= 17,7 - 0,1 = 17,6 \text{ m} \\ Q &= 20,7 \text{ l/s} \\ \text{d'où} \\ Tr'' &= \frac{0,183 \times 20,7 \cdot 10^{-3}}{17,6} = \end{aligned}$$

$$\begin{aligned} \rightarrow Cr'' &= 17,6 \text{ m} \\ \rightarrow Q &= 20,7 \cdot 10^{-3} \text{ m}^3/\text{s} \\ \rightarrow Tr'' &= 0,22 \cdot 10^{-3} \text{ m}^2/\text{s} \end{aligned}$$

###### 5.1.1.3 Transmissivité moyenne avec observations dans F6 :

$$Tr_6 = \frac{Tr' + Tr''}{2} = \frac{1,52 \cdot 10^{-3} + 0,22 \cdot 10^{-3}}{2} = 0,87 \cdot 10^{-3}$$

$$\rightarrow Tr_6 = 0,87 \cdot 10^{-3} \text{ m}^2/\text{s}$$

#### 5.2 Cas de la descente avec observations dans F5 .

##### 5.2.1 calcul de la transmissivité :

$$Td = \frac{0,183 Q}{cd}$$

$$\begin{aligned} cd &= 1,30 - 0,88 = 1,22 \\ Q &= 20,7 \text{ l/s} \\ \text{d'où} \\ Td &= \frac{0,183 \times 20,7 \cdot 10^{-3}}{1,22} = 3,11 \cdot 10^{-3} \end{aligned}$$

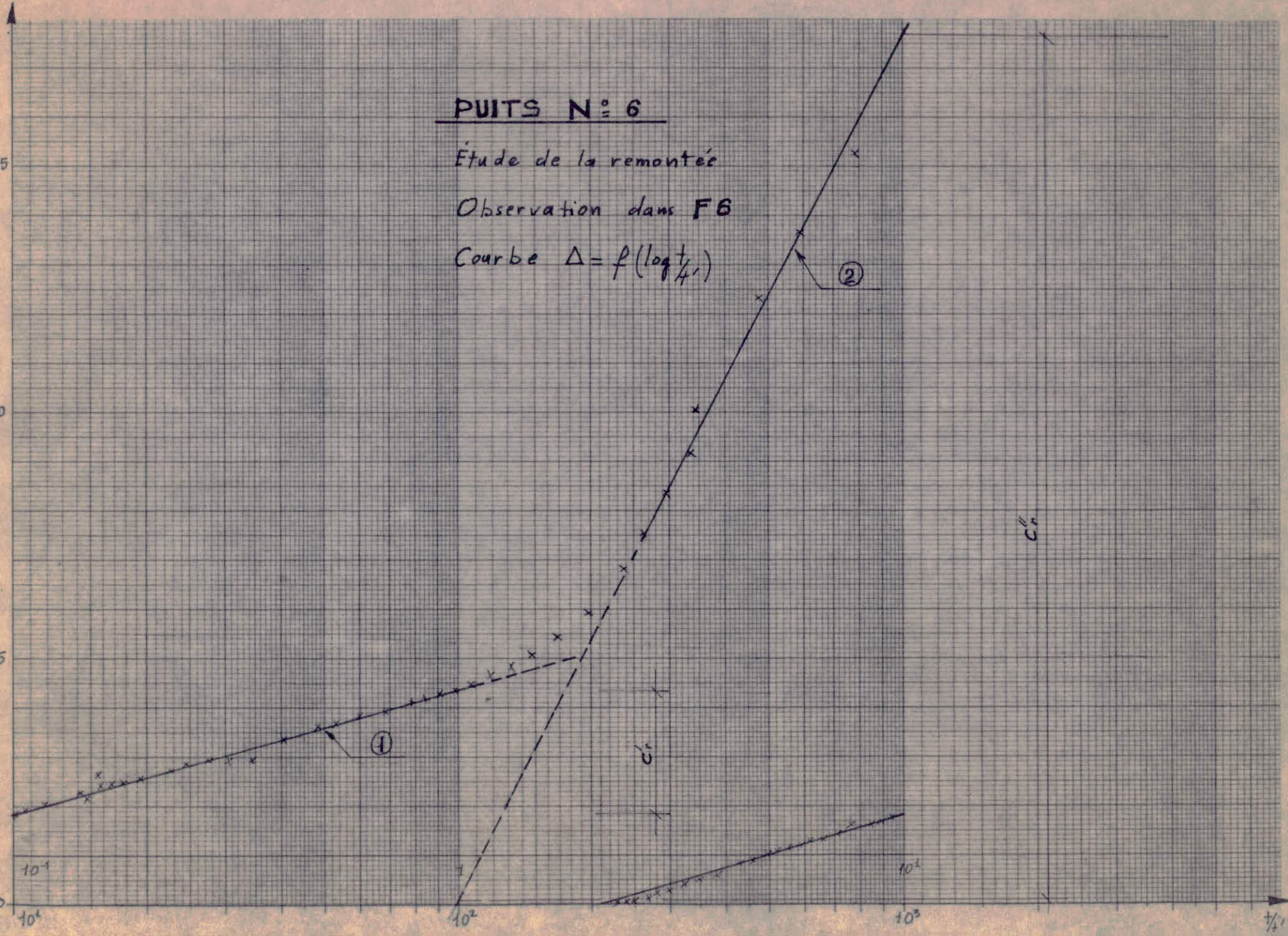
$$\begin{aligned} \rightarrow cd &= 1,22 \text{ m} \\ \rightarrow Q &= 20,7 \cdot 10^{-3} \text{ m}^3/\text{s} \\ \rightarrow Td &= 3,11 \cdot 10^{-3} \text{ m}^2/\text{s} \end{aligned}$$

## PUITS N° 6

Étude de la remontée

Observation dans F6

Courbe  $\Delta = f(\log \frac{t}{T_0})$

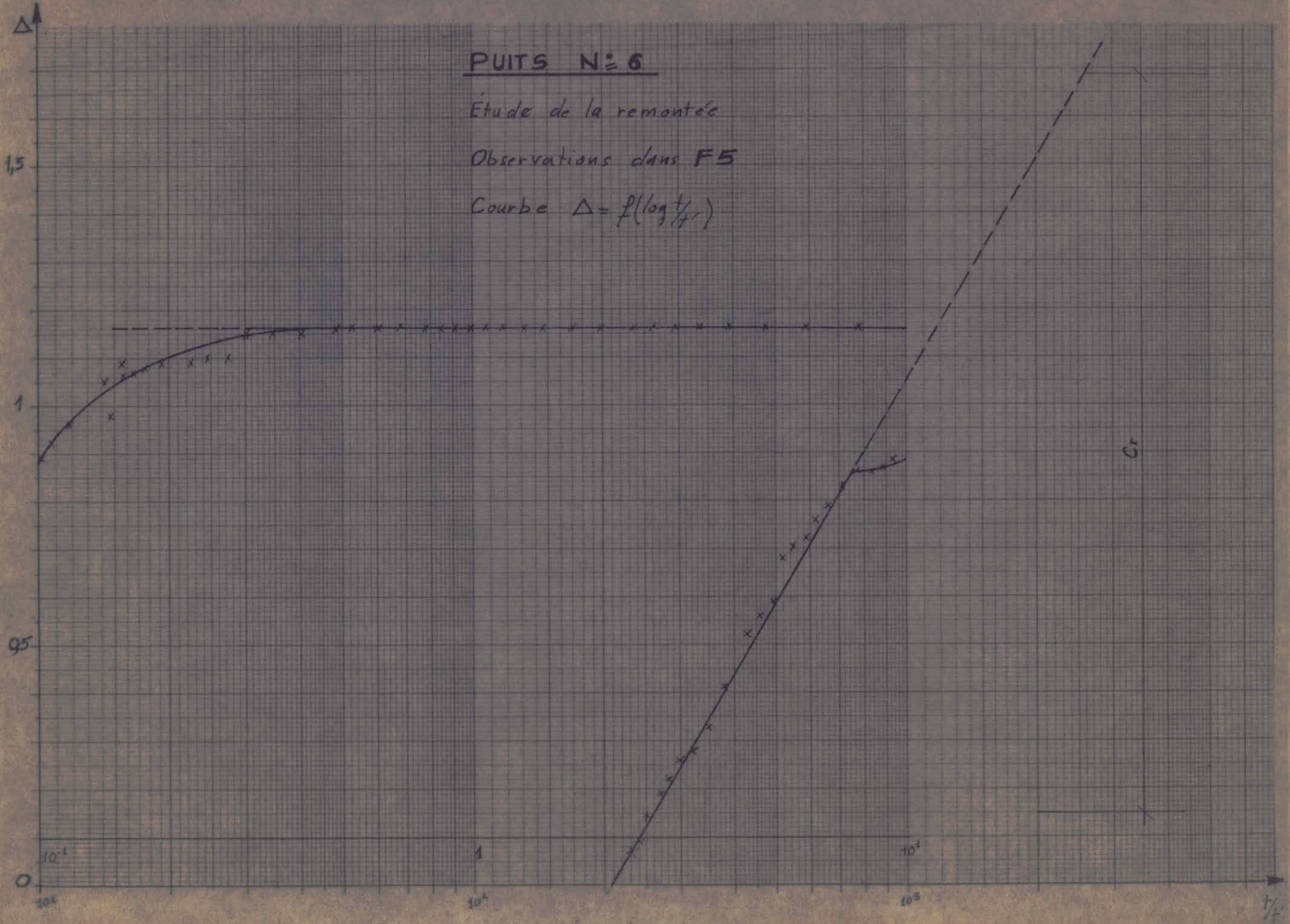


PUITS N° 6

Étude de la remontée

Observations dans F5

Courbe  $\Delta = f(\log \frac{t}{t_f})$



5.22 calcul du coefficient d'emmagasinement:

$$Sd = \frac{2,25 \cdot Td + t_0}{(x_{0-S})^2}$$

$$Td = 3,11 \cdot 10^{-3} \text{ m}^2/\text{s}$$

$$t_0 = 130 \text{ mn} \text{ (obtenu par lecture)} \rightarrow t_0 = 130 \times 60 \rightarrow$$

$$x_{0-S} = 14,5 \text{ mm} \text{ (Ech. 1/25000)}$$

d'où

$$Sd = \frac{2,25 \cdot 3,11 \cdot 10^{-3} \cdot 7800}{(362,50)^2} = 0,42 \cdot 10^{-3}$$

$$\rightarrow t_0 = 7800 \text{ s}$$

$$\rightarrow x_{0-S} = 362,50 \text{ m}$$

$$\rightarrow Sd = 0,42 \cdot 10^{-3}$$

5.3. Cas de la remontée avec observation dans F5:

5.3.1 Calcul de la transmissivité:

$$Tr = \frac{0,183}{Cr}$$

$$Cr = 1,69 - 0,15 = 1,54$$

$$Q = 20,7 \text{ l/s}$$

d'où

$$Tr = \frac{0,183 \cdot 20,7 \cdot 10^{-3}}{1,54} = 2,46 \cdot 10^{-3}$$

$$\rightarrow Cr = 1,54 \text{ m}$$

$$\rightarrow Q = 20,7 \cdot 10^{-3} \text{ m}^3/\text{s}$$

$$\rightarrow Tr = 2,46 \cdot 10^{-3} \text{ m}^2/\text{s}$$

5.32 Transmissivité moyenne avec observation dans F5:

$$T_{6-S} = \frac{Td + Tr}{2} = \frac{3,11 \cdot 10^{-3} + 2,46 \cdot 10^{-3}}{2} = 2,79 \cdot 10^{-3}$$

$$\rightarrow T_{6-S} = 2,79 \cdot 10^{-3} \text{ m}^2/\text{s}$$

5.33 Coefficient d'emmagasinement moyen avec observation dans F5:

$$G_{6-S} = Sd = 0,43 \cdot 10^{-3}$$

$$\rightarrow G_{6-S} = 0,43 \cdot 10^{-3}$$

5.4 Transmissivité moyenne pour F6:

$$T_6 = \frac{T_{6-S} + Tr}{2} = \frac{0,87 \cdot 10^{-3} + 2,79 \cdot 10^{-3}}{2} = 1,83 \cdot 10^{-3}$$

$$\rightarrow T_6 = 1,83 \cdot 10^{-3} \text{ m}^2/\text{s}$$

5.5 Coefficient d'emmagasinement pour F6:

$$S_6 = G_6 = 0,43 \cdot 10^{-3}$$

$$\rightarrow S_6 = 0,43 \cdot 10^{-3}$$

F. RAPPORT SUR FORAGE SONIC N°7

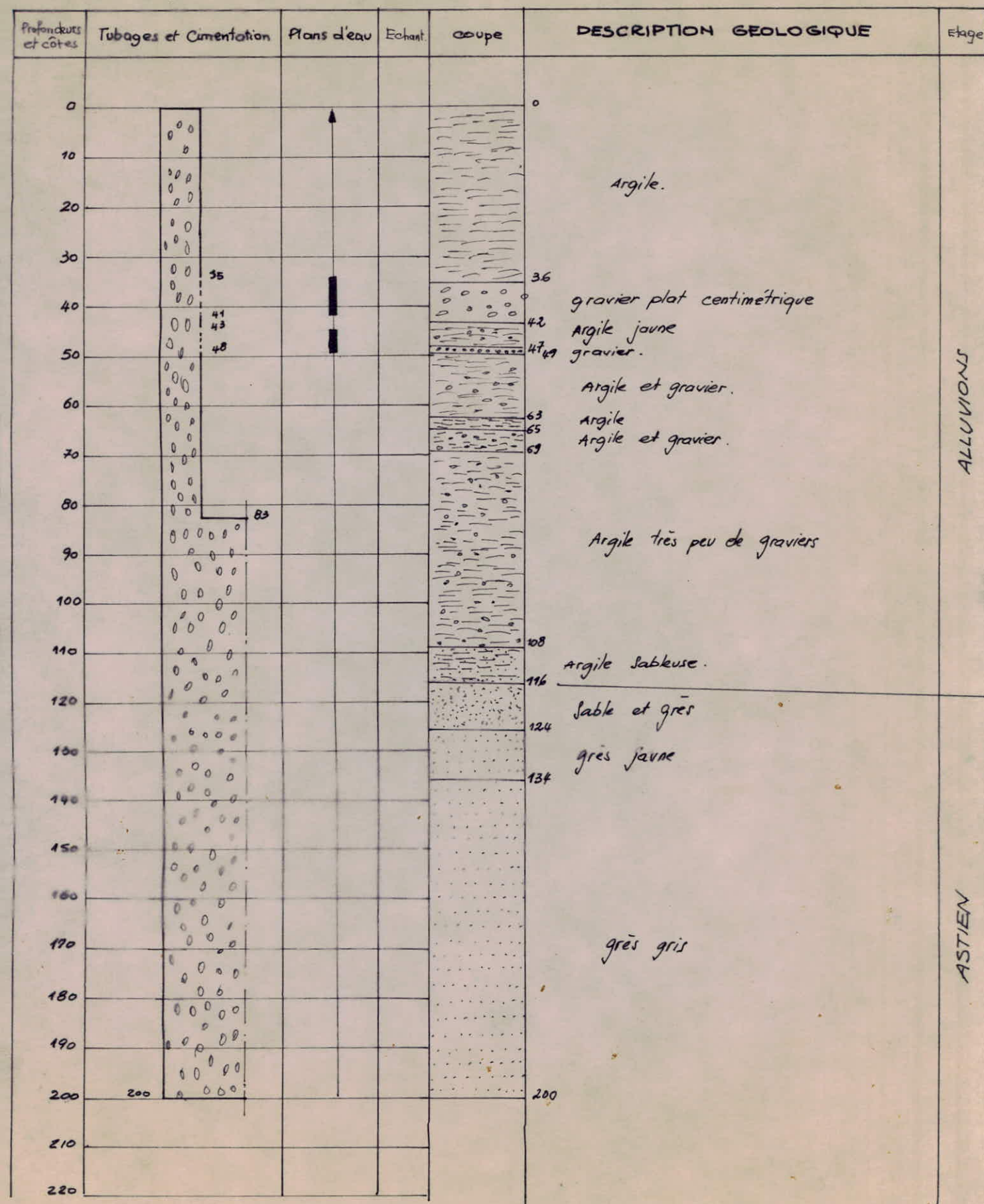
## SONDAGE

SONIC F.7

Carte: LARBAA

Date des travaux: MAI 1974

Echelle de la coupe: 1/250 000

Long: ... X = 538,5 m Z = 10m  
Latit: ... Y = 377,7 m

#### 1. PRESENTATION.

##### 1.1. coordonnées :

$$x = 538,7 \text{ m}$$

$$y = 377,7 \text{ m}$$

$$z = 10 \text{ m}$$

##### 1.2 Description et dimensions:

ce forage à un diamètre de 22" sur une profondeur de 200m. Cependant, il n'est équipé en chemise de 14" que sur 83 m, par suite d'un coincement dans les grès.

##### 1.3 Constitution du sol: (voir coupe)

#### 2. ESSAIS EFFECTUÉS: il y a:

- Un essai à blanc
- Un essai de descente à débit constant avec observations dans F<sub>5</sub>, F<sub>6</sub> et F<sub>7</sub>.
- Un essai de remontée avec observations dans F<sub>5</sub>, F<sub>6</sub> et F<sub>7</sub>.

#### 3. TRACÉ DES COURBES CARACTÉRISTIQUES:

Sur les figures ci-après nous trouvons.

- une courbe  $\Delta = f(R)$
- une courbe de descente avec observations dans F<sub>7</sub>
- une courbe de remontée avec observations dans F<sub>7</sub>
- une courbe de descente avec observations dans F<sub>5</sub>
- une courbe de remontée avec observations dans F<sub>5</sub>
- une courbe de descente avec observations dans F<sub>6</sub>
- une courbe de remontée avec observations dans F<sub>6</sub>

#### 4. EXPLOITATION DES COURBES CARACTÉRISTIQUES:

##### 4.1 Courbe $\Delta = f(R)$ elle donne.

- Un débit maximum  $Q_{\max} = 60 \text{ m}^3/\text{h}$
- Un rabattement maximum  $\Delta_{\max} = 10,1 \text{ m}$

Le débit d'exploitation étant  $Q_{\exp} = 25 \text{ l/s}$  soit  $90 \text{ m}^3/\text{h}$ , il apparaît que ce forage est exploité à un débit supérieur au débit maximum déterminé sur la courbe caractéristique.

##### 4.2 Courbe de descente avec observation dans F<sub>7</sub>:

Elle se présente sous une forme linéaire et nous permettra d'obtenir de bons résultats, dans la mesure où elle supprime les erreurs de construction de la courbe.

Cependant, en ce qui concerne le coefficient d'émagasinement, la valeur trouvée ne caractérise en rien la nappe, car, comme pour les calculs précédents, celui-ci ne caractérise que l'entourage immédiat du forage, dans la mesure où les observations ont été faites dans le forage même.

##### 4.3 Courbe de remontée avec observation dans F<sub>7</sub>:

Le rabattement croît linéairement avec le temps. A un certain moment

ESSAI A BLANC DANS F7.

N° PAUER	N.D (m)	N.S (m)	DEBIT (l/s)	Q m <sup>3</sup> /h	Δ (m)	DURÉE
1	12,91	7,34	10	36	5,57	1h 30
2	16,18	7,34	15	54	9,46	2h
3	20,33	7,34	20	72	12,99	5h
4	25,42	7,34	25	90	18,08	38h

ESSAI DE DESCENTE DANS F7

Débit de pompage constant 25 l/s

t	$\Delta$ DANS F7 (m)	$\Delta$ DANS PIEZO F6 (m)	$\Delta$ DANS PIEZO F5 (m)
30"	3,46	0,03	0
1' 00	9,26	0,03	0
1' 30'	9,76	0,03	0
2'	10,06	0,03	0
2' 30"	10,26	0,04	0
3'	10,66	0,04	0
3' 30"	11,06	0,06	0
4'	11,25	0,06	0
4' 30"	11,33	0,08	0
5'	11,42	0,10	0
6'	11,56	0,10	0
7'	12,11	0,10	0
8'	12,16	0,10	0
9'	12,19	0,10	0
10'	12,28	0,10	0
11'	12,32	0,10	0
12'	12,35	0,10	0
13'	12,38	0,10	0
14'	12,42	0,10	0
15'	12,52	0,10	0
17' 30'	12,61	0,10	0
20'	12,74	0,10	0
22' 30'	12,85	0,10	0
25'	13,01	0,10	0
30'	13,24	0,12	0
35'	13,28	0,12	0
40'	13,28	0,14	0
45'	13,33	0,14	0
50'	13,39	0,14	0
55'	13,55	0,14	0
60'	13,62	0,15	0
65'	13,65	0,15	0
70'	13,71	0,15	0
75'	14,00	0,15	0
80'	14,03	0,15	0
90'	14,00	0,16	0
100	14,10	0,18	0

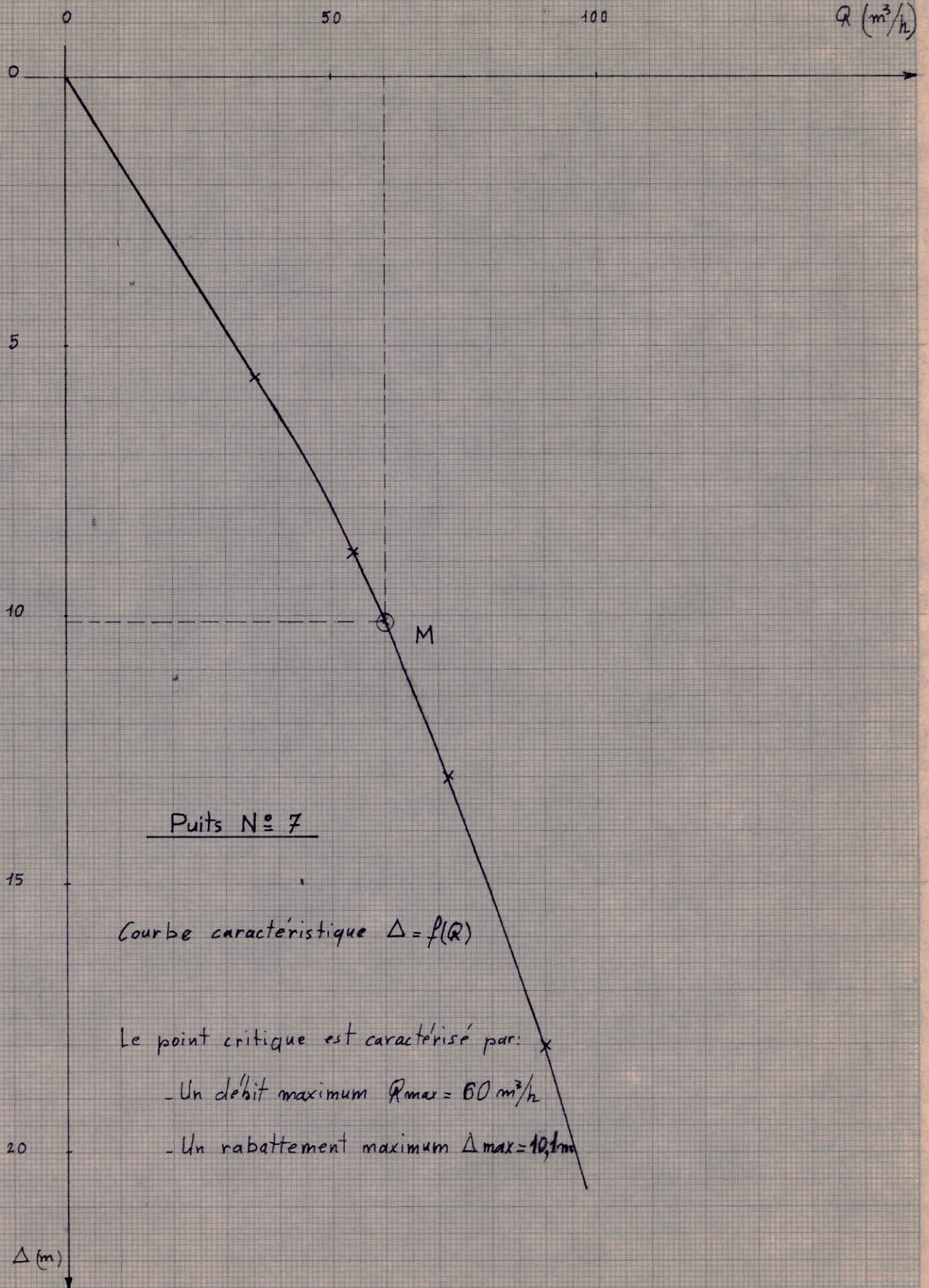
t	$\Delta$ DANS F7 (m)	$\Delta$ DANS PIEZO F6 (m)	$\Delta$ DANS PIEZO F5 (m)
110'	14,47	0,18	0
120'	14,58	0,19	0
130'	14,70	0,19	0
140'	14,80	0,20	0
150'	14,83	0,20	0
160'	14,80	0,22	0
180'	14,71	0,22	0
195'	14,88	0,23	0
210'	14,63	0,25	0
225'	14,75	0,26	0
240'	14,63	0,27	0
260'	15,00	0,32	0
280'	15,09	0,33	0
300'	15,09	0,35	0
330'	15,41	0,37	0
360'	15,23	0,40	0
420'	15,71	0,43	0
480'	15,77	0,46	0,01
540'	15,96	0,49	0,01
600'	16,28	0,51	0,02
660'	16,30	0,51	0,03
720'	16,32	0,52	0,03
780'	16,48	0,54	0,04
840'	16,63	0,56	0,04
900'	16,72	0,59	0,06
1020'	16,77	0,70	0,08
1200'	16,90	0,75	0,11
1320'	17,01	0,78	0,13
1440'	17,12	0,81	0,15
1560'	17,17	0,86	0,15
1740'	17,26	0,88	0,17
1920'	17,54	0,89	0,18
2100'	17,56	0,91	0,19
2280'	17,57	0,93	0,20
2460'	17,71	0,95	0,22
2640'	17,66	0,97	0,24
2880'	18,05	0,99	

ESSAI DE REMONTÉE DANS F7. Suite.

E'	Δ DANS F7 (m)	N.D DANS PIEZO F6 (m)	N.S DANS PIEZO F6 (m)	Δ DANS F6 (m)	N.D DANS PIEZO F5 (m)	N.S DANS PIEZO F5 (m)	Δ DANS F5 (m)
100	3,24	15,24	14,30	0,94	13,94	13,70	0,24
110	3,06	15,23	14,30	0,93	13,94	13,70	0,24
120	3,04	15,21	14,30	0,91	13,94	13,70	0,24
130	2,96	15,21	14,30	0,91	13,94	13,70	0,24
140	2,92	15,20	14,30	0,90	13,94	13,70	0,24
150	2,85	15,20	14,30	0,90	13,94	13,70	0,24
160	2,81	15,20	14,30	0,90	13,94	13,70	0,24
180	2,69	15,19	14,30	0,89	13,94	13,70	0,24
195	2,60	15,18	14,30	0,88	13,94	13,70	0,24
210	2,53	15,17	14,30	0,87	13,94	13,70	0,24
225	2,46	15,15	14,30	0,85	13,94	13,70	0,24
240	2,41	15,13	14,30	0,83	13,94	13,70	0,24
260	2,32	15,12	14,30	0,82	13,94	13,70	0,24
280	2,26	15,11	14,30	0,81	13,94	13,70	0,24
300	2,16	15,09	14,30	0,79	13,94	13,70	0,24
330	2,05	15,06	14,30	0,76	13,94	13,70	0,24
360	1,89	15,03	14,30	0,73	13,94	13,70	0,24
420	1,81	15,01	14,30	0,71	13,93	13,70	0,23
480	1,66	14,98	14,30	0,68	13,93	13,70	0,23
540	1,47	14,98	14,30	0,68	13,93	13,70	0,23
600	1,42	14,97	14,30	0,67	13,91	13,70	0,21
660	1,35	14,96	14,30	0,66	13,89	13,70	0,19
720	1,31	14,94	14,30	0,64	13,88	13,70	0,18
780	1,24	14,90	14,30	0,60	13,88	13,70	0,18
840	1,15	14,87	14,30	0,57	13,87	13,70	0,17
900	1,08	14,84	14,30	0,54	13,87	13,70	0,17
1020	0,99	14,75	14,30	0,49	13,86	13,70	0,16
1200	0,86	14,70	14,30	0,40	13,85	13,70	0,15
1320	0,80	14,64	14,30	0,36	13,83	13,70	0,13
1440	0,74	14,61	14,30	0,31	13,81	13,70	0,11

ESSAI DE REMONTÉE DANS F7.

$t'$	$\Delta$ DANS F7 (m)	N.D DANS PIEZO F6 (m)	N.S DANS PIEZO F6 (m)	$\Delta$ DANS F6 (m)	N.D DANS PIEZO F5 (m)	N.S DANS PIEZO F5 (m)	$\Delta$ DANS F5 (m)
30"	13,31	15,30	14,30	1	13,95	13,70	0,25
1'00"	11,16	15,30	14,30	1	13,95	13,70	0,25
1'30"	7,84	15,30	14,30	1	13,95	13,70	0,25
2'	6,76	15,30	14,30	1	13,95	13,70	0,25
2'30"	6,36	15,30	14,30	1	13,95	13,70	0,25
3'	6,16	15,30	14,30	1	13,95	13,70	0,25
3'30"	5,95	15,30	14,30	1	13,95	13,70	0,25
4'	5,71	15,30	14,30	1	13,95	13,70	0,25
4'30"	5,61	15,30	14,30	1	13,95	13,70	0,25
5'	5,56	15,30	14,30	1	13,95	13,70	0,25
6'	5,43	15,30	14,30	1	13,95	13,70	0,25
7'	5,34	15,30	14,30	1	13,95	13,70	0,25
8'	5,21	15,30	14,30	1	13,95	13,70	0,25
9'	5,11	15,30	14,30	1	13,94	13,70	0,24
10'	5,06	15,30	14,30	1	13,94	13,70	0,24
11'	5,01	15,30	14,30	1	13,94	13,70	0,24
12'	4,91	15,30	14,30	1	13,94	13,70	0,24
13'	4,91	15,30	14,30	1	13,94	13,70	0,24
14'	4,86	15,30	14,30	1	13,94	13,70	0,24
15'	4,81	15,30	14,30	1	13,94	13,70	0,24
17'30"	4,74	15,30	14,30	1	13,94	13,70	0,24
20'	4,65	15,30	14,30	1	13,94	13,70	0,24
22'30"	4,54	15,30	14,30	1	13,94	13,70	0,24
25'	4,43	15,30	14,30	1	13,94	13,70	0,24
30'	4,34	15,30	14,30	1	13,94	13,70	0,24
35'	4,20	15,30	14,30	1	13,94	13,70	0,24
40'	4,01	15,30	14,30	1	13,94	13,70	0,24
45'	3,86	15,30	14,30	1	13,94	13,70	0,24
50'	3,86	15,29	14,30	0,99	13,94	13,70	0,24
55'	3,81	15,29	14,30	0,99	13,94	13,70	0,24
60'	3,71	15,29	14,30	0,99	13,94	13,70	0,24
65'	3,62	15,29	14,30	0,99	13,94	13,70	0,24
70'	3,59	15,28	14,30	0,98	13,94	13,70	0,24
75'	3,53	15,27	14,30	0,97	13,94	13,70	0,24
80'	3,47	15,26	14,30	0,96	13,94	13,70	0,24
90'	3,37	15,25	14,30	0,95	13,94	13,70	0,24

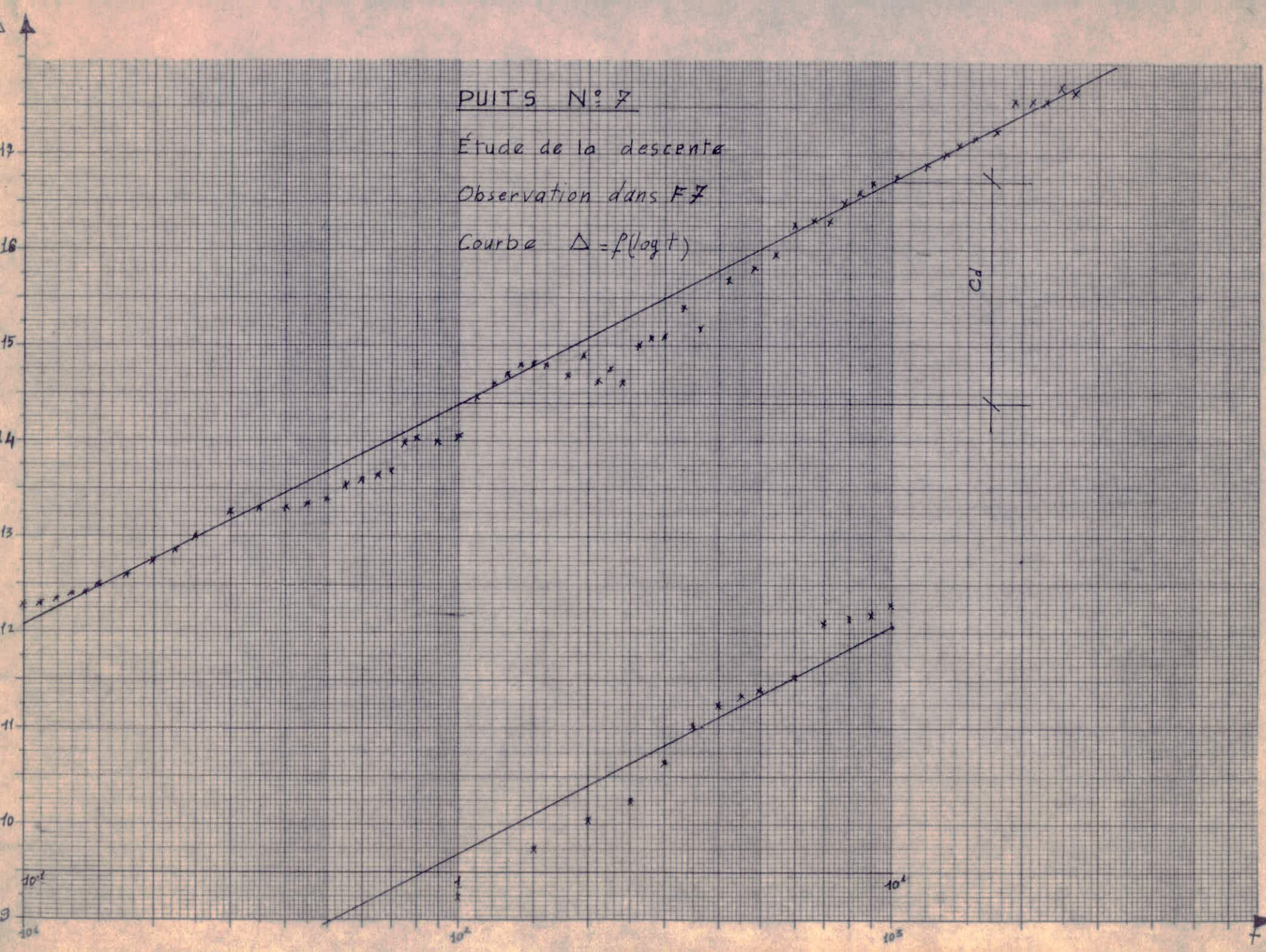


PUITS N° 7

Étude de la descente

Observation dans FF

Courbe  $\Delta = f(\log t)$

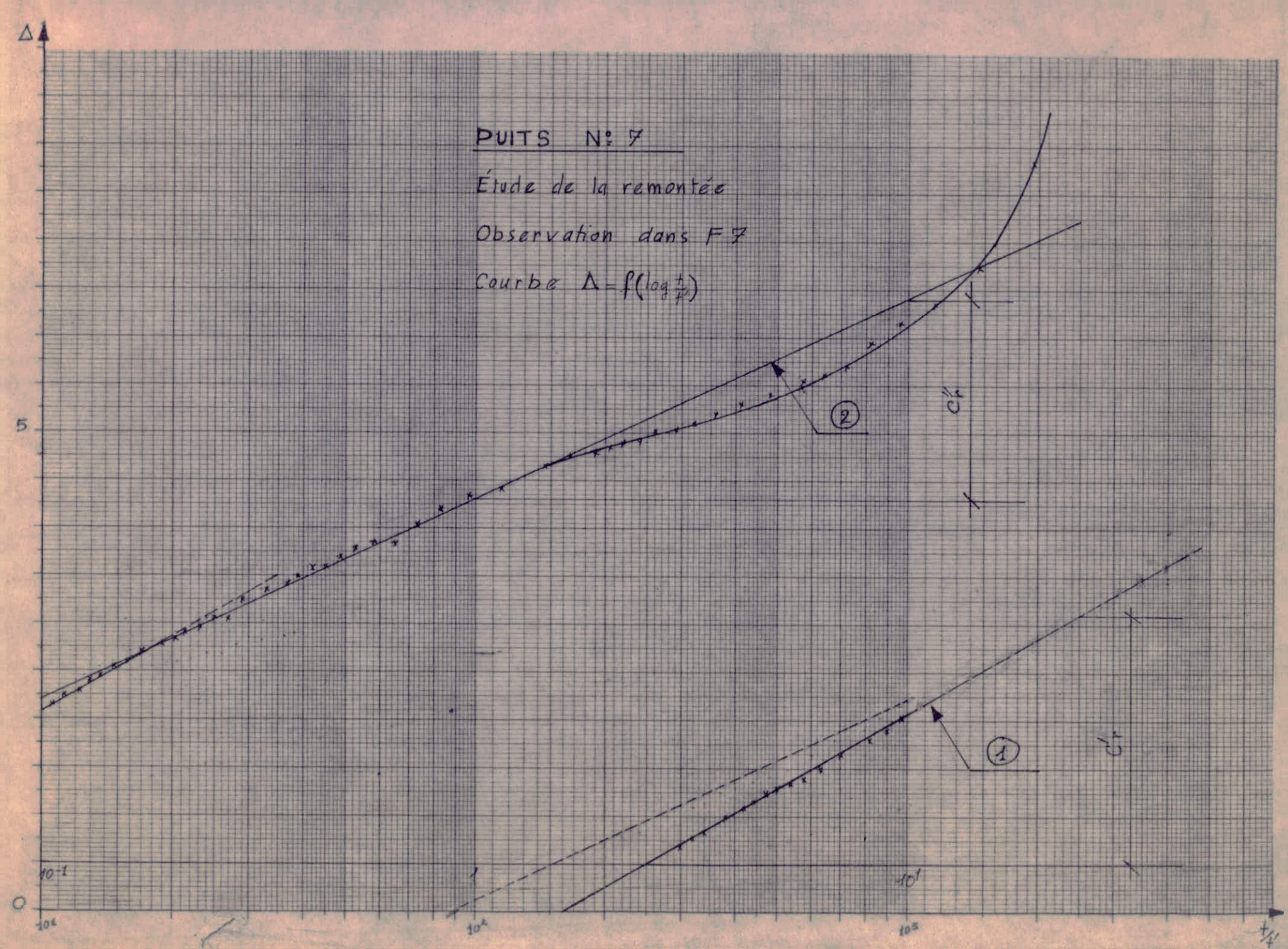


PUITS N° 7

Étude de la remontée

Observation dans F7

Courbe  $\Delta = f(\log \frac{t}{T_p})$



Cependant, il varie de façon moindre, avant de croître rapidement.  
Ceci proviendrait d'un manque d'eau quand la nappe atteint un certain rabattement.

Cette courbe se compose de deux droites, d'où la nécessité de calculer une transmissivité et un coefficient d'emmagasinement moyen.

#### 4.4 Courbe de descente avec observation dans F6:

Elle montre qu'au début du pompage, le rabattement varie lentement en fonction du temps, mais qu'à un certain moment, le rabattement croît rapidement. Ceci serait dû soit à une insuffisance de l'alimentation de la nappe, soit à une augmentation du débit de pompage.

#### 4.5 Courbe de remontée avec observations dans F6:

nous distinguons trois droites dont la première est incertaine.  
Le rabattement croît en fonction du temps, pour devenir constant jusqu'à la fin de l'essai.

Cette stabilisation signifierait que le débit pompé dans le forage est égal à la quantité d'eau arrivant à ce dernier.

la partie horizontale n'est pas à prendre en compte dans les calculs à venir par des raisons que nous avons déjà expliquées plus haut.

#### 4.6 Courbe de descente avec observation dans F5:

Elle semble régulière et caractérise la stabilité de la nappe pour un certain débit.

Elle est d'abord constante, puis croît rapidement en fonction du temps.

#### 4.7 Courbe de remontée avec observation dans F5:

Elle croît rapidement et de façon non linéaire, avant de devenir constante sur deux paliers.

Et de part de cette non linéarité, il devient impossible de tenir compte dans les calculs.

### 5. CALCUL DE LA TRANSMISSIVITÉ ET DU COEFFICIENT D'EMMAGASINEMENT POUR F7.

#### 5.1 Courbe de descente avec observation dans F7:

##### 5.1.1 Calcul de la transmissivité:

$$T_d = \frac{0,183 Q}{cd}$$

$$cd = 16,725 - 14,450 =$$

$$Q = 25 \text{ l/s}$$

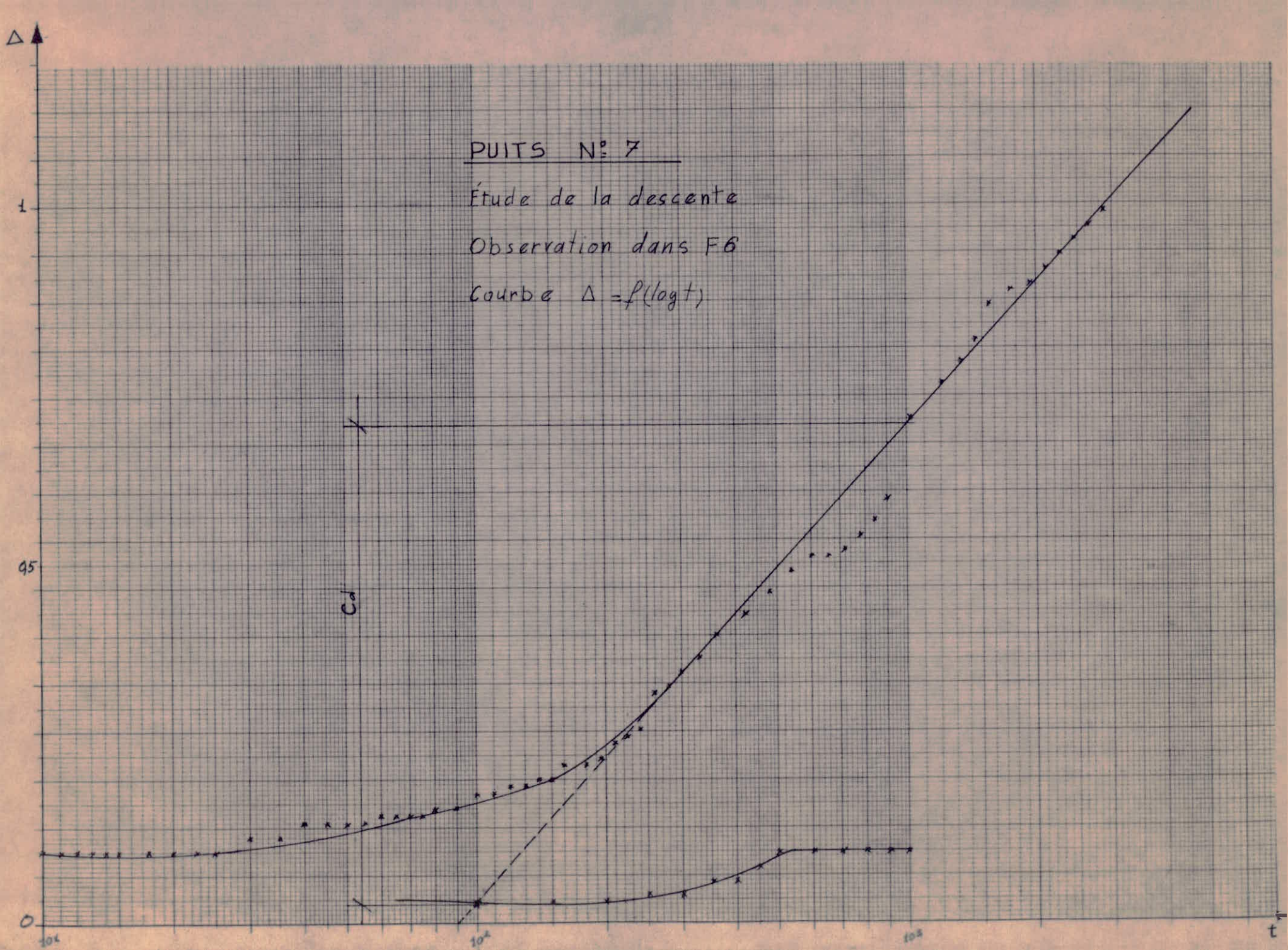
d'où

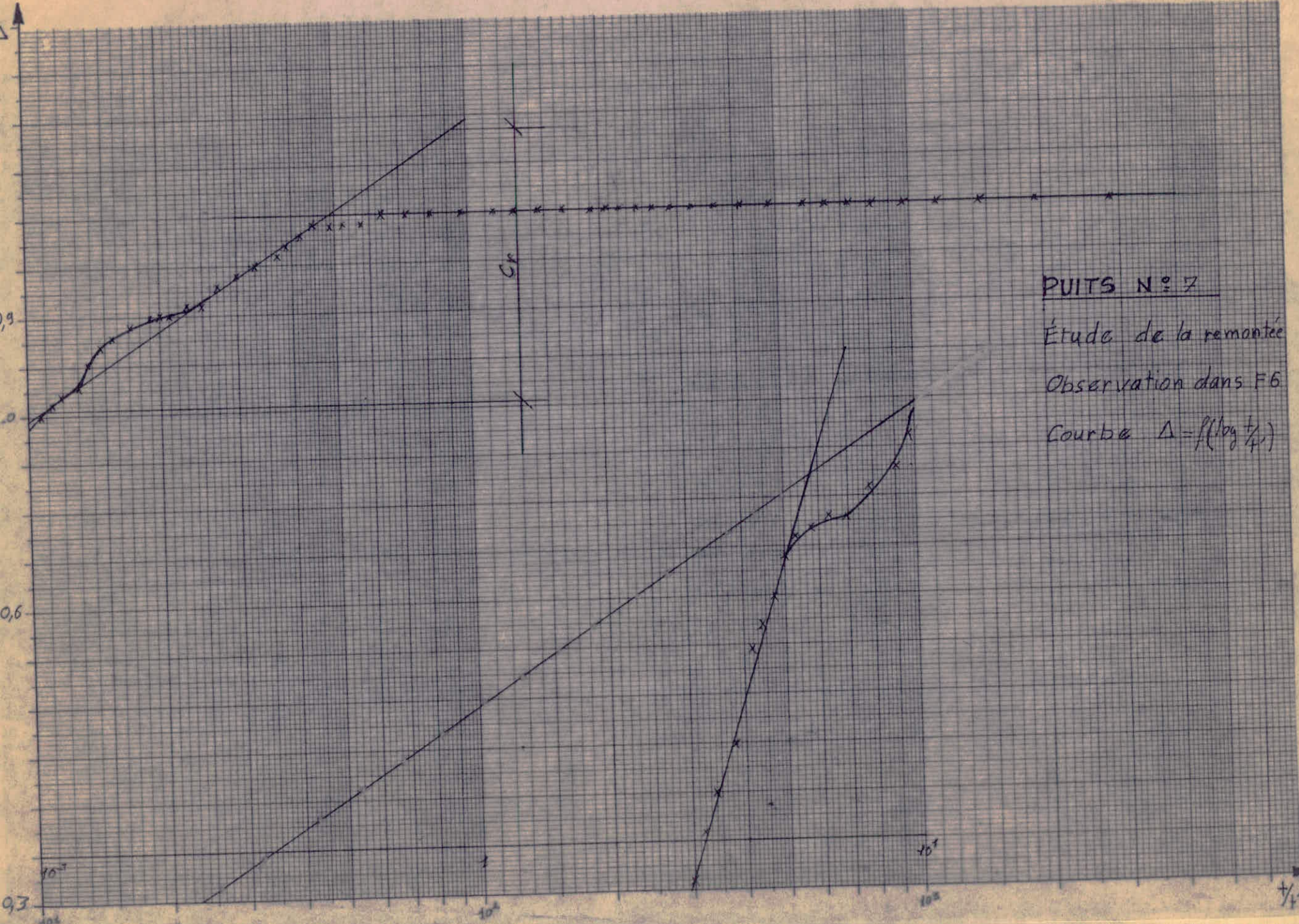
$$T_d = \frac{0,183 \cdot 25 \cdot 10^{-3}}{2,325}$$

$$\rightarrow cd = 2,325 \text{ m}$$

$$\rightarrow Q = 25 \cdot 10^{-3} \text{ m}^3/\text{s}$$

$$\rightarrow T_d = 1,97 \cdot 10^{-3} \text{ m}^2/\text{s}$$





PUITS N° 7

Étude de la remontée

Observation dans F6

Courbe  $\Delta = f(\log \frac{t}{t_1})$

### 5.12 calcul du coefficient d'emmagasinement:

$$Sd = \frac{2,25 Td \cdot t_0}{(\pi r_{f-f})^2}$$

$$Td = 1,97 \cdot 10^{-3} m^2/s$$

$t_0 = 0,52$  mn (obtenu par lecture)

$$t_0 = 0,52 \times 60 = 31,2$$

$$r_{f-f} = \frac{22}{2} = 11'' (\text{rayon du forage})$$

$$\pi r_{f-f} = 11 \times 25,4 = 279,4$$

d'où

$$Td = \frac{2,25 \times 1,97 \cdot 10^{-3} \times 31,2}{(0,2794)^2} = 1,78$$

$$\rightarrow t_0 = 31,2 \text{ sec.}$$

$$\rightarrow r_{f-f} = 0,2794 \text{ m}$$

$$\rightarrow Sd = 1,78$$

### 5.2 cas de la remontée avec observation dans F7:

#### 5.2.1 calcul de la transmissivité:

##### 5.2.1.1 D'après la droite ①:

$$Tr' = \frac{0,183 Q}{C'r}$$

$$C'r = 3,1 - 0,5 = 2,6 \text{ m}$$

$$Q = 25 \text{ l/s}$$

d'où

$$Tr' = \frac{0,183 \times 25 \cdot 10^{-3}}{2,6} =$$

$$\rightarrow C'r = 2,6 \text{ m}$$

$$\rightarrow Q = 25 \cdot 10^{-3} \text{ m}^3/s$$

$$\rightarrow Tr' = 1,76 \cdot 10^{-3} \text{ m}^2/s$$

##### 5.2.1.2 D'après la droite ②:

$$Tr'' = \frac{0,183 Q}{C'r}$$

$$C'r = 6,4 - 4,3 = 2,1$$

$$Q = 25 \text{ l/s}$$

d'où

$$Tr'' = \frac{0,183 \times 25 \cdot 10^{-3}}{2,1} =$$

$$\rightarrow C'r'' = 2,1 \text{ m}$$

$$\rightarrow Q = 25 \cdot 10^{-3} \text{ m}^3/s$$

$$\rightarrow Tr'' = 2,18 \cdot 10^{-3} \text{ m}^2/s$$

##### 5.2.1.3 Transmissivité moyenne pour la remontée:

$$Tr = \frac{Tr' + Tr''}{2} = \frac{1,76 \cdot 10^{-3} + 2,18 \cdot 10^{-3}}{2} = 1,97 \cdot 10^{-3}$$

$$\rightarrow Tr = 1,97 \cdot 10^{-3} \text{ m}^2/s$$

### 5.3 Transmissivité moyenne pour F7 et observation dans F7:

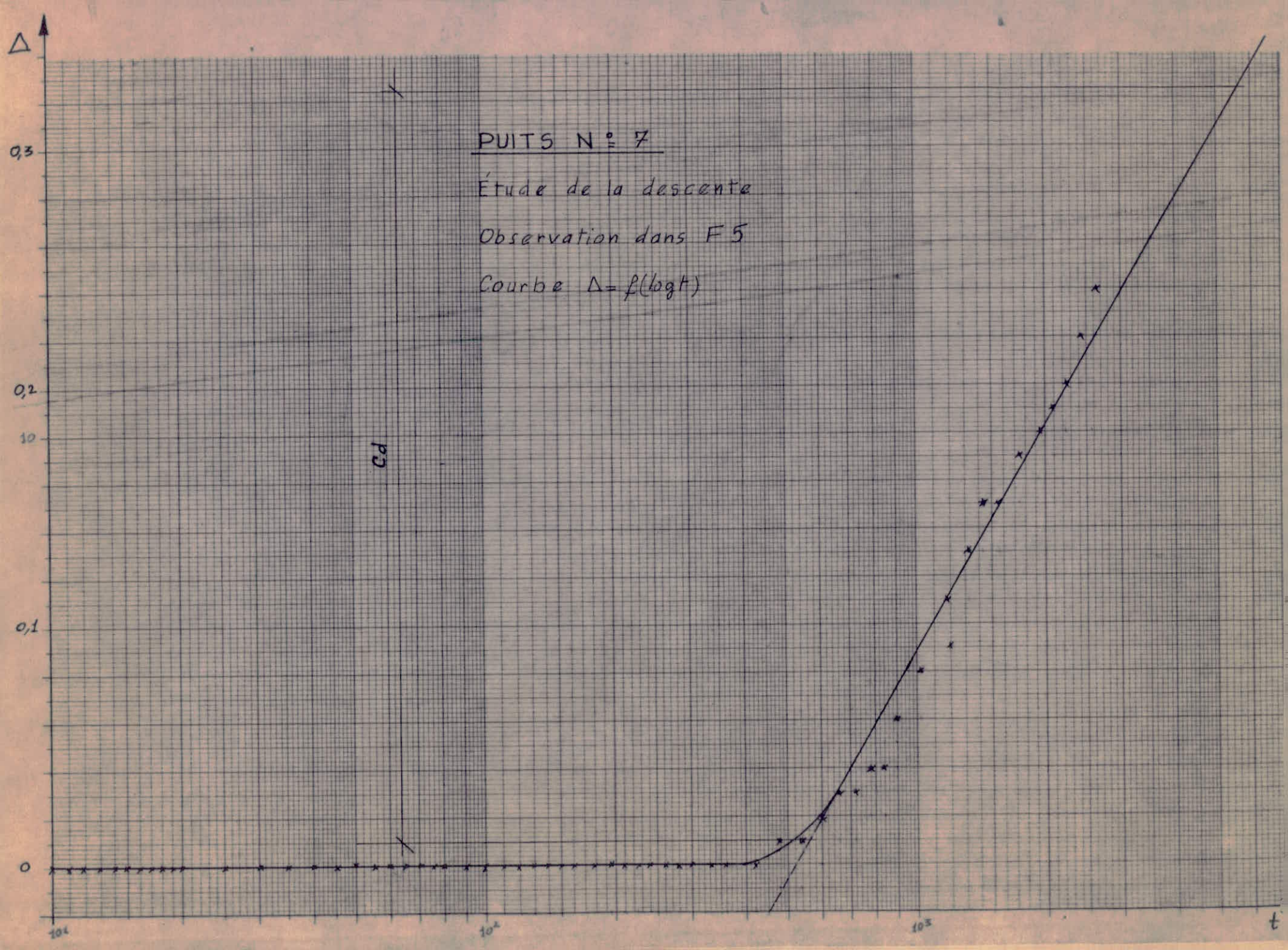
$$T_{f-f} = \frac{Td + Tr}{2} = \frac{1,97 \cdot 10^{-3} + 1,97 \cdot 10^{-3}}{2} =$$

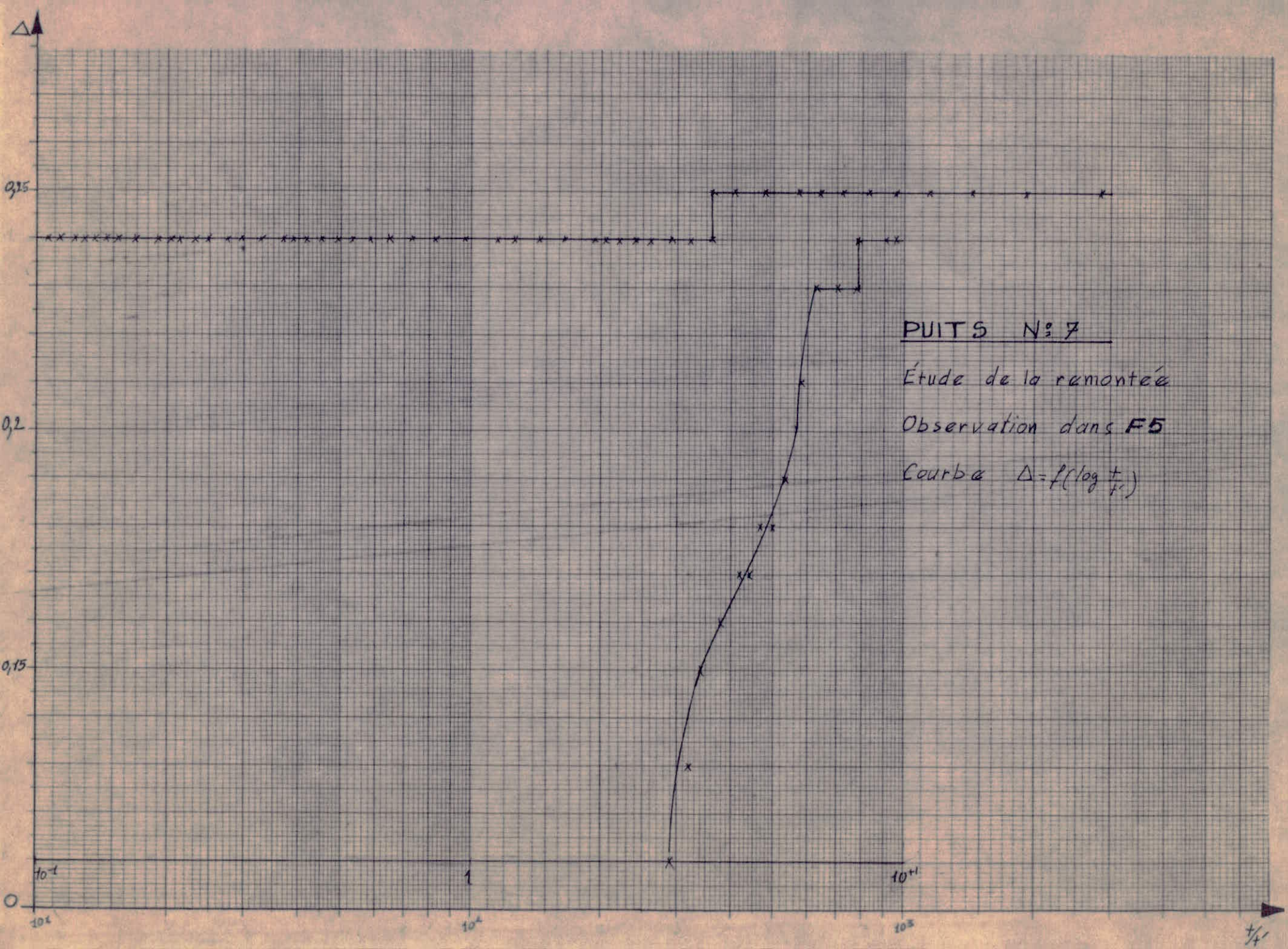
$$\rightarrow T_{f-f} = 1,97 \cdot 10^{-3} \text{ m}^2/s$$

### 5.4 Coefficient d'emmagasinement moyen pour F7 observation dans F7:

$$S_{f-f} = Sd = 1,78$$

$$\rightarrow S_{f-f} = 1,78$$





nous remarquons là que ce coefficient d'emmagasinement est obtenu par une valeur faible du temps. Ce résultat ne peut donc pas être représentatif pour la nappe.

### 5.5 Cas de la descente dans F7 avec observations dans F6:

#### 5.5.1 Calcul de la transmissivité:

$$Td = \frac{0,183 Q}{cd}$$

$$cd = 0,725 - 0,025 = 0,7 \text{ m}$$

$$Q = 25 \text{ l/s}$$

d'où

$$Td = \frac{0,183 \times 25 \cdot 10^{-3}}{0,7} = 6,54 \cdot 10^{-3}$$

$$\rightarrow cd = 0,7 \text{ m}$$

$$\rightarrow Q = 25 \cdot 10^{-3} \text{ m}^3/\text{s}$$

$$\rightarrow Td = 6,54 \cdot 10^{-3} \text{ m}^2/\text{s}$$

#### 5.5.2 Calcul du coefficient d'emmagasinement:

$$Sd = \frac{2,25 Td t_0}{x^2}$$

$$Td = 6,54 \cdot 10^{-3} \text{ m}^2/\text{s}$$

$$t_0 = 91 \text{ mn} \text{ (obtenu par lecture)}$$

$$t_0 = 91 \times 60 = 5460 \text{ s}$$

$$x_{7-6} = 18 \text{ mm} \text{ (relevé sur la carte)}$$

$$x_{7-6} = 18 \times 25000 = 450.000$$

d'où

$$Sd = \frac{2,25 \times 6,54 \cdot 10^{-3} \times 5460}{(450)^2} =$$

$$\rightarrow t_0 = 5460 \text{ sec.}$$

$$\rightarrow x_{7-6} = 450 \text{ m}$$

$$\rightarrow Sd = 0,4 \cdot 10^{-3}$$

### 5.6 Cas de la remontée dans F7 avec observations dans F6:

#### 5.6.1 Calcul de la transmissivité:

$$Tr = \frac{0,183 R}{cr}$$

$$cr = 1,085 - 0,805 = 0,280$$

$$R = 25 \text{ l/s}$$

d'où

$$Tr = \frac{0,183 \times 25 \cdot 10^{-3}}{0,280} =$$

$$\rightarrow cr = 0,280 \text{ m}$$

$$\rightarrow R = 25 \cdot 10^{-3} \text{ m}^3/\text{s}$$

$$\rightarrow Tr = 22 \cdot 10^{-3} \text{ m}^2/\text{s}$$

### 5.7 Transmissivité moyenne pour F7 avec observations dans F6:

$$T_{7-6} = \frac{Td + Tr}{2} = \frac{6,54 \cdot 10^{-3} + 22 \cdot 10^{-3}}{2} = \frac{28,54 \cdot 10^{-3}}{2} =$$

$$\rightarrow T_{7-6} = 14,27 \cdot 10^{-3} \text{ m}^2/\text{s}$$

### 5.8 Coefficient d'emmagasinement pour F7 avec observations dans F6

$$S_{7-6} = Sd = 0,4 \cdot 10^{-3}$$

$$\rightarrow S_{7-6} = 0,4 \cdot 10^{-3}$$

### 5.9 cas de la descente dans F7 avec observations dans FS:

#### 5.9.1 Calcul de la transmissivité.

$$Td = \frac{0,183 Q}{cd}$$

$$cd = 0,320 - 0,008 = 0,312$$

$$Q = 25 \text{ l/s}$$

d'où

$$Td = \frac{0,183 \times 25 \cdot 10^{-3}}{0,312} = 14,67 \cdot 10^{-3}$$

$$\rightarrow cd = 0,312 \text{ m}$$

$$\rightarrow Q = 25 \cdot 10^{-3} \text{ m}^3/\text{s}$$

$$\rightarrow Td = 14,67 \cdot 10^{-3} \text{ m}^2/\text{s}$$

#### 5.9.2 Calcul du coefficient d'emmagasinement:

$$Sd = \frac{2,25 \times Td \cdot t_0}{x^2}$$

$$Td = 14,67 \cdot 10^{-3}$$

$$t_0 = 450 \text{ mn} \text{ (obtenu par lecture)}$$

$$t_0 = 450 \times 60 = 27000$$

$$x_{7.5} = 32 \text{ mm} \text{ (relevé sur la carte)}$$

$$x_{7.5} = 32 \times 25000 = 800000 \text{ mm}$$

d'où

$$Sd = \frac{2,25 \times 14,67 \cdot 10^{-3} \times 27000}{(800)^2} =$$

$$\rightarrow t_0 = 27000 \text{ sec.}$$

$$\rightarrow x = 800 \text{ m}$$

$$\rightarrow Sd = 1,39 \cdot 10^{-3}$$

### 5.10 cas de la remontée dans F7 avec observations dans FS:

Par suite de la non linéarité de cette courbe il devient impossible de tenir compte de cet essai.

nous avons donc  $Td = T_{7.5}$

et  $Sd = S_{7.5}$

### 5.11 Valeur moyenne de la transmissivité pour F7:

$$T_7 = \frac{T_{7.7} + T_{7.6} + T_{7.5}}{3}$$

$$T_7 = \frac{2,08 \cdot 10^{-3} + 14,27 \cdot 10^{-3} + 14,67 \cdot 10^{-3}}{3} = 10,34 \cdot 10^{-3}$$

$$\rightarrow T_7 = 10,34 \cdot 10^{-3} \text{ m}^2/\text{s}$$

### 5.12 Valeur moyenne du coefficient d'emmagasinement pour F7:

$$S_7 = \frac{S_{7.6} + S_{7.5}}{2} = \frac{0,4 \cdot 10^{-3} + 1,39 \cdot 10^{-3}}{2} =$$

$$\rightarrow S_7 = 0,90 \cdot 10^{-3}$$

G. RAPPORT SUR FORAGE SONIC N°9

## SONDAGE

## SONIC F-9

Carte: Maison-Blanche 1/20.000. 1(2)

Date des travaux : mai 1974

Echelle de la coupe :

Long. .... X = 536,655

Latit. .... Y = 376,825 Z = 15m

Profondeurs et cotes	Tubages et Cimentation	Plans d'eau	Echant.	Coupe	DESCRIPTION GEOLOGIQUE	Etage
0						
10	0 16"		NS = 3,80m 27.06.74		0 } T.V. 8 } argile	
20					11 } gravier fin (1 à 2mm) 21 } gravier fin et sable grossier (0,5mm) plus abondant de 16 à 19mm. 23 } argile grise	
30	28 crepines à fentes 3 à 4mm				gravier gris (2 à 5mm.)	
40	24" gravier 5-8mm	44			44 } argile jaune graveleuse 48 } argile jaune plastique	
50		55			54 } gravier grossier (5mm à cm) passé de 57 } sable grossier (1mm) à 56-57m 63 } argile jaune graveleuse gravier (5mm) et argile.	
60		65			73 } argile jaune graveleuse 83 } argile bleue	
70		72				
80					marne jaunes	
90						
100						
110						
120		113				
130	15" Johnson 8" nom.				marnes et graviers	
140	gravier 1 à 3 mm	flat 20 (0,5 mm)			132 } gravier brun jaune (2mm à cm). 140 } grès jaunes	
150		157			158 } argile jaune plastique. 161 } grès jaunes 163 } marne gris-noir salteuse.	
160					170 }	
170						
180						

QUATERNAIER

ASTIER

## 1. PRESENTATION

### 1.1 coordonnées

$$x = 536,625 \text{ m}$$

$$Y = 376,825 \text{ m}$$

$$Z = 15 \text{ m}$$

### 1.2 Description et dimensions:

Ce forage à une profondeur de 160m et comprend :

- un diamètre de 24" avec chemisage de 16", tous deux constants sur 80m
- Un diamètre de 15" avec chemisage de 8", ceux-ci constants sur toute la profondeur restante soit 80m.

### 1.3 Constitution du sol (voir coupe)

## 2. ESSAIS EFFECTUÉS:

Les essais effectués sont les suivants :

- un essai à blanc à paliers différents
- Un essai de remontée
- Un essai de descente à débit constant.

## 3. TRACÉ DES COURBES CARACTÉRISTIQUES:

Les courbes tracées sont les suivantes :

- Une courbe  $\Delta = f(Q)$
- Une courbe  $\Delta = f(\log t)$
- Une courbe de remontée  $\Delta = f(\log t/t')$
- Un essai à blanc  $\Delta = f(\log t)$   
et  $Q = f(\log t)$

## 4. EXPLOITATION DES COURBES CARACTÉRISTIQUES:

### 4.1: Courbe $\Delta = f(Q)$ : elle donne.

- un débit maximum  $Q_{\max} = 110 \text{ m}^3/\text{h}$

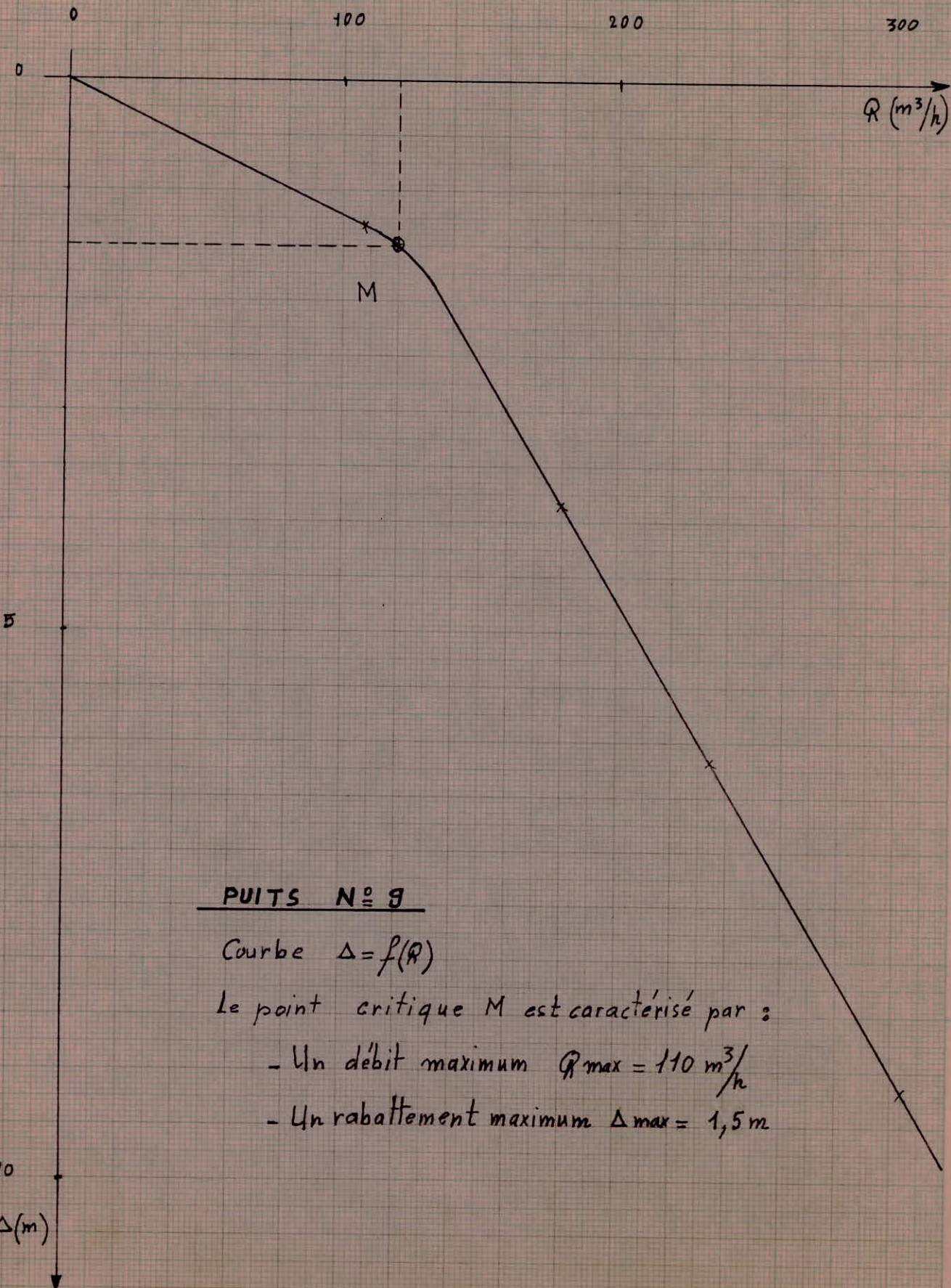
- un rabattement maximum  $\Delta_{\max} = 1,5 \text{ m}$

Les débits faits pour l'essai variant de  $108 \text{ m}^3/\text{h}$  à  $302,4 \text{ m}^3/\text{h}$  et le débit maximum donné par la courbe caractéristique étant  $Q_{\max} = 110 \text{ m}^3/\text{h}$ ; il apparaît que le débit d'exploitation est supérieur au débit maximum donné par la courbe caractéristique.

### 4.2: courbe $\Delta = f(\log t)$ :

ESSAI A BLANC DANS F9.

$Q$ (L/s)	$Q$ ( $m^3/h$ )	$\Delta$ (m)
30	108	1,32
50	180	3,85
65	234	6,18
84	302,4	9,28



ESSAI DE DESCENTE DANS F9.

Débit de pompage constant:  $Q = 83,5 \text{ l/s}$

t	$\Delta$ DANS F9 (m)
30"	4,54
1'	5,10
1'30"	5,30
2'	5,48
2'30"	5,54
3'	5,50
3'30"	5,55
4'	5,58
4'30"	5,68
5'	5,70
6'	5,80
7'	5,85
8'	5,97
9'	6,00
10'	6,05
11'	6,10
12'	6,15
13'	6,20
14'	6,25
15'	6,30
17'30"	6,39
20'	6,48
22'30"	6,51
25'	6,58
30'	6,69
35'	6,77
40'	6,85
45'	6,94
50'	7,02
55'	7,10
60'	7,16
65'	7,20
70'	7,20
75'	7,21
80'	7,24
90'	7,35

t	$\Delta$ DANS F9 (m)
100'	7,40
110'	7,42
120'	7,49
130'	7,53
140'	7,57
150'	7,62
160'	7,64
180'	7,70
195'	7,79
210'	7,81
225'	7,86
240'	7,91
260'	7,96
280'	8,02
300'	8,10
330'	8,09
360'	8,20
420'	8,35
480'	8,45
540'	8,50
600'	8,55
660'	8,59
720'	8,60
780'	8,69
840'	8,71
900'	8,74
1020'	8,78
1200'	8,84
1320'	8,96
1440'	9,01
1560'	9,05
1740'	9,05
1920'	9,19
2100'	9,20
2280'	9,22
2460'	9,25
2640'	9,30
2880'	9,35

ESSAI DE REMONTÉE DANS F9.

L'arrêt de pompage s'est fait au temps  $t_1 = 2880$  mn  
Débit de pompage pendant la descente :  $Q = 83,5 \text{ l/s}$

$t'$	$\Delta$ DANS F9 (m)	$\frac{t_1}{t'}$	$\frac{t}{t'}$
0	9,35		
0'30"	3,07	5760	5761
1	2,90	2880	2881
1'30"	2,77	1920	1921
2	2,68	1440	1441
2'30"	2,61	1452	1453
3	2,57	960	961
3'30"	2,52	822,9	823,9
4	2,47	720	721
4'30"	2,42	640	641
5	2,39	576	577
6	2,32	480	481
7	2,25	411,4	412,4
8	2,20	360	361
9	2,15	320	321
10	2,10	288	289
11	2,05	261,8	262,8
12	2,00	240	241
13	1,97	221,5	222,5
14	1,94	205,7	205,7
15	1,91	192	193
17'30"	1,84	164,6	165,6
20	1,79	144	145
22'30"	1,74	128	129
25	1,69	115,2	116,2
30	1,57	96	97
35	1,49	82,3	83,3
40	1,43	72	73
45	1,37	64	65
50	1,32	57,6	58,6
55	1,26	52,4	53,4
60	1,22	48	49
65	1,19	44,3	45,3
70	1,15	41	42
75	1,12	38	39
80	1,09	36	37

$t'$	$\Delta$ DANS F9 (m)	$\frac{t_1}{t'}$	$\frac{t}{t'}$
90	1,03	32	33
100	0,99	28,8	29,8
110	0,95	26,2	27,2
120	0,91	24	25
130	0,87	22,2	23,2
140	0,84	20,6	21,6
150	0,81	19,2	20,2
160	0,78	18	19
180	0,71	16	17
195	0,67	14	15
210	0,64	13,7	14,7
225	0,62	12,8	13,8
240	0,60	12	13
260	0,58	11,1	12,1
280	0,57	10,3	11,3
300	0,55	9,6	10,6
330	0,53	8,7	9,7
360	0,51	8	9
420	0,47	6,9	7,9
480	0,44	5,6	6,6
540	0,41	5,3	6,3
600	0,37	4,8	5,8
660	0,29	4,4	5,4
720	0,21	4	5
780	0,16	3,7	4,7
840	0,15	3,4	4,4
900	0,13	3,2	4,2
1020	0,11	2,8	3,8
1200	0,09	2,4	3,4
1320	0,075	2,2	3,2
1440	0,075	2	3,0
1560	0,07	1,8	2,8
1740	0,07	1,7	2,7
1920	0,07	1,5	2,5
2100	0,04	1,4	2,4
2280	0,00	1	2

ESSAI A BLANC DANS F9.

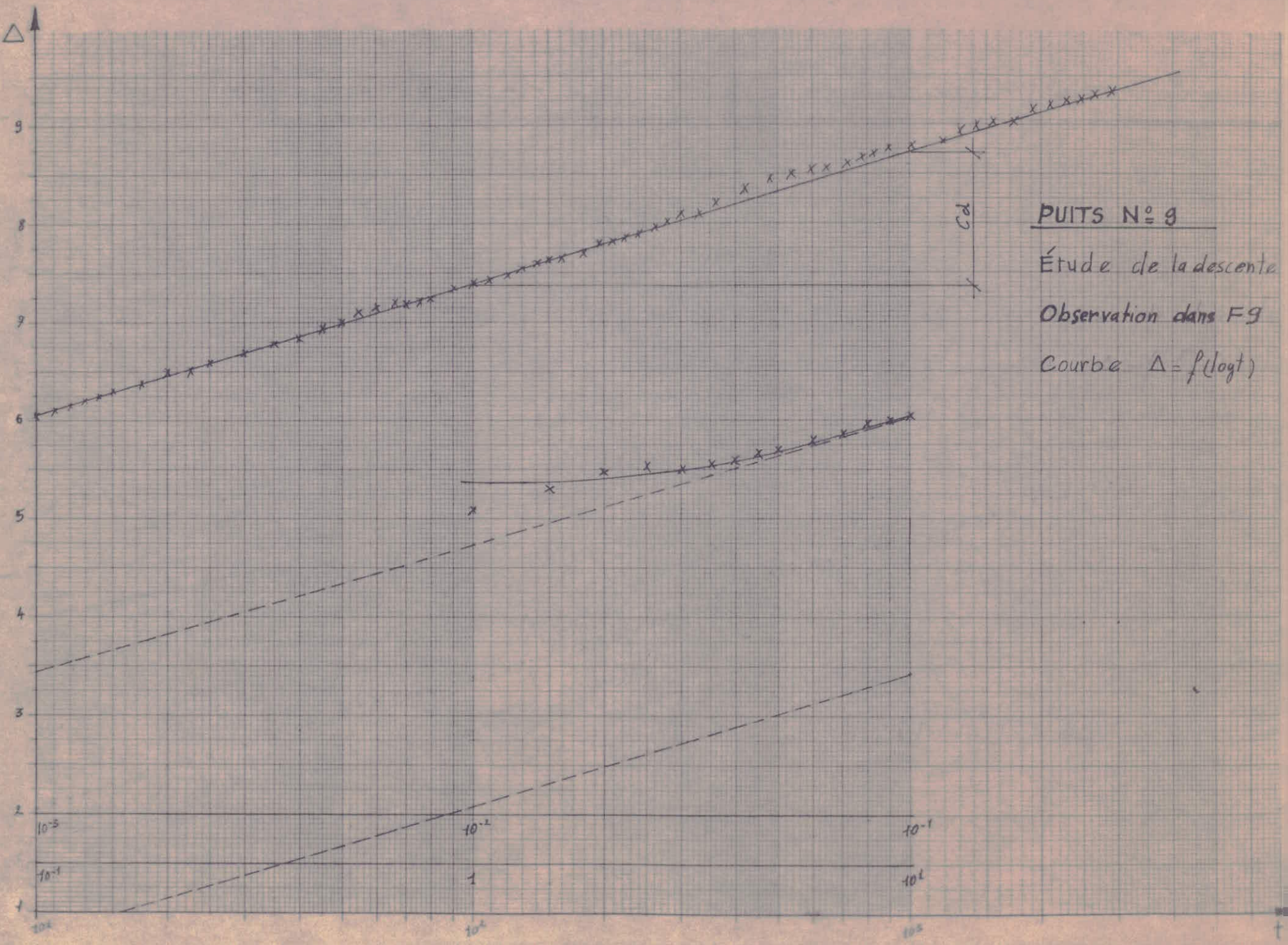
- Descente à paliers différents.

TEMPS t	Δ DANS F9 1 <sup>er</sup> PALIER R=30 <sup>1/4</sup> (m)	Δ DANS F9 2 <sup>er</sup> PALIER R=50 <sup>1/4</sup> (m)	Δ DANS F9 3 <sup>er</sup> PALIER R=65 <sup>1/4</sup> (m)	Δ DANS F9 4 <sup>er</sup> PALIER R=84 <sup>1/4</sup> (m)
0.00		1,32	3,85	6,18
30"	1,64	2,40	5,05	7,40
1'	1,28	2,92	5,27	8,12
1'30"	0,97	2,83	5,30	8,32
2'	0,95	2,83	5,31	8,36
2'30"	0,96	2,84	5,34	8,39
3'	1,02	2,88	5,37	8,42
3'30"	1,02	2,88	5,37	8,48
4'	1,06	2,90	5,39	8,49
4'30"	1,04	2,91	5,40	8,59
5'	1,04	2,91	5,42	8,52
6'	1,03	2,94	5,44	8,56
7'	1,04	2,96	5,49	8,59
8'	1,05	3,00	5,50	8,60
9'	1,06	3,03	5,50	8,61
10'	1,06	3,03	5,49	8,62
11'	1,08	3,03	5,50	8,64
12'	1,10	3,03	5,51	8,67
13'	1,11	3,05	5,52	8,67
14'	1,12	3,06	5,53	8,71
15'	1,13	3,07	5,55	8,73
17'30"	1,15	3,09	5,56	8,75
20'	1,17	3,11	5,60	8,75
22'30"	1,17	3,13	5,64	8,75
25'	1,20	3,15	5,64	8,75
30'	1,22	3,18	5,71	8,75
35'	1,24	3,21	5,75	8,79
40'	1,26	3,22	5,79	8,81
45'	1,27	3,24	5,79	8,83
50'	1,28	3,26	5,79	8,85
55'	1,29	3,28	5,77	8,87
60'	1,30	3,30	5,79	8,89

ESSAI A BLANC DANS F9. (Suite) -

Descente à paliers différents.

TEMPS t	Δ DANS F9			
	1 <sup>er</sup> PALIER Q=30 l/s (m)	2 <sup>er</sup> PALIER Q=30 l/s (m)	3 <sup>er</sup> PALIER Q = 65 l/s (m)	4 <sup>er</sup> PALIER Q=84 l/s (m)
65	1,31	3,32	5,82	8,91
70	1,32	3,34	5,85	8,93
75	1,32	3,36	5,84	8,95
80	1,32	3,38	5,84	8,96
90	1,32	3,40	5,84	8,97
100	1,32	3,42	5,82	8,98
110	1,32	3,44	5,87	8,99
120	1,32	3,46	5,85	9,00
130	1,32	3,48	5,85	9,05
140	1,32	3,50	5,90	9,05
150	1,32	3,52	5,92	9,05
160	1,32	3,54	5,95	9,10
180	1,32	3,58	5,97	9,16
195	1,32	3,59	6,00	9,16
210	1,32	3,59	6,00	9,16
225	1,32	3,60	6,00	9,16
240	1,32	3,60	6,02	9,16
260	1,32	3,64	6,07	9,17
280	1,32	3,66	6,12	9,18
300	1,32	3,67	6,15	9,20
330	1,32	3,69	6,16	9,22
360	1,32	3,71	6,14	9,25
420	1,32	3,77	6,17	9,27
480	1,32	3,85	6,18	9,28
	FIN DU 1 <sup>er</sup> PALIER	FIN DU 2 <sup>er</sup> PALIER	FIN DU 3 <sup>er</sup> PALIER	FIN DU 4 <sup>er</sup> PALIER

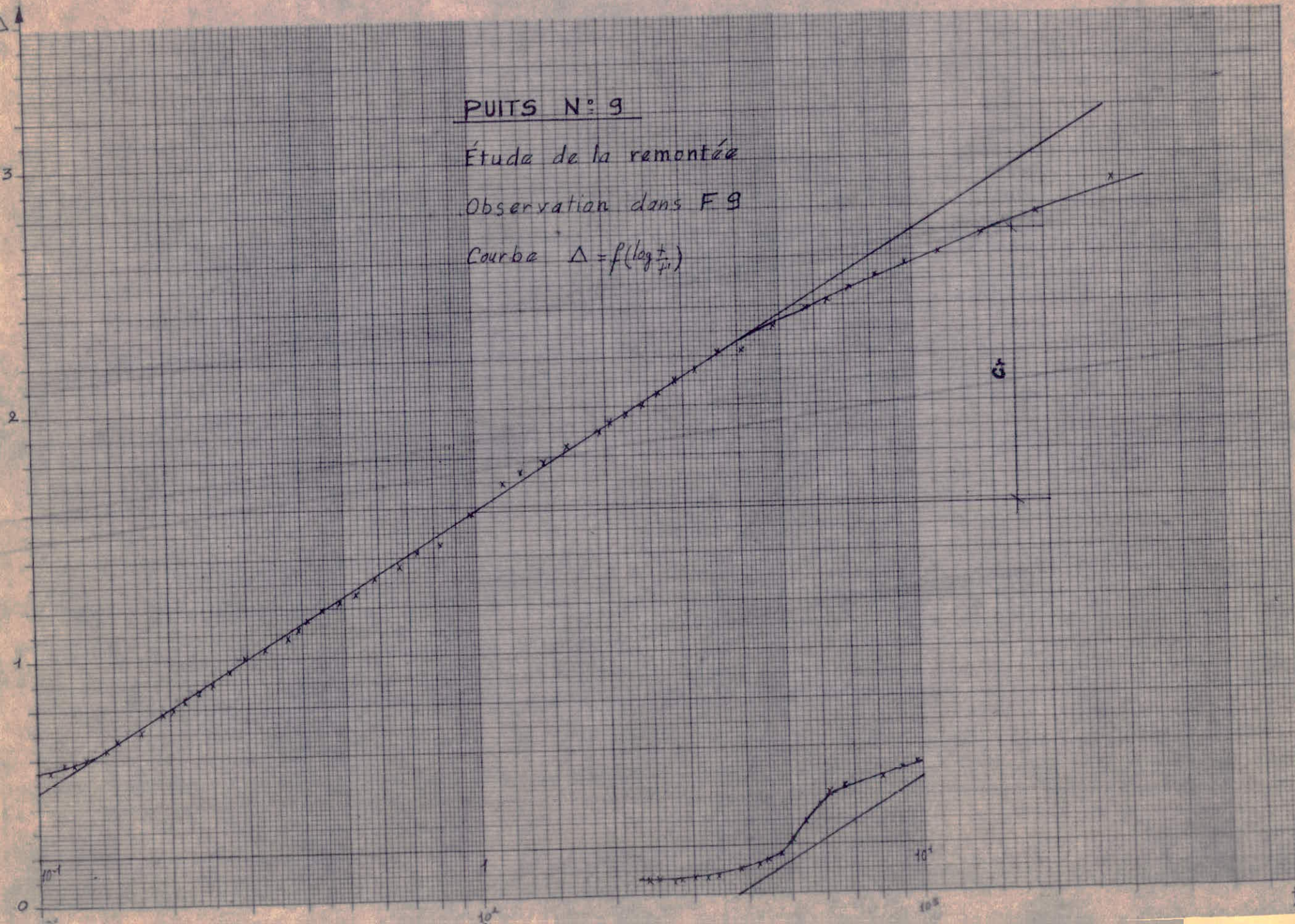


PUITS N° 9

Étude de la remontée

Observation dans F 9

Courbe  $\Delta = f(\log \frac{t}{T_0})$



elle se présente avec une pente faible d'où une grande valeur de la transmissivité. Sa forme linéaire est nette, ce qui nous permet de considérer une seule droite.

#### 4.3 Courbe $S = f(\log t/t')$

Après un début incertain, cette courbe devient sensiblement linéaire.

les résultats que nous trouverons seront significatifs pour la nappe pour les raisons que nous avons déjà relayées pour les autres forages.

#### 4.4 Courbe $S = f(\log t)$ et $R = f(\log t)$

le rabattement croît en fonction du temps et pour les différents paliers du débit, nous distinguons plusieurs saut du rabattement.

### 5. CALCUL DE LA TRANSMISSIVITÉ ET DU COEFFICIENT D'EMMAGASINEMENT:

#### 5.1 Cas de la descente avec observation dans F9:

##### 5.1.1 Calcul de la transmissivité:

$$Td = \frac{0,183 R}{cd}$$

$$cd = 8,70 - 7,37S = 1,325$$

$$R = 83,5 \text{ l/s}$$

d'où

$$Td = \frac{0,183 \times 83,5 \cdot 10^{-3}}{1,325} = 11,53 \cdot 10^{-3}$$

$$\rightarrow cd = 1,325 \text{ m}$$

$$\rightarrow R = 83,5 \cdot 10^{-3} \text{ m}^3/\text{s}$$

$$\rightarrow Td = 11,53 \cdot 10^{-3} \text{ m}^2/\text{s}$$

##### 5.1.2 Calcul du coefficient d'emmagasinement:

$$Sd = \frac{2,25 \cdot Td \cdot t_0}{\pi r}$$

$$Td = 11,53 \cdot 10^{-3} \text{ m}^2/\text{s}$$

$$t_0 = 0,57 \cdot 10^{-3} \text{ mn} \text{ (obtenu par lecture)}$$

$$t_0 = 0,57 \cdot 10^{-3} \times 60 = 34,2 \cdot 10^{-3}$$

$$r = \frac{24}{2}'' = 22'' \text{ (rayon du puits)}$$

$$r = 22 \times 25,4 = 558,8 \text{ mm}$$

d'où

$$Sd = \frac{2,25 \cdot 11,53 \cdot 10^{-3} \times 34,2 \cdot 10^{-3}}{(0,559)^2} = 2,84 \cdot 10^{-3}$$

$$\rightarrow t_0 = 34,2 \cdot 10^{-3}$$

$$\rightarrow r = 0,559 \text{ m}$$

$$\rightarrow Sd = 2,84 \cdot 10^{-3}$$

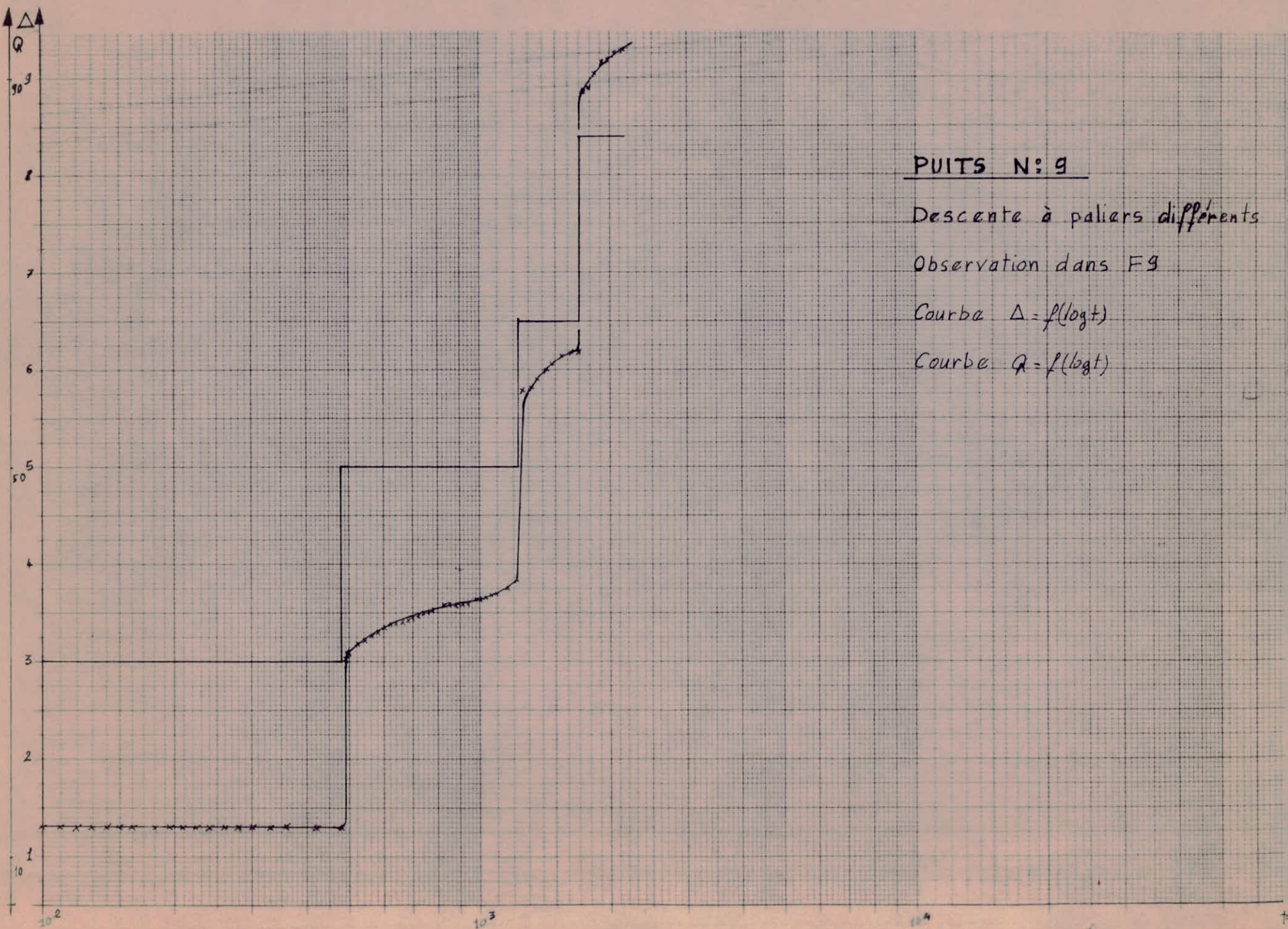
#### 5.2 Cas de la remontée:

##### 5.2.1 Calcul de la transmissivité:

$$Tr = \frac{0,183 R}{cr}$$

$$cr = 2,70 - 1,58 = 1,12$$

$$\rightarrow cr = 1,12 \text{ m}$$



$$Q = 83,5 \text{ l/s}$$

d'ici

$$Tr = \frac{0,183 \times 83,5 \cdot 10^{-3}}{1,12}$$

$$\rightarrow Q = 83,5 \cdot 10^{-3} \text{ m}^3/\text{s}$$

$$\rightarrow Tr = 13,54 \cdot 10^{-3} \text{ m}^2/\text{s}$$

5.3 transmissivité moyenne pour F9:

$$Tg = \frac{Td + Tr}{2} = \frac{11,53 \cdot 10^{-3} + 13,54 \cdot 10^{-3}}{2} =$$

$$\rightarrow Tg = 12,5 \cdot 10^{-3} \text{ m}^2/\text{s}$$

5.4 Coefficient d'emmagasinement moyen pour F9:

$$Sg = Sd = 2,84 \cdot 10^{-3}$$

$$\rightarrow Sg = 2,84 \cdot 10^{-3}$$

là aussi, nous remarquons que ce coefficient d'emmagasinement est obtenu pour une valeur faible du temps et une valeur faible de la distance entre le piezomètre et le forage où est effectué le pompage.

H. CARACTERISTIQUES MOYENNES  
DE LA NAPPE

1. TRANSMISSIVITÉ MOYENNE:

$$T = \frac{T_1 + T_3 + T_4 + T_6 + T_7 + T_9}{6}$$

$$\left. \begin{array}{l} T_1 = 6,88 \cdot 10^{-3} \text{ m}^2/\text{s} \\ T_3 = 1,14 \cdot 10^{-3} \text{ m}^2/\text{s} \\ T_4 = 10,73 \cdot 10^{-3} \text{ m}^2/\text{s} \\ T_6 = 1,83 \cdot 10^{-3} \text{ m}^2/\text{s} \\ T_7 = 10,34 \cdot 10^{-3} \text{ m}^2/\text{s} \\ T_9 = 12,52 \cdot 10^{-3} \text{ m}^2/\text{s} \end{array} \right\}$$

$$T = \frac{6,88 \cdot 10^{-3} + 1,14 \cdot 10^{-3} + 10,73 \cdot 10^{-3} + 1,83 \cdot 10^{-3} + 10,34 \cdot 10^{-3} + 12,52 \cdot 10^{-3}}{6} = 7,24 \cdot 10^{-3} \text{ m}^2/\text{s}$$

$$T = 7,24 \cdot 10^{-3} \text{ m}^2/\text{s}$$

2 COEFFICIENT D'EMMAGASINEMENT MOYEN:

$$S = \frac{S_1 + S_4 + S_6 + S_7 + S_9}{5}$$

$$\left. \begin{array}{l} S_1 = 0,16 \cdot 10^{-3} \\ S_4 = 1,69 \cdot 10^{-3} \\ S_6 = 0,43 \cdot 10^{-3} \\ S_7 = 0,90 \cdot 10^{-3} \\ S_9 = 2,84 \cdot 10^{-3} \end{array} \right\}$$

$$S = \frac{0,16 \cdot 10^{-3} + 1,69 \cdot 10^{-3} + 0,43 \cdot 10^{-3} + 0,90 \cdot 10^{-3} + 2,84 \cdot 10^{-3}}{5} = 1,2 \cdot 10^{-3}$$

$$S = 1,2 \cdot 10^{-3}$$

CHAPITRE II

INFLUENCE DES FORAGES SONIC  
SUR LES FORAGES SONADE

A. APPROCHE THEORIQUE DU PROBLÈME

## 1. INTRODUCTION.

Quand plusieurs forages sont situés dans une même nappe, il survient une certaine interdépendance entre eux, dite au phénomène d'influence.

C'est pour cela que l'on s'aperçoit souvent que le niveau piezométrique baisse dans un forage, alors qu'aucun pompage n'y est effectué... Pour cette raison, il est important de connaître exactement ce phénomène pour permettre une meilleure exploitation de l'ouvrage.

Dans notre cas, c'est la SONADE qui veut connaître l'influence des forages SONIC sur les siens...

Ici, nous avons choisi le forage SONADE le plus affecté par cette influence, et nous avons fait l'étude sur cette base. Nous trouverons donc dans ce projet l'influence maximum des forages SONIC sur les forages SONADE. Cette influence maximum correspondant à un temps de pompage que nous nous fixons.

## 2. APPROCHE THEORIQUE DU PROBLÈME :

### 2.1 Effet du pompage sur une nappe:

#### 2.1.1 Formule d'approximation logarithmique.

Comme nous l'avons vu dans le chapitre (I), la formule de THEISS est :

$$\Delta = \frac{Q}{4\pi T} \cdot \int_{u_0}^{+\infty} \frac{e^{-u}}{u} du$$

$$\rightarrow \Delta = \frac{Q}{4\pi T} W(u)$$

$W(u)$  étant une fonction caractéristique exprimée par une courbe standard, nous avons vu aussi que dans des conditions particulières nous obtenions la formule des approximations logarithmiques.

$$\boxed{\Delta = \frac{Q}{4\pi T} \log \frac{2,25 T t}{n^2 S}}$$

ou encore :

$$\boxed{\Delta = \frac{0,183 Q}{T} \log \frac{2,25 T t}{n^2 S}}$$

formule de JACOB.

#### 2.1.2 Rayon d'action :

la formule de DUPUIT relative à une nappe captive est :

$$\boxed{\Delta = \frac{Q}{2\pi k e} \cdot \log \frac{R}{u}}$$

$$\frac{1}{2\pi} = 0,366$$

$$k.e = T$$

$$\left. \right\} \quad \boxed{\Delta = \frac{0,366 Q}{T} \log \frac{R}{x}}$$

En égalisant cette expression et la formule de JACOB, nous obtenons :

$$\frac{0,366 R}{T} \log \frac{R}{x} = \frac{0,183 R}{T} \log \frac{2,25 T \cdot t}{x^2 S}$$

$$\rightarrow 2 \log \frac{R}{x} = \log \frac{2,25 T \cdot t}{x^2}$$

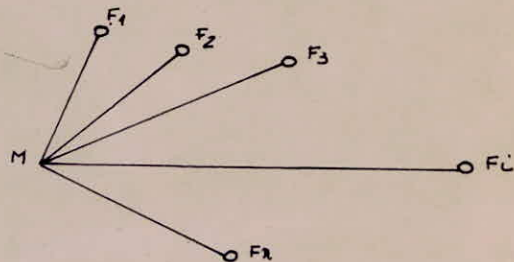
$$\rightarrow \frac{R^2}{x^2} = \frac{2,25 T \cdot t}{x^2 S}$$

$$R = 1,5 \sqrt{\frac{T \cdot t}{S}}$$

## 2.2 Action réciproque des forages:

Le problème consiste à calculer le rabattement en fonction du temps de pompage et en un point M, lorsqu'on effectue un pompage dans un ensemble de forages  $F_1; F_2; F_3; \dots; F_n$ .

Considérons le schéma suivant:



Le rabattement au point M sera:

$$\Delta_M = \Delta_{F_1} + \Delta_{F_2} + \Delta_{F_3} + \dots + \Delta_{F_i} + \dots + \Delta_{F_n}$$

où  $\Delta_{F_i}$  est le rabattement en M, quand le forage  $F_i$  fonctionne seul.

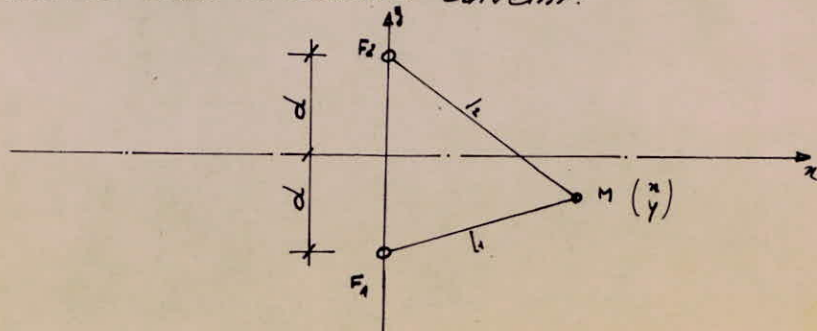
## 2.3 Principe des images:

### 2.3.1 But:

Il est appliqué pour des nappes limitées par des zones imperméables ou des lignes à potentiel constant, où les formules de THEISS et de DUPUIT ne sont plus valables.

### 2.3.2 Démonstration:

Soit les deux forages symétriques dans une nappe infinie, représentés dans le schéma suivant:



2.321 calcul du rabattement  $\Delta M$  par la formule de JACOB

Le rabattement  $\Delta M$  conséquent au pompage dans  $F_1$  et  $F_2$  est :

$$\Delta M = \frac{0,183 Q}{T} \cdot \log \frac{2,25 T \cdot t}{(l_1)^2 S} + \frac{0,183 Q}{T} \cdot \log \frac{2,25 T \cdot t}{(l_2)^2 S}$$

$Q$  est le même pour ces deux forages.

$$(l_1)^2 = (d-y)^2 + x^2$$

$$(l_2)^2 = (d+y)^2 + x^2$$

d'où

$$\boxed{\Delta M = \frac{0,183 Q}{T} \left( \log \frac{2,25 T \cdot t}{[(d-y)^2 + x^2] S} + \log \frac{2,25 T \cdot t}{[(d+y)^2 + x^2] S} \right)}$$

2.322 calcul de la dérivée suivant  $y$  de  $\Delta M$

$$\Delta M = \frac{0,183 Q}{2,3 T} \left[ \log \frac{2,25 T \cdot t}{S} - \log [(d-y)^2 + x^2] + \log \frac{2,25 T \cdot t}{S} - \log [(d+y)^2 + x^2] \right]$$

$$\frac{d\Delta M}{dy} = \frac{0,183 Q}{2,3 T} \left( -\frac{2(d-y)(-1)}{[(d-y)^2 + x^2]} + \frac{-2(d+y)}{[(d+y)^2 + x^2]} \right)$$

$$\text{pour } y=0, \text{ on a: } \frac{d\Delta M}{dy} = 0$$

2.323 valeur du gradient hydraulique:

nous savons que si pour une nappe, le niveau piezométrique est  $H$  et le niveau dynamique  $h$ , le rabattement en un point s'écrit.

$$\boxed{\Delta M = H-h.}$$

Dérivons  $\Delta M$  suivant  $y$ . on obtient

$$\Delta M = \frac{d(H-h)}{dy} = \frac{dH}{dy} - \frac{dh}{dy}$$

comme  $H$  est constant, on a :

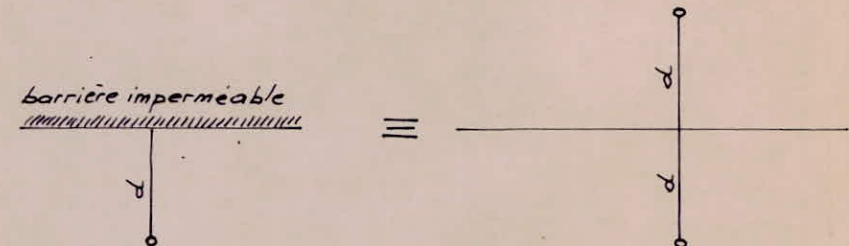
$$\frac{d\Delta M}{dy} = -\frac{dh}{dy} = 0, \text{ puisque } \frac{dH}{dy} = 0$$

cette expression est celle du gradient hydraulique  $i$ , d'où

$$\boxed{i = -\frac{dh}{dy} = 0}$$

### 2.324 Conclusion:

pour  $y=0$ , le gradient hydraulique est nul, par conséquent, il n'y a pas d'écoulement à travers l'axe de symétrie. Ce dernier représente une barrière imperméable et les configurations ci-dessous deviennent identiques:



cas d'une nappe limitée  
par une barrière imper-  
méable

cas d'une nappe infinie

### 3. EXEMPLE DE CALCUL D'INFLUENCE:

nous avons vu précédemment que pour une nappe infinie, le rabattement en un point, dû au pompage dans un forage, est donné par la formule:

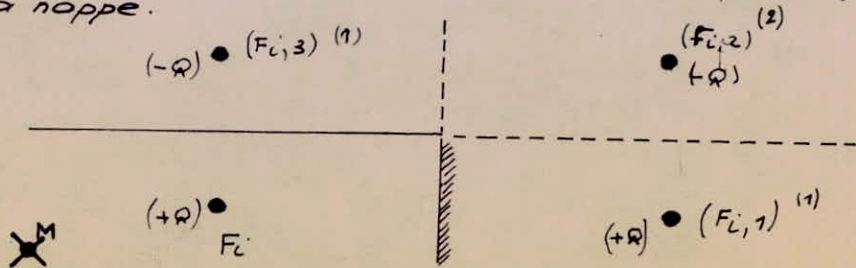
$$D = \frac{0,183 R}{T} \log \frac{2,25 T t}{x^2}$$

en sachant toutefois que cette dernière n'est valable que pour un temps important et une distance faible.

Dans le cas d'une nappe limitée par des zones imperméables, ou des limites à potentiel constant, il faut, - pour ramener le problème au cas de la nappe infinie que l'on sait traiter -, tenir compte des images des forages considérés.

#### 3.1 Exemple:

Considérons un forage  $F_i$  situé dans une nappe limitée par une barrière imperméable et une limite à potentiel constant, en faisant l'hypothèse que ces deux dernières forment un angle de  $90^\circ$ . Le problème est de calculer le rabattement  $\Delta M$ , en un point quelconque  $M$  de la nappe.



le rabattement en M conséquent au pompage dans le forage  $F_i$  est :

$$\Delta_M = \Delta_{F_i} + \Delta(F_{i,1})^{(1)} + \Delta(F_{i,2})^{(2)} + \Delta(F_{i,3})^{(3)}$$

les différents termes de cette expression sont :

$\Delta_M$ : Rabattement total en M

$\Delta_{F_i}$ : Rabattement en M, dû au pompage dans  $F_i$ .

$\Delta(F_{i,1})^{(1)}$ : rabattement en M, dû au pompage dans l'image n°1 d'ordre (1), du forage  $F_i$

$\Delta(F_{i,2})^{(2)}$ : rabattement en M, dû au pompage dans l'image n°2 d'ordre (2), du forage  $F_i$

$\Delta(F_{i,3})^{(3)}$ : rabattement en M, dû au pompage dans l'image n°3 d'ordre (3), du forage  $F_i$

donc :

$$\Delta_M = \frac{0,183Q}{T} \log \frac{2,25T.F}{[x(F_i)]^2 S} + \frac{0,183Q}{T} \log \frac{2,25T.F}{[x(F_{i,1})^{(1)}]^2 S} - \frac{0,183Q}{T} \log \frac{2,25T.E}{[x(F_{i,2})^{(2)}]^2 S} - \frac{0,183Q}{T} \log \frac{2,25T.F}{[x(F_{i,3})^{(3)}]^2 S}$$

soit

$$\left. \begin{array}{l} A = \frac{0,183Q}{T} \\ B = \frac{2,25T.F}{S} \end{array} \right\} \quad \Delta_M = A \left( \log \frac{B}{[x(F_i)]^2} + \log \frac{B}{[x(F_{i,1})^{(1)}]^2} \right) - A \left( \log \frac{B}{[x(F_{i,2})^{(2)}]^2} + \log \frac{B}{[x(F_{i,3})^{(3)}]^2} \right)$$

$$\Delta_M = 2A \log \frac{B}{[x(F_i)][x(F_{i,1})^{(1)}]} - 2A \log \frac{B}{[x(F_{i,2})^{(2)}][x(F_{i,3})^{(3)}]}$$

$$\boxed{\Delta_M = 2A \log \frac{[x(F_{i,2})^{(2)}].[x(F_{i,3})^{(3)}]}{[x(F_i)].[x(F_{i,1})^{(1)}]}}$$

### 3.2. Généralisation de cet exemple à l'ordre n.

Dans une nappe infinie, considérons n forages tels que :

k forages reçoivent un débit (-Q)  
et j forages débiteront un débit (+Q)

### 3.2.1. rabattement provoqué par les j forages.

$$\Delta'_M = A \cdot \log \frac{B^j}{[\overline{T} \overline{x} x(F_{i,j})]^2}$$

$$\Delta'_M = A \left( \log \frac{B^2}{[\overline{T} \overline{x} x(F_{i,j})]^2} + \log B^{(j-2)} \right)$$

$$\Delta'_M = 2A \left( \log \frac{B}{\overline{T} \overline{x} x(F_{i,j})} + \left( \frac{j-2}{2} \right) \cdot \log B \right)$$

3.22 Robattement provoqué par les k forages:

$$\Delta''_M = -A \log \frac{B^k}{[T_{kT} \alpha(F_i, j)]^2}$$

$$\Delta''_M = -A \left( \log \frac{B^2}{[T_{kT} \alpha(F_i, j)]^2} + \log B^{(k-2)} \right)$$

$$\Delta''_M = -2A \left( \log \frac{B}{T_{kT} \alpha(F_i, j)} + \frac{(k-2)}{2} \log B \right)$$

3.23 Robattement total en M:

$$\Delta_M = \Delta'_M + \Delta''_M$$

$$\Delta_M = 2A \left( \log \frac{B}{T_{jT} \alpha(F_i, j)} + \frac{j-2}{2} \log B \right) - 2A \left( \log \frac{B}{T_{kT} \alpha(F_i, k)} + \frac{k-2}{2} \log B \right)$$

$$\Delta_M = 2A \left( \log \frac{T_{kT} \alpha(F_i, k)}{T_{jT} \alpha(F_i, j)} + \left( \frac{j-2}{2} - \frac{k-2}{2} \right) \log B \right)$$

$$\Delta_M = 2A \left( \log \frac{T_{kT} \alpha(F_i, k)}{T_{jT} \alpha(F_i, j)} + \frac{j-k}{2} \log B \right)$$

3.24 Application de cette expression à ce projet:

chaque forage situé dans la nappe limitée par deux barrières imperméables et une limite à potentiel constant est représenté par douze (12) forages dans une nappe libre.  
nous aurons:

$$\begin{matrix} j=7 \\ k=5 \end{matrix} \rightarrow j-k = 7-5 = 2$$

d'où

$$\Delta_M = 2A \left( \log \frac{T_{kT} \alpha(F_i, k)}{T_{jT} \alpha(F_i, j)} + \log B \right)$$

3.25 Dominé de validité de cette expression:

Dans  $\Delta_M$ , il n'apparaît pas de termes élevés à la puissance deux(2); le premier intérêt de cette expression est que l'erreur commise est plus faible que dans le cas de l'application directe de la formule de JACOB.

le second intérêt est que le nombre d'opérations est sensiblement réduit.

dans notre cas cependant les distances entre le forage (et images) SONIC et le forage SONADE où est calculé le rabattement sont importantes ceci rend la formule de JACOB (et donc l'expression  $\Delta_M$ ) inutilisable. il faut donc utiliser la formule de THEISS.

### 3.3 Application de la formule de THEISS:

au début de ce chapitre, nous avions vu qu'elle s'exprimait par :

$$\Delta_M = \frac{1}{4\pi T} \cdot W(u)$$

ou

$$u = \frac{\pi^2 \cdot S}{4T \cdot t}$$

la fonction caractéristique  $W(u)$  est représentée par la courbe standard ci-jointe. pour une valeur de  $u$ , nous trouvons donc directement  $W(u)$  et par conséquent  $\Delta_M$ .

#### 3.3.1 Hypothèse sur le temps du pompage :

L'influence des forages SONIC, sur le forage SONADE F, sera calculé pour un temps que nous fixons à un mois (30 jours), cela signifie que nous considérons qu'au bout d'un mois, l'augmentation du rabattement est nulle.

Par ailleurs, nous considérons que tous les forages ont commencé à fonctionner au même temps.

Pour les calculs qui suivent, nous prendrons  $t = 24 \times 30 \times 3600 = 2,592.10^6$

#### 3.3.2 Calcul des termes constants pour tous les forages:

$$T = 7,24 \cdot 10^{-3} \text{ m}^2/\text{s} \rightarrow \frac{1}{4\pi T} = \frac{10^3}{4\pi \cdot 7,24} = 11 \Rightarrow$$

$$\boxed{\frac{1}{4\pi T} = 11}$$

$$\left. \begin{array}{l} S = 1,2 \cdot 10^{-3} \\ t = 2,592 \cdot 10^6 \text{ s} \\ T = 7,24 \cdot 10^{-3} \end{array} \right\} \frac{S}{4\pi T} = \frac{1,2 \cdot 10^{-3}}{2,592 \cdot 10^6 \times 7,24 \cdot 10^{-3} \times 4}$$

$$\frac{S}{4\pi T} = \frac{1,2 \cdot 10^{-6}}{7,24 \times 4 \times 2,592}$$

$$\frac{S}{4\pi T} = 1,6 \cdot 10^{-8}$$

#### 3.3.3 Détermination de $W(u)$ :

Dans le cas où la valeur de  $u = \frac{\pi^2 \cdot S}{4T \cdot t}$ , est supérieure à un (1), nous ne pouvons déterminer  $W(u)$ . en effet la courbe standard ne donne  $W(u)$  que pour des valeurs de  $u$ , inférieures à l'unité.

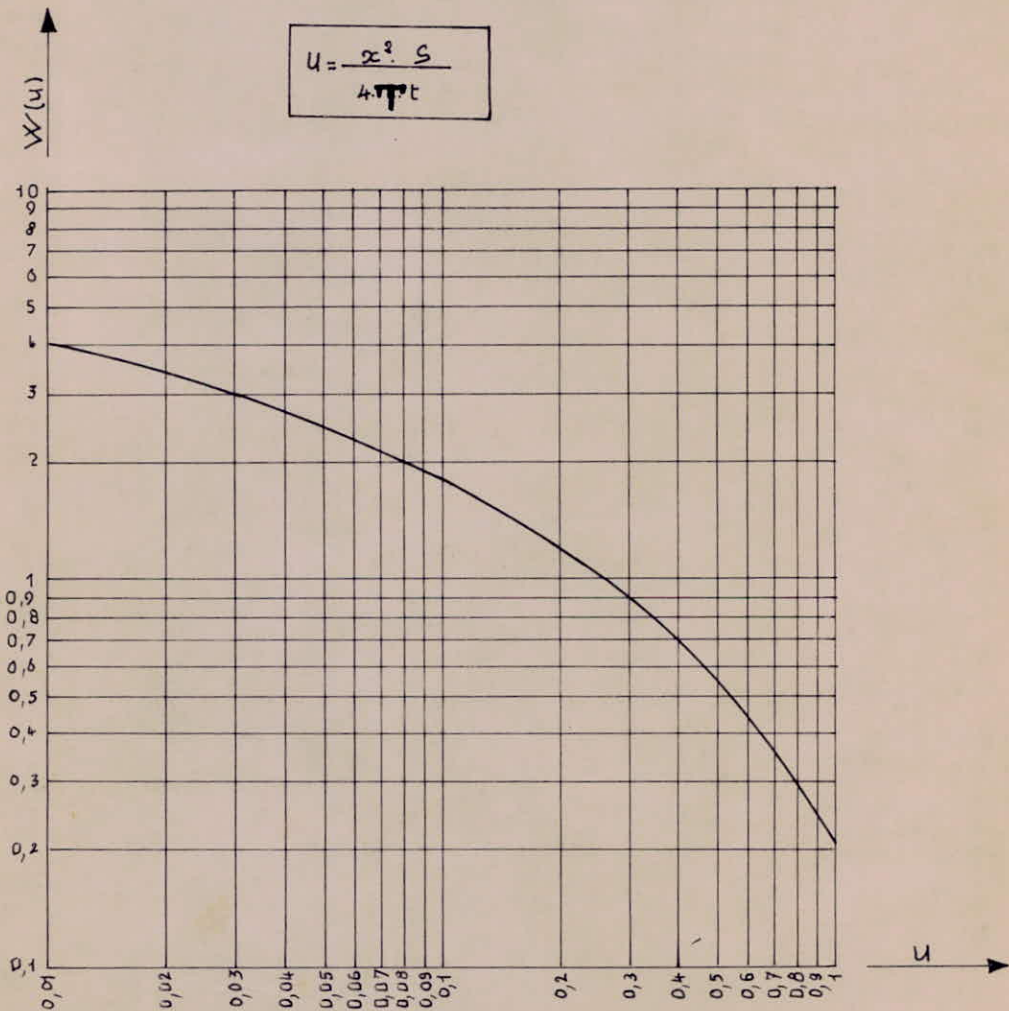
COURBE STANDARD

Elle représente le terme  $W(u)$  qui intervient dans la formule de THEISS et qui exprime le rabattement dans une nappe :

$$\Delta = \frac{Q}{4\pi T} W(u)$$

avec :

$$u = \frac{x^2 S}{4\pi T t}$$



$$W(u) = \int_u^{+\infty} \frac{e^{-u}}{u} du$$

B. INFLUENCE DU FORAGE SONIC F1  
SUR LE FORAGE SONADE F

1. TABLEAU DE LECTURES ET DE RESULTATS:

FORAGES	$x_{1,i}$ (m)	$(x_{1,i})^2$ (m <sup>2</sup> )	$Q_{1,i}$ m <sup>3</sup> /s	$\frac{Q_{1,i}}{4\pi T}$	$v = \frac{x^2 s}{4Tc}$	$w(v)$	$\frac{q}{4\pi T} \cdot w(v = q_{1,i})$ (m)
$F_1$	800	$64 \cdot 10^4$	$+35 \cdot 10^{-3}$	+0,39	$1,02 \cdot 10^{-2}$	3,95	+1,54
$(F_1, 1)^{(1)}$	6040	$36,48 \cdot 10^6$	$+35 \cdot 10^{-3}$	+0,39	$58,37 \cdot 10^{-2}$	0,47	+0,18
$(F_1, 3)^{(1)}$	5260	$27,67 \cdot 10^6$	$+35 \cdot 10^{-3}$	+0,39	$44,27 \cdot 10^{-2}$	0,64	+0,25
$(F_1, 5)^{(1)}$	2890	$8,35 \cdot 10^6$	$-35 \cdot 10^{-3}$	-0,39	$13,36 \cdot 10^{-2}$	1,70	-0,66
$(F_1, 2)^{(2)}$	6540	$42,77 \cdot 10^6$	$+35 \cdot 10^{-3}$	+0,39	$68,43 \cdot 10^{-2}$	0,31	+0,14
$(F_1, 4)^{(2)}$	5950	$35,40 \cdot 10^6$	$-35 \cdot 10^{-3}$	-0,39	$56,64 \cdot 10^{-2}$	0,48	-0,19
$(F_1, 6)^{(2)}$	6040	$36,48 \cdot 10^6$	$+35 \cdot 10^{-3}$	+0,39	$58,37 \cdot 10^{-2}$	3,95	+1,54
$(F_1, 9)^{(2)}$	7550	$57,10^6$	$-35 \cdot 10^{-3}$	-0,39	$91,2 \cdot 10^{-2}$	0,25	-0,1
$(F_1, 7)^{(3)}$	7990	$63,84 \cdot 10^6$	$+35 \cdot 10^{-3}$	+0,39	$102,14 \cdot 10^{-2}$	-	-
$(F_1, 8)^{(3)}$	9180	$84,27 \cdot 10^6$	$-35 \cdot 10^{-3}$	-0,39	$134,83 \cdot 10^{-2}$	-	-

2. CALCUL DE L'INFLUENCE DE  $F_1$  SUR  $F$ :

$$\Delta_1 = \sum_{i=1}^{i=8} \Delta_{1,i}$$

$$\Delta_1 = 1,54 + 0,18 + 0,25 - 0,66 + 0,14 - 0,19 + 1,54 - 0,1$$

$\Delta_1 = 2,70 \text{ m}$

C. INFLUENCE DU FORAGE SONIC F3  
SUR LE FORAGE SONADE F.

## 1. TABLEAU DE LECTURES ET DE RESULTATS :

FORAGES et IMAGES	$x_3, i$ (m)	$(x_3, i)^2$	$Q_3, i$ ( $m^3/s$ )	$\frac{Q_3, i}{4\pi T}$	$v = \frac{s \cdot (x_3, i)^2}{4\pi T}$	$w(v)$	$\Delta_3 = \frac{\Phi}{4\pi T} w(v)$
$F_3$	730	$53,29 \cdot 10^4$	$+13,4 \cdot 10^{-3}$	+0,15	$0,85 \cdot 10^{-2}$	+4,24	+0,64
$(F_3, 1)^{(1)}$	3780	$14,29 \cdot 10^6$	$+13,4 \cdot 10^{-3}$	+0,15	$22,86 \cdot 10^{-2}$	+1,23	+0,18
$(F_3, 3)^{(1)}$	5060	$25,60 \cdot 10^6$	$+13,4 \cdot 10^{-3}$	+0,15	$40,96 \cdot 10^{-2}$	+0,69	+0,10
$(F_3, 5)^{(1)}$	3100	$9,61 \cdot 10^4$	$-13,4 \cdot 10^{-3}$	-0,15	$15,38 \cdot 10^{-2}$	-1,55	-0,23
$(F_3, 2)^{(2)}$	6540	$42,77 \cdot 10^6$	$+13,4 \cdot 10^{-3}$	+0,15	$68,43 \cdot 10^{-2}$	+0,38	+0,06
$(F_3, 4)^{(2)}$	5900	$34,81 \cdot 10^6$	$+13,4 \cdot 10^{-3}$	+0,15	$55,70 \cdot 10^{-2}$	-0,48	-0,07
$(F_3, 6)^{(2)}$	7380	$54,46 \cdot 10^6$	$-13,4 \cdot 10^{-3}$	-0,15	$87,14 \cdot 10^{-2}$	-0,26	-0,04
$(F_3, 9)^{(2)}$	6260	$39,19 \cdot 10^6$	$+13,4 \cdot 10^{-3}$	+0,15	$62,70 \cdot 10^{-2}$	+0,42	+0,06
$(F_3, 7)^{(3)}$	8030	$64,48 \cdot 10^6$	$+13,4 \cdot 10^{-3}$	+0,15	$103,17 \cdot 10^{-2}$	-	-
$(F_3, 8)^{(3)}$	8920	$79,57 \cdot 10^6$	$-13,4 \cdot 10^{-3}$	-0,15	$127,31 \cdot 10^{-2}$	-	-

2. CALCUL DE L'INFLUENCE DE  $F_3$  SUR  $F$ :

$$\Delta_3 = \sum_{i=1}^{i=8} \Delta_{3,i}$$

$$\Delta_3 = 0,64 + 0,18 + 0,10 - 0,23 + 0,06 - 0,07 + 0,04 - 0,06$$

$$\boxed{\Delta_3 = 0,70 m}$$

D. INFLUENCE DU FORAGE SONIC F4  
SUR LE FORAGE SONADE F.

1. TABLEAU DE LECTURES ET DE RÉSULTATS:

FORAGES ET IMAGES	$z_{4,i}$ (m)	$(x_{4,i})^2$	$Q_{4,i}$ ( $m^3/s$ )	$\frac{Q_{4,i}}{4\pi r}$	$\frac{(x_{3,i})^2 \cdot S}{4\pi r}$	$W (v)$	$\Delta_{4,i} = \frac{q}{4\pi r} \cdot w_{4,i}$
$F_4$	600	$36 \cdot 10^4$	$+22,2 \cdot 10^{-3}$	+0,22	$0,58 \cdot 10^{-2}$	4,55	+1
$(F_4, 1)^{(1)}$	3740	$13,99 \cdot 10^6$	$+22,2 \cdot 10^{-3}$	+0,22	$22,38 \cdot 10^{-2}$	1,25	+0,28
$(F_4, 3)^{(1)}$	5260	$27,67 \cdot 10^6$	$+22,2 \cdot 10^{-3}$	+0,22	$44,27 \cdot 10^{-2}$	0,63	+0,14
$(F_4, 5)^{(1)}$	3100	$9,61 \cdot 10^6$	$-22,2 \cdot 10^{-3}$	-0,22	$15,38 \cdot 10^{-2}$	1,55	-0,34
$(F_4, 2)^{(2)}$	6430	$41,34 \cdot 10^6$	$+22,2 \cdot 10^{-3}$	+0,22	$66,14 \cdot 10^{-2}$	0,38	+0,08
$(F_4, 4)^{(2)}$	6070	$36,84 \cdot 10^6$	$-22,2 \cdot 10^{-3}$	-0,22	$58,94 \cdot 10^{-2}$	0,46	-0,10
$(F_4, 6)^{(2)}$	6290	$39,56 \cdot 10^6$	$+22,2 \cdot 10^{-3}$	+0,22	$63,30 \cdot 10^{-2}$	0,42	+0,09
$(F_4, 9)^{(2)}$	7350	$54,02 \cdot 10^6$	$-22,2 \cdot 10^{-3}$	-0,22	$86,43 \cdot 10^{-2}$	0,27	-0,06
$(F_4, 7)^{(3)}$	8190	$67,08 \cdot 10^6$	$+22,2 \cdot 10^{-3}$	+0,22	$107,33 \cdot 10^{-2}$	-	-
$(F_4, 8)^{(3)}$	9040	$81,72 \cdot 10^6$	$-22,2 \cdot 10^{-3}$	-0,22	130,75	-	-

2. CALCUL DE L'INFLUENCE DE  $F_4$  SUR  $F$ :

$$\Delta z = \sum_{i=1}^{i=8} \Delta z_i$$

$$\Delta z = 1 + 0,28 + 0,14 - 0,34 + 0,08 - 0,10 + 0,09 - 0,06$$

$\Delta z = 1,09 \text{ m}$

E. INFLUENCE DU FORAGE SONIC F6  
SUR LE FORAGE SONADE F.

1. TABLEAU DE LECTURES ET DE RESULTATS:

FORAGE ET IMAGES	$x_{6,i}$ (m)	$(x_{6,i})^2$	$Q_{6,i}$ ( $m^3/s$ )	$\frac{Q_{6,i}}{4\pi \cdot r}$	$U = \frac{(x_{6,i})^2 \cdot S}{4\pi \cdot r}$	$w(u)$	$\Delta_6, i =$ $\frac{Q_{6,i}}{4\pi \cdot r} \cdot w(u)$
$F_6$	960	$57,76 \cdot 10^4$	$+20,7 \cdot 10^{-3}$	+0,23	$0,92 \cdot 10^{-2}$	4,15	+0,95
$(F_6, 1)^{(1)}$	2440	$5,95 \cdot 10^6$	$+20,7 \cdot 10^{-3}$	+0,23	$9,52 \cdot 10^{-2}$	1,85	+0,43
$(F_6, 3)^{(1)}$	5620	$31,58 \cdot 10^6$	$+20,7 \cdot 10^{-3}$	+0,23	$50,53 \cdot 10^{-2}$	0,56	+0,13
$(F_6, 5)^{(1)}$	4370	$19,10 \cdot 10^6$	$-20,7 \cdot 10^{-3}$	-0,23	$30,56 \cdot 10^{-2}$	0,91	-0,21
$(F_6, 2)^{(2)}$	6070	$36,84 \cdot 10^6$	$+20,7 \cdot 10^{-3}$	+0,23	$58,94 \cdot 10^{-2}$	0,47	+0,11
$(F_6, 4)^{(2)}$	7060	$49,84 \cdot 10^6$	$-20,7 \cdot 10^{-3}$	-0,23	$79,74 \cdot 10^{-2}$	0,30	-0,07
$(F_6, 6)^{(2)}$	7580	$57,46 \cdot 10^6$	$+20,7 \cdot 10^{-3}$	+0,23	$91,94 \cdot 10^{-2}$	0,24	+0,06
$(F_6, 9)^{(2)}$	6040	$36,28 \cdot 10^6$	$-20,7 \cdot 10^{-3}$	-0,23	$58,37 \cdot 10^{-2}$	0,49	-0,11
$(F_6, 7)^{(3)}$	9400	$88,36 \cdot 10^6$	$+20,7 \cdot 10^{-3}$	+0,23	$141,38 \cdot 10^{-2}$	,	,
$(F_6, 8)^{(3)}$	8200	$67,24 \cdot 10^6$	$-20,7 \cdot 10^{-3}$	-0,23	$107,58 \cdot 10^{-2}$	,	,

2. CALCUL DE L'INFLUENCE DE  $F_6$  SUR  $F$ :

$$\Delta_6 = \sum_{i=1}^{i=8} \Delta_{6,i}$$

$$\Delta_6 = 0,95 + 0,43 + 0,13 - 0,21 + 0,11 + 0,06 - 0,07 - 0,11$$

$\Delta_6 = 1,16 \text{ m}$

F. INFLUENCE DU FORAGE SONIC F7.  
SUR LE FORAGE SONADE F.

1. TABLEAU DE LECTURES ET DE RESULTATS:

FORAGE ET IMAGES	$x_{7,i}$	$(x_{7,i})^2$	$\varphi_{7,i}$	$\frac{\varphi_{7,i}}{4\pi t}$	$\frac{v(x_{7,i})^2 s}{4Tt}$	$w(v)$	$\Delta_{7,i}$
$F_7$	850	$72,25 \cdot 10^4$	$+25 \cdot 10^{-3}$	+0,28	$1,16 \cdot 10^{-2}$	3,65	+1,02
$(F_7,1)^{(1)}$	2550	$6,50 \cdot 10^6$	$+25 \cdot 10^{-3}$	+0,28	$10,4 \cdot 10^{-2}$	1,85	+0,52
$(F_7,3)^{(1)}$	6020	$36,24 \cdot 10^6$	$+25 \cdot 10^{-3}$	+0,28	$57,98 \cdot 10^{-2}$	0,47	+0,13
$(F_7,5)^{(1)}$	4330	$18,75 \cdot 10^6$	$-25 \cdot 10^{-3}$	-0,28	$30,00 \cdot 10^{-2}$	0,91	-0,25
$(F_7,2)^{(2)}$	6500	$42,25 \cdot 10^6$	$+25 \cdot 10^{-3}$	+0,28	$67,60 \cdot 10^{-2}$	0,38	+0,11
$(F_7,4)^{(2)}$	7380	$54,46 \cdot 10^6$	$-25 \cdot 10^{-3}$	-0,28	$87,14 \cdot 10^{-2}$	0,26	-0,07
$(F_7,6)^{(2)}$	7500	$56,25 \cdot 10^6$	$+25 \cdot 10^{-3}$	+0,28	$90,00 \cdot 10^{-2}$	0,25	+0,07
$(F_7,9)^{(2)}$	6140	$37,70 \cdot 10^6$	$-25 \cdot 10^{-3}$	-0,28	$60,32 \cdot 10^{-2}$	0,45	-0,13
$(F_7,7)^{(3)}$	9580	$91,78 \cdot 10^6$	$+25 \cdot 10^{-3}$	+0,28	$146,85 \cdot 10^{-2}$	-	-
$(F_7,8)^{(3)}$	8560	$73,27 \cdot 10^6$	$-25 \cdot 10^{-3}$	-0,28	$117,23 \cdot 10^{-2}$	-	-

2. CALCUL DE L'INFLUENCE DU FORAGE  $F_7$  SUR LE FORAGE  $F$ .

$$\Delta_7 = \sum_{i=1}^{i=8} \Delta_{7,i}$$

$$\Delta_7 = 1,02 + 0,52 + 0,13 - 0,25 + 0,11 - 0,07 + 0,07 - 0,13$$

$$\boxed{\Delta_7 = 1,40 \text{ m}}$$

G INFLUENCE DU FORAGE SONIC F9  
SUR LE FORAGE SONADE F

1. TABLEAU DE LECTURES ET DE RESULTATS.

FORAGE ET IMAGES	$x_{g,i}$	$(x_{g,i})^2$	$\varphi_{g,i}$	$Q_{g,i}$ $4\pi T.$	$v = (x_{g,i})^2 \cdot s$ $4T.f$	$w(v)$	$\Delta g,i$
F9	2560	$6,55 \cdot 10^6$	$+83,5 \cdot 10^{-3}$	+ 0,92	$+10,48 \cdot 10^{-2}$	+ 1,80	+ 1,66
(F9,1) <sup>(1)</sup>	3900	$15,21 \cdot 10^6$	$+83,5 \cdot 10^{-3}$	+ 0,92	$+24,34 \cdot 10^{-2}$	+ 1,15	+ 1,06
(F9,3) <sup>(1)</sup>	8050	$64,80 \cdot 10^6$	$+83,5 \cdot 10^{-3}$	+ 0,92	$+103,68 \cdot 10^{-2}$	-	-
(F9,5) <sup>(1)</sup>	4630	$21,44 \cdot 10^6$	$-83,5 \cdot 10^{-3}$	- 0,92	$-34,30 \cdot 10^{-2}$	- 0,80	- 0,74
(F9,2) <sup>(2)</sup>	9550	$91,20 \cdot 10^6$	$+83,5 \cdot 10^{-3}$	+ 0,92	$+145,92 \cdot 10^{-2}$	-	-
(F9,4) <sup>(2)</sup>	8920	$79,57 \cdot 10^6$	$-83,5 \cdot 10^{-3}$	- 0,92	$-127,31 \cdot 10^{-2}$	-	-
(F9,6) <sup>(2)</sup>	7500	$56,25 \cdot 10^6$	$+83,5 \cdot 10^{-3}$	+ 0,92	$+90,10^{-2}$	+ 0,25	+ 0,23
(F9,9) <sup>(2)</sup>	7040	$49,56 \cdot 10^6$	$-83,5 \cdot 10^{-3}$	- 0,92	$-79,30 \cdot 10^{-2}$	- 0,30	- 0,28
(F9,7) <sup>(3)</sup>	10690	$1,14 \cdot 10^6$	$+83,5 \cdot 10^{-3}$	+ 0,92	$+182,40 \cdot 10^{-2}$	-	-
(F9,8) <sup>(3)</sup>	10370	$1,08 \cdot 10^6$	$-83,5 \cdot 10^{-3}$	- 0,92	$-172,80 \cdot 10^{-2}$	-	-

2. CALCUL DE L'INFLUENCE DU FORAGE F9 SUR LE FORAGE F:

$$\Delta g = \sum_{i=1}^{i=5} \Delta g_i$$

$$\Delta g = 1,66 + 1,06 - 0,74 + 0,23 - 0,28$$

$\Delta g = 1,93 \text{ m}$

H. INFLUENCE TOTAL DES FORAGES SONIC  
SUR LE FORAGE SONADE F.

de rabattement total dans le forage SONADEF où au pompage simultané, pendant 30 jours, dans les forages SONIC est:

$$\Delta t = \Delta_1 + \Delta_3 + \Delta_4 + \Delta_6 + \Delta_7 + \Delta_9$$

$$\Delta t = 2,70m + 0,70m + 1,09m + 1,16m + 1,40m + 1,93m$$

$$\boxed{\Delta t = 8,98m}$$

Soit

$$\boxed{\Delta t = 9m}$$

Ce rabattement est le rabattement maximum provoqué dans les forages SONADE car nous avons raisonné sur le plus influencé d'entre eux.

Ainsi, la SONADE pourra envisager certaines solutions quant à l'exploitation de ses forages, car en plus du rabattement provenant du pompage, elle devra tenir compte de l'influence trouvée ci-dessus.

---

.CONCLUSION.

Cette étude aura permis de connaître le comportement d'une nappe en fonction d'un certain nombre de paramètres.

Pour la SONIC, le problème de connaître le comportement de ses forages a été résolu, en fonction des essais disponibles.

Cette société pourra maintenant, en faisant intervenir d'autres données qui ne sont pas connues ici exploiter plus profondément les résultats auxquels cette étude a abouti.

Pour la SONADE cette étude aura permis l'évaluation de l'influence des forages sonic sur ses propres forages, et constituera certainement pour elle une des bases de travail pour la réalisation éventuelle d'autres forages, pour la résolution d'éventuels problèmes existants etc...

Enfin, nous espérons avoir participé, par le biais de ce projet, à la résolution d'un problème pratique d'Hydraulique Souterraine.

---

**- SYMBOLOGIE.**

les différents symboles que nous avons utilisés dans ce projet sont récapitulés sur cette page, de façon à permettre une meilleure compréhension des questions traitées :

$F_i$ : Forage  $i$

$(F_i, j)^{(k)}$ : image  $j$  d'ordre  $k$  du forage  $i$

$Q$ : Débit de pompage

$\Delta$ : Rabattement

$\Delta_M$ : Rabattement au point  $M$

$k$ : Coefficient de perméabilité

$e$ : Epaisseur de la nappe captive

$T$ : Transmissivité

$s$ : Coefficient d'emmagasinement

$t_1$ : Temps de pompage (dans le cas de la descente)

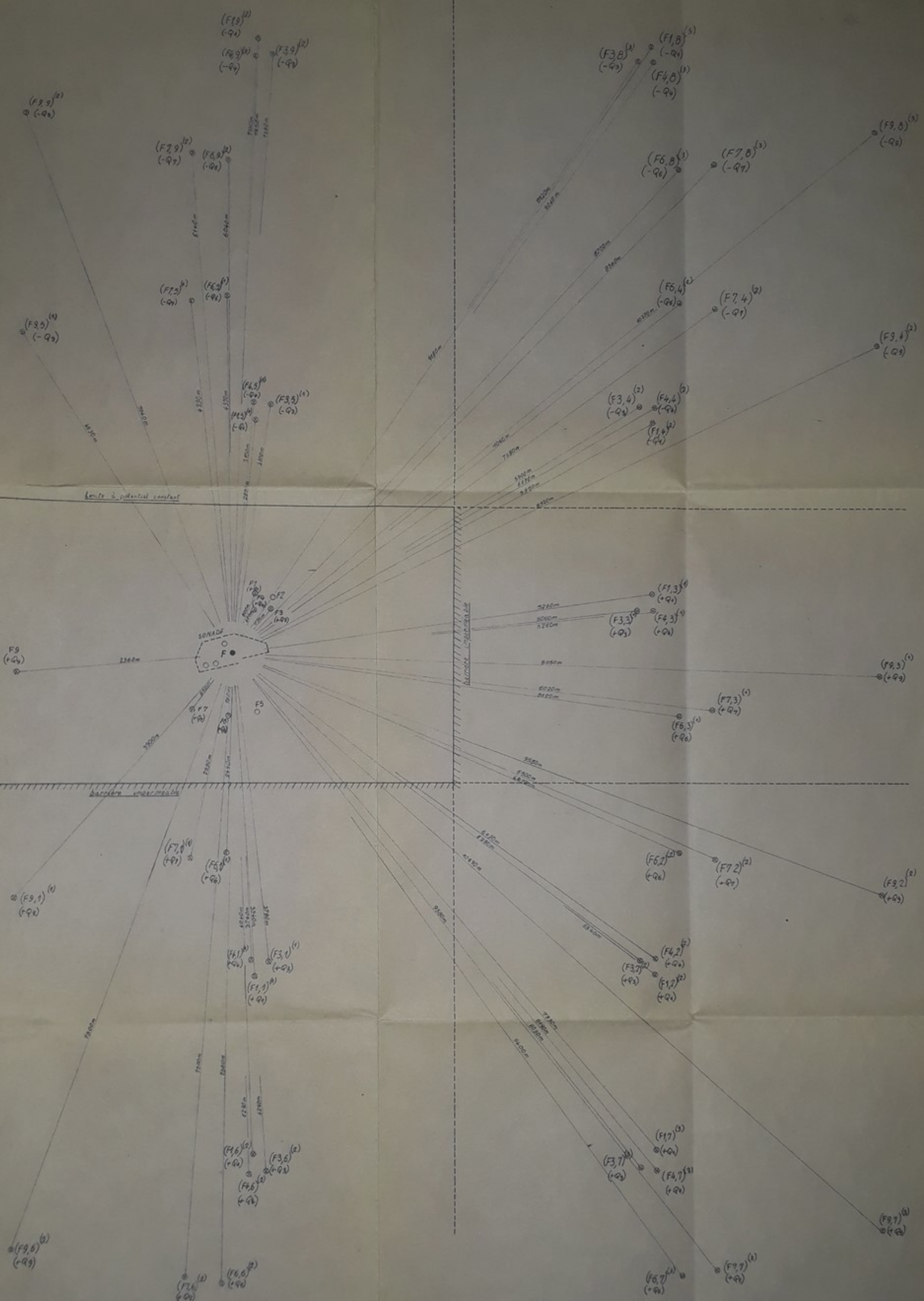
$t'$ : Temps à partir duquel il y a eu arrêt du pompage

$(x_{i,j})_M$ : Distance entre l'image  $i$  du forage  $j$  et un point  $M$ , où est relevé le rabattement

$i$ : Gradient hydraulique

$t = t_1 + t'$

---



PH001 / 70

ÉCOLE NATIONALE POLYTECHNIQUE D'EL-HARRACH			
Projet de fin d'études	FORAGES SONIC ET LEURS IMAGES	Promotion 75-76	
Hydraulique	Sidi-Mammar M. T.	Le 20-5-75	éch 1/15000

